



# جامعة محمد بن خضر بسكرة

## العلوم الطبيعية وعلوم الطبيعة والحياة

### قسم علوم المادة

# مذكرة ماستر

علوم المادة  
فيزياء  
فيزياء المواد

قم: أدخل رقم تسلسل المذكرة

إعداد الطالب:  
الورقلي نجية  
10/06/2024: م

## دراسة تأثير السمك على خصائص طبقات $\text{CuO}$ المترسبة على طبقة $\text{SnO}_2$

لجنة المناقشة:

رئيس	جامعة محمد خيضر بسكرة	أ. محـ بـ	بن ناصر خيرة
مقرر	جامعة محمد خيضر بسكرة	أ. تـ عـ.	وهاب عبد الوهاب
مناقش	جامعة محمد خيضر بسكرة	أ. مسـ أـ	ختار عائشة

## الإِهْدَاءُ

لم تكن الرحلة قصيرة لا ينبغي لها أن تكون، لم يكن الحلم قريباً ولا الطريق كان محفوفاً بالتسهيلات،  
لكتني فعلتها ونلتها.

الحمد لله حباً وشكراً وامتناناً، الذي بفضله ها أنا اليوم أنظر إلى حلماً طال انتظاره وقد أصبح واقعاً فتخر  
به.

وبكل حب أهدي ثمرة نجاحي وترجبي

إلى الذي زين اسمي بأجمل الألقاب، من دعمني بلا حدود وأعطاني بلا مقابل إلى من علمني أن الدنيا كفاح  
وسلامها العلم والمعرفة داعمي الأول في مسیرتي وسندني وقوتي وملاذتي بعد الله فخري واعتزازي

(أبي الغالي الورقلي خالد)

إلى من جعل الله الجنة تحت أقدامها، واحتضنني قلبها قبل يديها وسهلت لي  
الشدائـ بدعائـها، إلى القلب الحنون والشمعـة التي كانتـ لي في الليالي المظلمـات سـر قـوتـي ونجـاحـي جـنتـي  
(أمـي جـنتـي مـهـيرـيس زـينـبـ)

إلى ملائكة رزقـي اللهـ بهـن لأـعـرفـ منـ خـالـلـهـنـ طـعـمـ الـحـيـةـ الـجمـيلـةـ، تـلـكـ الـمـلـائـكـةـ الـتـيـ غـيـرـنـ مـفـاهـيمـ الـحـبـ  
وـالـصـادـقـةـ وـالـسـنـدـ فيـ حـيـاتـيـ أـخـواتـيـ

(أمالـ - فـاطـمـةـ الزـهـراءـ)

إلى جميعـ منـ أـمـدـونـيـ بـالـقـوـةـ وـالـتـوـجـيـهـ وـآمـنـ بـيـ وـدـعـمـنـيـ فـيـ الـأـوـقـاتـ الصـعـبةـ لـأـصـلـ إـلـىـ ماـ اـنـاـ عـلـيـهـ الـآنـ  
زمـلـائـيـ وـزـمـيـلـاتـيـ وـفـقـهـمـ اللهـ

نـرـيمـانـ، أـسـماءـ، فـرـيدـةـ، فـرـيـالـ، أـمـيـنـةـ، شـرـوقـ، فـطـيـمـةـ، لـطـيفـةـ، جـهـادـ، عـلـةـ

إـلـىـ أـفـرـادـ عـائـلـتـيـ كـلـ بـاسـمـهـ وـمـقـامـهـ

وـأـخـيرـاـ مـنـ قـالـ أـنـاـ لـهـاـ "ـنـالـهـاـ"ـ وـأـنـاـ "ـلـهـاـ"ـ إـنـ أـبـتـ رـغـمـاـ عـنـهـاـ أـتـيـتـ بـهـاـ

"ـفـالـحـمـدـ لـلـهـ الـذـيـ بـنـعـمـتـهـ تـمـ الصـالـحـاتـ"

# الشكر والتقدير

الحمد لله رب العالمين، الحمد لله الذي هدانا لهذا وما كنا لننهي لو لا أن هدانا الله، والحمد لله والشكر لله، والسلام على سيد المرسلين وشفيع يوم الدين وحبيب رب العالمين (محمد) ﷺ وعلى الله وصحبه الميمانيين.

يسريني أن أتقدم بالشكر الجليل والعرفان الجميل إلى أستاذ المشرف الدكتور وهاب عبد الوهاب

لاقتراحه موضوع البحث ولما قدم لي من نصح وإرشاد وتوجيه ولدعمه المتواصل لي طيلة مدة البحث وأخص بالشكر الموصول إلى الأستاذة ختار عانشة لتجوبيهاتها القيمة ودعمها الدائم ولقبولهما مناقشة هذه المذكورة كما أتقدم بالشكر للأستاذة بن ناصر خيرة لقبولها ترؤس لجنة المناقشة، كما أشكر الأستاذ ساعد رحمان وأتنى أن يفيديوني بآرائهم القيمة والبناءة، كما أشكر كل أعضاء فريق البحث بمخبر الشرائح الرقيقة بجامعة محمد خيضر بسكة أخص بالذكر المهندسين تو. ح وفاسمي ب.

وأشكر طالبة الدكتوراهليندا على النصائح والمساعدة

أخص بالشكر لعائلي التي لا طالما كانت الداعم الأكبر لي

أتقدم بجزيل الشكر لصديقاتي الذين كانوا دائمًا داعمي الأساسي في مسيرتي شكرًا لكم

شكراً لكل من ساعدني لأنجز هذه المذكورة من قريب ومن بعيد

# الفهرس

2.....	مقدمة عامة
5.....	مراجع المقدمة
<b>الفصل الاول: أكسيد الناقلة الشفافة (TCO)</b>	
7.....	1-I تمهيد
7.....	2-I تعريف أكسيدات المعادن
8.....	1-I الاكسيد الناقلة الشفافة (TCO)
9.....	3-I خصائص الأكسيد الناقلة الشفافة TCO
10.....	4-I معايير اختيار TCO
11.....	5-I تطبيقات الأكسيد الناقلة الشفافة (TCO)
12.....	6-I النحاس Cu
12.....	1.6-I معدن النحاس
12.....	2.6-I أكسيد النحاس CuO
13.....	3.6-I خصائص أكسيد النحاس CuO
15.....	7-I القصدير Sn
15.....	1.7-I معدن القصدير
16.....	2.7-I أكسيد القصدير SnO <sub>2</sub>
16.....	3.7-I خصائص أكسيد القصدير
18.....	3.3.7-I الخصائص الكهربائية
19.....	مراجعة الفصل الأول
<b>الفصل الثاني: تقنيات الترسيب وطرق توصيف الطبقات الرقيقة</b>	
22.....	الجزء الأول: تقنيات الترسيب
22.....	1.1-II تمهيد
22.....	2.1-II مفهوم الطبقة الرقيقة
23.....	1.2.1-II خطوات ترسيب الطبقات الرقيقة وتحليلها
23.....	3.1-II مبدأ ترسيب الطبقات الرقيقة
24.....	4.1-II الآيات نمو الطبقات الرقيقة
26.....	5.1-II تقنيات تحضير الطبقات الرقيقة
27.....	1.5.1-II الترسيب الكيميائي الحراري Chemical Spray Pyrolysis Deposition

32.....	الجزء الثاني: طرق التوصيف
32.....	1.2-II اختبار الالتصاق
32.....	2.2-II قياس سمك الطبقات الرقيقة
33.....	3.2-II انعراج الاشعة السينية (DRX)
36.....	4.2-II التحليل الطيفي بالأشعة فوق البنفسجية والمرئية UV-Vis
42.....	4.2-II الماسح الإلكتروني الضوئي (SEM) scanning electro microscope
44.....	مراجعة الفصل الثاني

### **الفصل الثالث : النتائج و المناقشة**

50.....	1-III تمهيد
50.....	2-III الخطوات التجريبية المتتبعة
50.....	1.2-III تحضير المساند
51.....	2.2-III تحضير محلول ومراحل التجربة
52.....	3.2-III ترسيب الطبقات الرقيقة
53.....	3-III قياس سمك الطبقات الرقيقة المحضرة
54.....	4-III الخواص البنوية
54.....	1.4-III التحليل بواسطة انعراج الاشعة السينية DRX
59.....	5-III الخواص الضوئية
59.....	1.5-III أطيفات النفاذية
60.....	2.5-III معامل الامتصاصية $\alpha$
61.....	3.5-III طاقة النطاق الممنوع Eg
64.....	4.5-III طاقة ذيول أورباخ(EU)
65.....	4.5-III أطيفات الانعكاسية
66.....	5.5-III معامل الخمود(k)
67.....	6.5-III معامل الانكسار (n)
68.....	7.5-III ثابت العزل الكهربائي الضوئي
69.....	6-III الخصائص البنوية
73.....	قائمة المراجع
75.....	خلاصة عامة

## قائمة الأشكال

### • أشكال الفصل الأول

الشكل I - 1: مخطط مبدئي لأنصاف النواقل (نوع n و p ) . . . . .	9.....
الشكل I - 2: تطبيقات الأكسيد الشفافة . . . . .	11.....
الشكل I - 3: تمثيل تخطيطي للتركيب البلوري لأكسيد النحاس ( CuO ) . . . . .	13.....
الشكل I - 4: هيكل الروتيل الخلية الأساسية لأكسيد القصدير SnO <sub>2</sub> . . . . .	16.....

### • أشكال الفصل الثاني

الشكل II - 1: خطوات ترسيب الطبقات الرقيقة . . . . .	23.....
الشكل II - 2: رسم تخطيطي يوضح مرحلة توضع الايونات للطبقات الرقيقة . . . . .	25.....
الشكل II - 3: رسم تخطيطي يوضح مرحلة الالتحام . . . . .	25.....
الشكل II - 4: رسم تخطيطي يوضح مرحلتا النمو (a) والالتحام (b) . . . . .	25.....
الشكل II - 5: أنماط النمو الثلاثة للطبقة الرقيقة . . . . .	26.....
الشكل II - 6: يمثل مخططاً لبعض تقنيات تحضير الطبقات الرقيقة . . . . .	27.....
الشكل II - 7: رسم تخطيطي يمثل منظومة الرش الكيميائي الحراري . . . . .	29.....
الشكل II - 8: رسم تخطيطي لطريقة اختبار الشريط . . . . .	32.....
الشكل II - 9: انعكاس براغ في المستويات الذرية . . . . .	34.....
الشكل II - 10: رسم بياني يمثل العرض عند منتصف الارتفاع (FWHM) . . . . .	35.....
الشكل II - 11: رسم تخطيطي يظهر انعراج الأشعة السينية (DRX) . . . . .	36.....
الشكل II - 12: رسم تخطيطي لقياس الطيف الضوئي UV-Visible . . . . .	37.....
الشكل II - 13: طيف الفانادي و الانعكاس والامتصاص لأكسيد ناقل شفاف . . . . .	38.....
الشكل II - 14: منحى يمثل الدالة $f(hv) = (\alpha hv)^2$ . . . . .	40.....
الشكل II - 15: نظام ذيل اورباخ . . . . .	41.....
الشكل II - 16: تحديد طاقة اورباخ . . . . .	42.....
الشكل II - 17: مخطط وصفي للمجهر الإلكتروني الماسح الضوئي ، الشكل II - 18: صورة لجهاز EDS (MEB) و تقنية (EDS) . . . . .	43.....

### • أشكال الفصل الثالث

الشكل III - 1: الخطوات المستخدمة لتنظيف المسند . . . . .	51.....
الشكل III - 2: عملية تحضير محلول . . . . .	52.....
الشكل III - 3: منحى بياني يمثل تغير سمك طبقات أكسيد النحاس بدلالة الزمن . . . . .	54.....
الشكل III - 4: أطيف انعراج الأشعة السينية للطبقات الرقيقة من CuO المرسبة على طبقة من SnO <sub>2</sub> لأزمنة رش مختلفة . . . . .	56.....

الشكل III-5: القم (111) لانعراج أشعة X على طبقات أكسيد النحاس المرسبة فوق مساند $\text{SnO}_2$ في أزمنة رش مختلفة.....	57
الشكل III-6: تغيرات حجم البلورة والإجهاد كدالة لزمن الرش.....	59
الشكل III-7: أطيف النفاذية لطبقات أكسيد النحاس $\text{CuO}$ المرسبة على طبقة من أكسيد القصدير $\text{SnO}_2$ في أوقات رش مختلفة.....	60
الشكل III-9: دالة لطاقة الفوتون لطبقات أكسيد النحاس $\text{CuO}$ المرسبة على طبقة من أكسيد القصدير $\text{SnO}_2$ في أوقات رش مختلفة.....	62
الشكل III-10: تغيرات فجوة الطاقة $E_g$ دالة لزمن الرش.....	63
الشكل III-11: تباين طاقة الفجوة وطاقة أورباخ لطبقات أكسيد النحاس $\text{CuO}$ المرسبة على طبقة من أكسيد القصدير $\text{SnO}_2$ في أوقات رش مختلفة.....	65
الشكل III-12: أطيف الانعكاسية لطبقات أكسيد النحاس $\text{CuO}$ المرسبة على طبقة من أكسيد القصدير $\text{SnO}_2$ في أوقات رش مختلفة.....	66
الشكل III-13: يوضح تباين معامل الخمود لطبقات أكسيد النحاس $\text{CuO}$ المرسبة على طبقة من أكسيد القصدير $\text{SnO}_2$ في أوقات رش مختلفة.....	67
الشكل III-14: يوضح تباين معامل الانكسار لطبقات أكسيد النحاس $\text{CuO}$ المرسبة على طبقة من أكسيد القصدير $\text{SnO}_2$ في أوقات رش مختلفة.....	68
الشكل III-15: الجزء الحقيقي (a) والجزء التخييلي (b) لثابت العزل الكهربائي لطبقات أكسيد النحاس $\text{CuO}$ المرسبة على طبقة من أكسيد القصدير $\text{SnO}_2$ في أوقات رش مختلفة.....	69
الشكل III-16: صور المجهر الإلكتروني الماسح لعينات $\text{CuO}$ المرسبة فوق $\text{SnO}_2$ لأزمنة رش (5، 10، 15، 20) دقيقة.....	71

## قائمة الجداول

### • جداول الفصل الأول

الجدول I- 1: الأكسيد المعدنية البسيطة و المعقدة.....	8.....
الجدول I- 2: خصائص (TCO).....	10.....
الجدول I- 3: الخصائص الفيزيائية والكيميائية للنحاس.....	12.....
الجدول I- 4 ملخص الخواص الفيزيائية و البنوية لأكسيد النحاس.....	14.....
الجدول I- 5: الخصائص الفيزيائية والكيميائية للقصدير.....	15.....
الجدول I- 6: ملخص الخواص الفيزيائية و البلورية لأكسيد القصدير <sub>2</sub> SnO <sub>2</sub> .....	17.....

### • جداول الفصل الثالث

الجدول III-1: تطور السمك بدلالة الزمن لطبقات الرقيقة من CuO المرسبة على طبقة من SnO <sub>2</sub> للأزمنة رش مختلفة.....	53.....
الجدول III-2: المعطيات الشبكية للعينات.....	58.....
الجدول III-3: قيم الفاصل الطاقي المتحصل عليها لطبقات (CuO) المرسبة على SnO <sub>2</sub> .....	63.....
الجدول III-4: قيم طاقة أرباخ لطبقات CuO المرسبة على طبقات SnO <sub>2</sub> .....	64.....
الجدول III-5: تغير التركيز الذري ل Sn، Cu و O بتغير زمن الترسيب .....	72.....

# مقدمة عامة

---

تُعد الأكسيدات الموصولة الشفافة (Transparent Conducting Oxides TCOs) مواد ذات تطبيقات مهمة في العديد من المجالات. خصائصها المزدوجة المتمثلة في التوصيل الكهربائي والشفافية في الضوء المرئي يجعلها مرشحة مثالية للتطبيقات في مجال الخلايا الكهروضوئية والإلكترونيات الضوئية.

تشير الدراسات التي أجريت في السنوات الأخيرة على تطبيقات أنصاف النواقل إلى اتجاه عام نحو التصغير. وفي هذا الصدد، تعتبر الطبقات الرقيقة ذات أهمية خاصة في حل المشاكل الحالية، حيث أنها تتيح إمكانية الجمع بين التوفير في المواد ومتطلبات المساحة والمرونة الكبيرة في الاستخدام. وقد بذلت جهود كبيرة في مجال الطبقات الرقيقة نصف الناقلة الشفافة، خاصة بسبب خصائصها الكهربائية والضوئية المميزة. تكتسب هذه المواد أهمية كبيرة من وجهة نظر تكنولوجية، حيث أن مجال تطبيقها واسع للغاية؛ ويمكن العثور عليها في مجموعة واسعة من المجالات مثل الإلكترونيات والإلكترونيات الضوئية والتحويل الضوئي الحراري والتحويل الضوئي الكهروضوئي، إلى...[1].

تعتبر فيزياء الطبقات الرقيقة من الفروع المهمة لفيزياء الحالة الصلبة والذي تبلور عنها وأصبح فرعاً قائماً بحد ذاته، إذ يتعامل هذا الفرع مع طبقات تتصف جميعها بأنها ذات سمك صغير جداً قد لا يتعدى [2] ( $1\mu\text{m}$ ).

تعتبر تقنية الترسيب المفتاح الأساسي لتكوين مواد جديدة بطبقات رقيقة لتلبية الطلب المتزايد باستمرار من الصناعات على المواد متعددة الاستخدامات ، إذ تحدد تقنيات الترسيب جميع خصائص الطبقات الرقيقة تقريرياً ويمكن استخدامها أيضاً لتعديل الخصائص الموجودة [3].

أكسيد النحاس ( $\text{CuO}$ ) هو مادة نصف ناقلة من النوع P تتميز بنطاق يتراوح من 2.6-1.21 الكترون فولط[4] . وانبعاث حراري منخفض كما أنها معروفة بخصائصها الكهربائية والبصرية الجيدة مثل ثابت العزل الكهربائي ومعامل الانكسار ومعامل امتصاص. نظراً لمزاياه، جذب أكسيد النحاس الانتباه لمختلف المجالات التكنولوجية [5]، مثل وسائل التخزين المغناطيسية، والخلايا الكهروكيهيمائية[6] وأجهزة استشعار للغاز ، وكطبقة ماصة في الخلايا الشمسية ، كما يظهر كذلك عدداً من الخصائص المثيرة للاهتمام مثل الموصلية الفائقة في درجات الحرارة العالية، وتأثيرات الارتباط الإلكتروني. أدى ذلك إلى توسيع بحثي سريع في الدراسات النظرية والتصنيع والتوصيف والتطبيقات للأجهزة القائمة على أكسيد النحاس [7].

من بين طرق ترسيب هذه الأكسيد، نجد التقنيات الكيميائية، ومنها تقنية الرش بالانحلال الحراري (Chemical Spray Pyrolysis deposition)، وهي من التقنيات غير المكلفة والمنتجة لطبقات ذات جودة معتبرة.

جرت العادة أن ترسب هذه الطبقات لغرض البحث على مساند زجاجية شفافة لسهولة دراستها ضوئياً وبنوياً. الكثير من التطبيقات تتطلب ترسيب هذه الطبقات على طبقات رقيقة أخرى كما هو الحال في المركبات الالكترونية التي تحتوي طبقتين نصف ناقلتين مختلفتين  $p$  و  $n$ .

يهدف هذا العمل إلى البحث في تأثير زمن ترسيب الطبقات الرقيقة من أكسيد النحاس على طبقات رقيقة من أكسيد القصدير المحمولة على مساند زجاجية بتقنية الرش بالانحلال بالحراري. باستخدام محلول كلوريد النحاس كمصدر. رسبنا بهذه التقنية سلسلة من العينات في أزمنة رش مختلفة، وقمنا بعد ذلك بتوصيف خصائصها البنوية والضوئية والالكترونية.

ينقسم هذا العمل إلى ثلاثة فصول مختلفة:

### الفصل الأول

تم فيه الدراسة النظرية لأهم المعلومات والمفاهيم حول الأكسيد الناقل الشفافة (TCO) وأبرز ما تتميز به من خصائص، كذلك تسلیط الضوء على أكسيد النحاس وخصائصه المتعددة وأكسيد القصدير وخصائصه سواء كانت الفيزيائية، الضوئية أو البنوية.

### الفصل الثاني

تم التطرق فيه إلى مفهوم الطبقات الرقيقة وبدأ ترسيبها وأالية نموها، وطرق ترسيبها الفيزيائية والكيميائية المهمة، بالخصوص تقنية الرش بالانحلال الحراري من حيث مبدأ العمل ومميزاتها كذا إلى طرق التحليل الطيفي المستعملة كمطيافية تحليل انعراج الاشعة السينية (DRX) والأشعة فوق بنفسجية – المرئية (UV-vis) والماسح الالكتروني الضوئي (SEM) وتحليل تشتت الطاقة EDS، إذ أن هذه الطرق تسمح بتشخيص بنية المادة المدرستة ومكوناتها الكيميائية.

### الفصل الثالث

هذا الفصل يتعلق بالعمل التجاري الذي أنجز على مستوى مخبر فيزياء الشرائح الرقيقة وتطبيقاتها لجامعة بسكرة، ويتضمن كيفية اختيار المسند وطريقة تنظيفه بالإضافة إلى الشروط التجريبية المعتمدة، كما تم توضيح كيفية تحضير محلول ترسيب أكسيد النحاس، وأخيراً يستعرض الفصل أهم النتائج التجريبية المحصل عليها والتي تخص الخصائص البنوية، البصرية لطبقات أكسيد النحاس  $\text{CuO}$  ومحاولة تفسير النتائج بغية التعرف على مدى تأثير زمن الترسيب على هذه الطبقات.

أخيراً، ننهي هذا التقرير بخلاصة عامة نحدد فيها جميع النتائج المهمة التي حصلنا عليها خلال هذا العمل وبعض اقتراحاتنا المكملة لبحث هذا الموضوع مستقبلاً.

## مراجع المقدمة

- [1] K. Farid, “Etude expérimental des propriétés physiques des couches minces de ZnO Je dédie ce travail A mes chers parents pour leurs affections et amours . A ma femme et mes frères et sœurs pour leurs encouragements,” thèse doctorat,Université Larbi Tebessi - Tébessa, 2022.
- [2] S. R. Barnum.Biotechnology, An Introduction., 2nd Edition, Thomson Brooks, 10, Das Drive, Belmont CA 94002, USA, (2005).
- [3] O. O. Abegunde, E. T. Akinlabi, O. P. Oladijo, S. Akinlabi, and A. U. Ude, “Overew of thin film deposition techniques,” AIMS Mater. Sci., vol. 6, no. 2, pp. 174–199, 2019, doi: 10.3934/MATERSCI.2019.2.174.
- [4] S. Hacène, “Élaboration Et Caractérisation De Couches Minces À Base D ’ Oxydes,” thèse doctorat,UNIVERSITE DES FRERES MENTOURI CONSTANTINE 1, 2019.
- [5] O. Ben Messaoud et al., “Optoelectronic and Dielectric Properties of Tenorite CuO Thin Films Sprayed at Various Molar Concentrations,” Period. Polytech. Chem. Eng., vol. 68, no. 1, pp. 93–105, 2024.
- [6] A. El-Trass, H. Elshamy, I. El-Mehasseb, and M. El-Kemary, “CuO nanoparticles: Synthesis, characterization, optical properties and interaction with amino acids,” Appl. Surf. Sci., vol. 258, no. 7, pp. 2997–3001, 2012, doi: 10.1016/j.apsusc.2011.11.025.
- [7] Mecheter Imane, “Physical Properties of Sol Gel Copper Oxide (CuO) Thin Films; Sol concentration effect,” mémoire de Master ,Mohamed Boudiaf University - M’sila Faculty, 2019.

الفصل الأول

الأكاسيد الناقلة الشفافة

(TCO)

---

**I-1 تمهد**

على مدى العقود القليلة الماضية، ساعد تطوير المواد في شكل طبقات رقيقة على زيادة أداء الإلكترونيات والإلكترونيات الضوئية، لاسيما من خلال تقليل تكاليف المكونات لتطبيقات الإنتاج الضخم. يمكن أن تكون الطبقات الرقيقة مصنوعة من مواد غير عضوية أو عضوية أو بوليمرية ويمكن أن تكون ناقلة أو عازلة أو نصف ناقلة. يمكن أن تكون الطبقات المودعة أحادية أو متعددة الطبقات بسمك يتراوح بين مستوى من الذرات (بضع أنجستروم) إلى عدة مئات من النانومترات. وترتبط خواصها الفيزيائية ارتباطاً وثيقاً بمعايير الترسيب، مثل درجة الحرارة، وتركيز التعقيم، ووقت الترسيب، وطبيعة المادة الناقلة وما إلى ذلك. وقد جذبت الأكسيد الناقلة الشفافة ( $\text{TCO}_s$ ) قدرًا كبيراً من الاهتمام منذ اكتشافها، وذلك بفضل خصائصها التي تجمع بين الناقلة الكهربائية العالية والنفاذية الضوئية العالية [1].

ستنطرق في هذا الفصل إلى تعريف أكسيد المعادن والأكسيد الناقلة الشفافة (TCO) وتطبيقاتها وبعدها مباشرة إلى تعريف أكسيد النحاس  $\text{CuO}$  وأكسيد القصدير  $\text{SnO}_2$  بالإضافة إلى خصائصهم (البنيوية والكهربائية والضوئية).

**I-2 تعريف أكسيدات المعادن**

يعتبر أكسيد المعادن عموماً مادة تتتألف من ذرات معدنية وذرات أكسجين ( $M_{1x}M_{2y}O_z$ ), حيث تمثل M الرمز الكيميائي للذرة المعنية، وتمثل O الرمز لزرة الأكسجين، وتمثل x و y و z أعداداً صحيحة.

أمثلة:

- أكسيد الألومنيوم:  $\text{Al}_2\text{O}_3$ , الألومينا.

- أكسيد الزنك:  $\text{ZnO}$ .

- أكسيدات النحاس:  $\text{CuO}$ , أكسيد النحاس الثنائي.

- أكسيد الحديد:  $\text{Fe}_2\text{O}_3$ , أكسيد الحديد الثنائي.

- أكسيد القصدير:  $\text{SnO}_2$ , ثانوي أكسيد القصدير.

- تيتانات الباريوم:  $\text{BaTiO}_3$ .

يمكننا تصنيف أكسيدات المعادن إما حسب طبيعة التوصيل عبر الإلكترونات أو الثقب، أو حسب ما إذا كانت الأكسيدات المعدنية بسيطة أو معقدة [2].

يمثل الشكل بعض الأكسيدات المعدنية البسيطة والمعقدة.

### الجدول I-1: الأكسيدات المعدنية البسيطة و المعقدة[3].

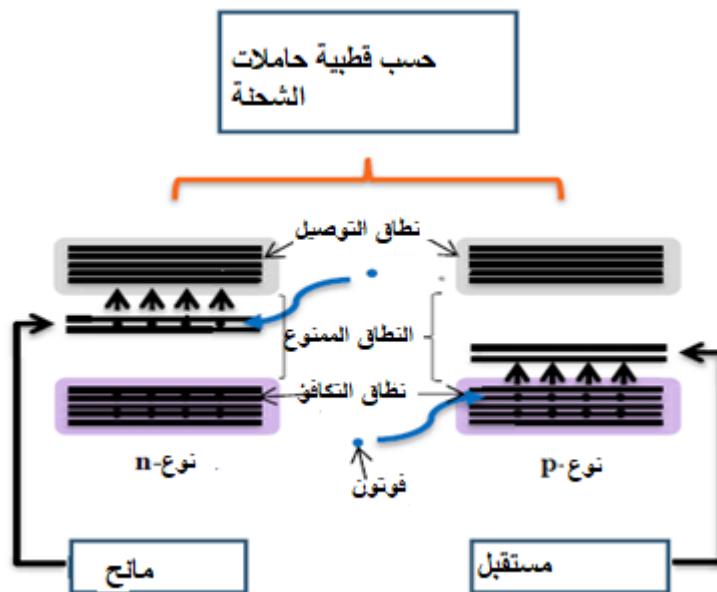
$\text{Cd}_2\text{SnO}_4$	$\text{CdIn}_2\text{O}_4$	$\text{BaTiO}_3$	الأكسيدات المركبة
$\text{ZnO}$	$\text{NiO}$	$\text{CuO}$	الأكسيدات البسيطة

## I-1 الأكسيدات الناقلة الشفافة (TCO)

تعرف هذه الأكسيدات باسم الأكسيدات الناقلة الشفافة (TCOs). هي عائلة من الأكسيدات التي بالإضافة إلى كونها شفافة، لديها القدرة على أن تصبح ناقلة عندما تحتوي على زيادة في عدد الإلكترونات في شبكتها الذرية الخارجية. يمكن إنشاء زيادة في الإلكترونات إما عن طريق عيوب في الهيكل تؤدي إلى عدم توازن في تركيب الأكسيد، أو عن طريق تأثير الشوائب(التطعيم) المناسبة [4]. وتتميز هذه الأكسيدات الناقلة الشفافة بفجوة عالية وهي في الواقع أنصاف نوافل منحطة، أي أن مستوى فيرمي لها قريب جدًا من نطاق التوصيل (BC)، أو حتى داخل هذا النطاق في حالة الأكسيدات الناقلة الشفافة المطعمة بشكل كبير. وهذا يعني أن نطاق التوصيل (BC) ممتنئ بالفعل بالإلكترونات في درجة حرارة الغرفة، مما يجعل ال TCOs ناقلة. وبالإضافة إلى ذلك، تمنع الفجوة العالية ل TCOs (3-4 eV) من امتصاص الفوتونات ذات الطاقات الأقل من الفجوة، مما يجعلها شفافة للضوء المرئي [5].

من أجل تحقيق شفافية عالية وناقلية كافية، يجب اختيار مواد ذات فجوة نطاق مناسبة. ووفقاً لنظرية النطاق، فإن فجوة النطاق الكبيرة ( $3.0 \text{ eV}$ ) ضرورية للسماح للضوء المرئي بال النفاذ دون إثارة حاملات الشحنة خلال هذه العملية. ومع ذلك، فإن معظم هذه المواد عوازل. ومن أجل جعل المواد ناقلة للضوء، يجب أن يتعايش مستوى مستقبل أو مانح عند فجوة النطاق. وفي هذه الحالة، لا يمكن للفوتونات المرئية ذات الطاقات التي تتراوح طاقتها من حوالي 1.6 إلى 3.2 الكترون فولت أن تثير الإلكترونات لتتفز من نطاق التكافؤ إلى نطاق التوصيل. وعلى الرغم من ذلك، يمكن لهذه الطاقات أن تثير الإلكترونات من مستوى المانح إلى نطاق التوصيل (أنصاف النوافل من النوع n) أو من نطاق التكافؤ إلى مستوى المستقبل. وتؤدي هذه

الظاهرة الأخيرة إلى توليد ثقب في نطاق التكافؤ، ونتيجة لذلك، تصبح المواد ناقلة (أنصاف نوافل من النوع p). يوضح الشكل التالي الرسم التخطيطي لأنصاف النوافل (النوع n والنوع p) [6].



الشكل I-1: مخطط مبدئي لأنصاف النوافل (نوع n و p) [6]

### I-3 خصائص الأكاسيد الناقلة الشفافة TCO

تتميز الأكاسيد الناقلة الشفافة بخصائص كهربائية وضوئية مهمة وهذا ما جعلها محل دراسة الباحثين لتطويرها والاستفادة منها، وذلك لشفافيتها العالية للضوء والناقلية الكهربائية الجيدة، هذه الخصائص تتعلق بنسبة كبيرة بنوع تقنية الترسيب المتبعة، فهي لا تتعلق بالتركيبة الكيميائية فقط [7].

إن للأكاسيد الناقلة الشفافة العديد من الخصائص ما يجعل لها تطبيقات واسعة في مجال أشباه النوافل والأكاسيد. ويدفع إلى دراسة العلاقة بين البنية المجهرية وخصائص النقل الكهربائي في المواد الناقلة الشفافة وخاصة تلك التي تعتمد على الأمورفية والبلورية منها  $\text{SnO}_2$  و  $\text{In}_2\text{O}_3$  و  $\text{ZnO}$ ، وتعتبر هذه المواد حالياً الأكثر أهمية في تطبيقات الأقطاب الكهربائية الشفافة والتي تشكل مجالاً واسعاً في طبقات الأكاسيد الرقيقة للترانزستورات الإلكترونية [8].

## الجدول I-2: خصائص [9](TCO)

المتغيرات	المواد الناقلة الشفافة
الفاصل الطاقي	أكبر من (380 nm) 3.1 eV
الشفافية (550nm)	أكبر من % 90 (نوع n) وأكبر من 85% (نوع p)
المقاومية	(نوع n) و $10^{-3} \Omega \cdot \text{cm}$ (نوع p)
تركيز حاملات الشحنة	أكبر من $10^{20} \text{ cm}^{-3}$ (لكل من النوع n و p)
الحركية	أكبر من $20 \text{ cm}^2(\text{Vs})^{-1}$ (نوع n) وأكبر من $40 \text{ cm}^2(\text{Vs})^{-1}$ (نوع p)
مقاومة السطح	أقل من $10\text{K} \Omega/\text{s}$ (من أجل سماكة 20 nm)

## I-4 معايير اختيار TCO

يجب أن تتمتع TCO بناقلية كهربائية عالية وامتصاص مرئي منخفض. معامل الجودة يشار إليه بـ  $\Phi_{TC}$  معبراً عنه بـ  $\Omega^{-1}$  هو العلاقة بين معامل النفاذية  $T$  ومقاومة السطح  $R_s$ ، وفقاً للعلاقة. يسمح معامل الجودة هذا بإجراء مقارنة بين مختلف TCOs [10].

$$\Phi_{TC} = \frac{T^{10}}{R_s} \quad (\text{I-1})$$

وإلى جانب الخواص الكهربائية والضوئية، هناك معايير أخرى تؤثر على اختيار المواد وطريقة ترسيبها. يتوافق تنوع TCO وتطبيقاتها مع حقيقة أن معيار اختيار TCO لا يعتمد فقط على عامل الجودة. يجب أن تؤخذ في الاعتبار معايير أخرى تتعلق بالمادة، وخصائص الحفر وتكليف إنتاجها. وفي مجال الطبقات الرقيقة، فإن معدل حرية البلازما، وتجانس الترسبات وخشونة السطح، والثبات الحراري والكيميائي والميكانيكي، والالتصاق بالمسند، والحد الأدنى من متطلبات المعالجة الحرارية هي أيضاً من المتطلبات المهمة [11].

**I-5 تطبيقات الأكاسيد الناقلة الشفافة (TCO)**

تظهر خصائص TCOs التي تمت مناقشتها سابقاً إمكانية استخدامها في العديد من التطبيقات. وتشمل الاستخدامات الرئيسية لهذه المواد:

1. شاشات مسطحة.
2. نوافذ مضادة للتجمد.
3. نوافذ تعكس الحرارة (للمباني، الأفران، إلخ).
4. الحماية الكهرومغناطيسية.
5. الخلايا الشمسية كجهات اتصال أمامية تسمح بمرور الضوء إلى الخلية.

يتم اختيار TCO المناسب لكل تطبيق بناءً على متطلبات التصنيع والخصائص الازمة للتطبيق مثل الاستقرار ضد بعض العناصر الضارة[12].



الشكل I-2: تطبيقات الأكاسيد الشفافة.

**Cu-6 النحاس****1.6-I معدن النحاس****1.1.6-I الخصائص الفيزيائية والكيميائية للنحاس (Cu)**

يعد النحاس أحد العناصر الكيميائية والانتقالية المهمة في الطبيعة، وغالباً ما يتواجد في الطبيعة على شكل نحاس ثانوي التكافؤ ( $Cu^{+2}$ ) يتبلور كذلك في بنية مكعبية مركبة الوجوه [13].

**الجدول I-3: الخصائص الفيزيائية والكيميائية للنحاس[13]**

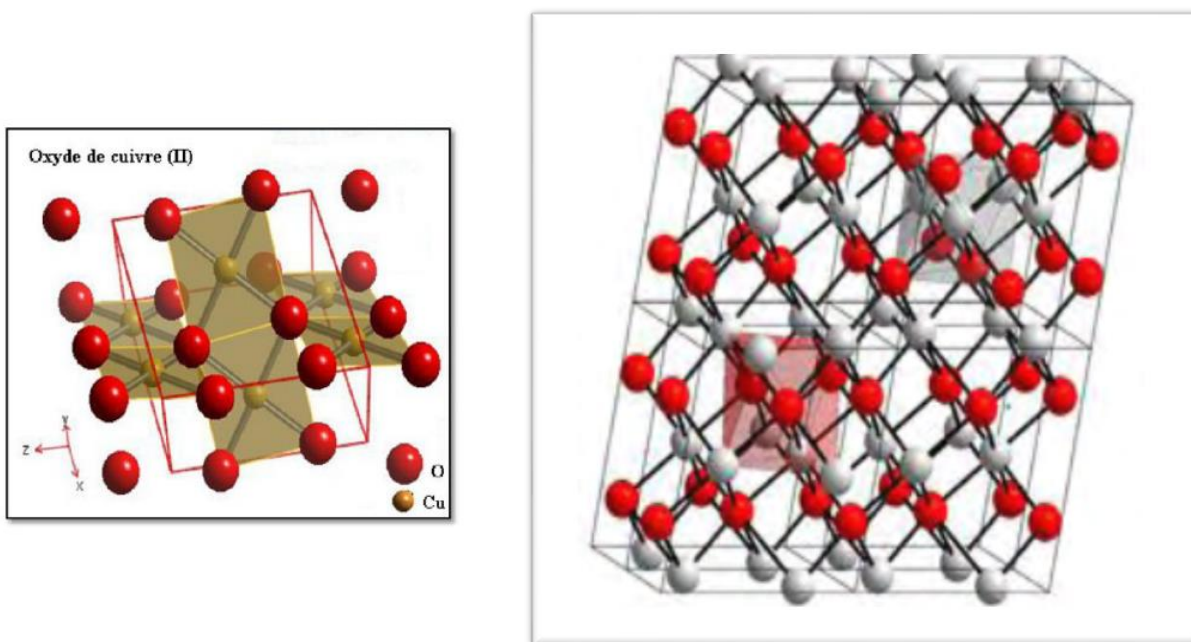
خصائص النحاس (Cu)	
Cu	الصيغة الكيميائية
63.54 g/mol	الكتلة المولية
1273 °C	درجة التبخّر
2855 °C	درجة الغليان
8.93 g/cm <sup>3</sup>	الكتلة الحجمية
a=0.2866 nm	البعد البلوري

**CuO-2.6 أكسيد النحاس**

تم دراسة الطبقات الرقيقة من أكسيد النحاس لفترة طويلة. وقد حدثت أول فترة نمو ملحوظة تثير اهتماماً في البحث عن أكسيد النحاس في منتصف الثمانينيات 1980 مع سلسلة من الأبحاث المشهورة بشدة. تمحور الدراسات حول الطبقات الرقيقة من النحاس المزيد في استخدامها كطبقة امتصاصية من النوع p في الخلايا الشمسية [4].

**3.6-I خصائص أكسيد النحاس CuO****1.3.6-I الخصائص البنوية**

أكسيد النحاس (CuO) هو من أنصاف نوائق المعادن الانتقالية من النوع (P-type) اي ان حاملات الشحنة الأغلبية هي الفجوات (Holes). ونلاحظ ان قيم فجوة الطاقة مختلفة ويرجع ذلك الى نوع طريقة التحضير والمواد المستخدمة والمعلمات والظروف المحيطة داخل المختبر أثناء تحضير الطبقة. ويمتاز اوكسيد النحاس (CuO) بكونه عديم الرائحة وغير سام ، وإمكانية توفره بسهولة، وكلفة إنتاجه منخفضة وتركيبه البلوري أحادي الميل (Monoclinic) . ومن نوع متمركز القاعدة (bcc) ويظهر في الطبيعة باللون البني الغامق المائل للسواد [14] (powder)Black .



الشكل I-3: تمثيل تخطيطي للتركيب البلوري لأكسيد النحاس (CuO) [9، 16].

يمثل الجدول التالي الخصائص الفيزيائية والكيميائية لأكسيد النحاس.

الجدول I- 4 ملخص الخواص الفيزيائية و البنوية لأكسيد النحاس [17,18].

CuO	الصيغة الجزيئية
$a = 0.468 \text{ nm}, b = 0.342 \text{ nm}, c = 0.513 \text{ nm}$ $\alpha = 90^\circ, \beta = 99.54^\circ, \gamma = 90^\circ$	ثوابت الشبكة
أحادي الميل	الركيب البلوري
$C_2/c$	مجموعة الفضاء
79.545 g/mol	الكتلة المولية
$6,315 \text{ g / cm}^3$	الكثافة
2000 ° C	درجة الغليان
1326 ° C	درجة الانصهار
1.2 eV	طاقة النطاق الممنوع
2.63	معامل الانكسار
غير قابل للذوبان	الذوبان في الماء
أسود	اللون

## 2.1.6-I الخصائص الكهربائية

يعتبر أكسيد النحاس CuO نصف ناقل من النوع p بنقلية ضعيفة، وهو يُعرف بأنه مادة وفييرة ومغناطيسية مضادة حيث يبلغ الحقل المغناطيسي لها  $0.60 \mu\text{B}$ . تتراوح قيم المقاومة بشكل كبير بين 1.0 و  $10 (\Omega \cdot \text{cm}^2)$  تبعاً لطريقة التحضير. تُظهر الطبقات المحضرة بالرش أو PECVD مقاومات ضعيفة،

تتراوح بين 10 و [0.5-5]  $\Omega \cdot \text{cm}^2$  على التوالي، وقد تم ربط هذه القيم إما بعدم التناقض الكيميائي أو التوصيل عبر حدود الحبيبات. ومن الأسباب المحتملة لهذا السلوك: كمية قليلة من الشوائب في المركب واستقراره في درجات حرارة منخفضة في جو ضغط أكسجين منخفض [19].

### 3.1.6-I الخصائص الضوئية

يعتبر أكسيد النحاس من أنصاف النواقل الشفافة في مجال الأشعة فوق البنفسجية والمرئية والأشعة تحت الحمراء القريبة، يعد من أهم الأكسيد الشفافة المستخدمة في مجال التطبيقات الضوئية لما يمتلكه من خصائص [17]. يُعتبر أكسيد النحاس  $\text{CuO}$  نصف ناقل من النوع p بسبب وجود مستويات مقبولة تتناسب إلى فجوات النحاس، ويظهر فجوة طاقة ممنوعة يمكن أن تترواح بين (1-2) eV تبعًا لطريقة التحضير. ومع ذلك، لم يتم تحديد القيمة الدقيقة للفجوة الطاقوية وطبيعة الانتقال من الفجوة بشكل مباشر أو غير مباشر بشكل قطعي بعد تجربة. معامل الانكسار  $n = 1.9 - 3$  بحسب طريقة الترسيب [20]. وتتراوح النفاذية بين (80-0)٪ [17].

### I-7-القصدير Sn

#### I-1.7-معدن القصدير

##### 1.1.7-I الخصائص الفيزيائية و الكيميائية للقصدير

يمثل الجدول التالي الخصائص الكيميائية والفيزيائية لمعدن القصدير.

#### الجدول I-5: الخصائص الفيزيائية و الكيميائية للقصدير [21].

خصائص القصدير	
<b>Sn</b>	الصيغة الجزئية
2270 ° C	درجة الغليان
231.9681 ° C	درجة الانصهار
7.29 g.cm <sup>-3</sup>	الكتلة الحجمية
118.71g.mol <sup>-1</sup>	الكتلة المولية

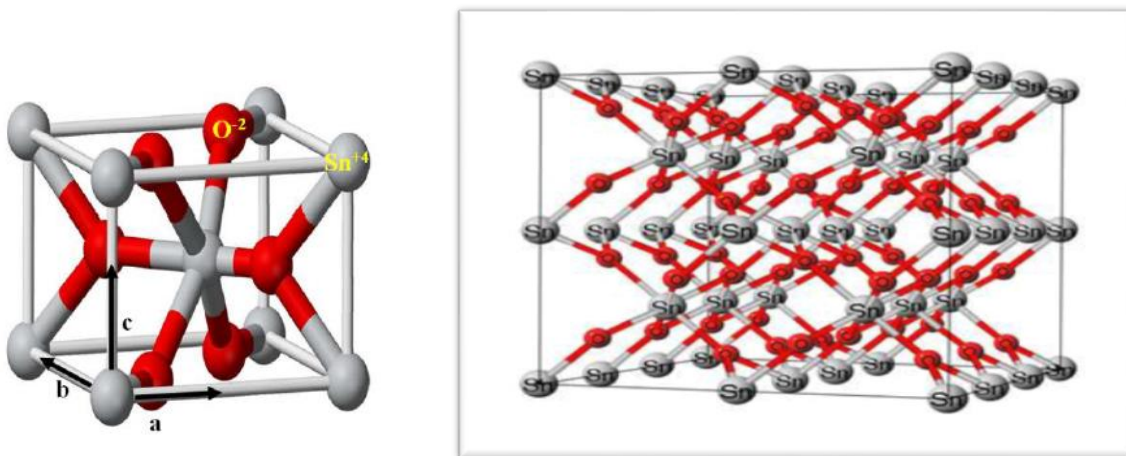
## 2.7-I أكسيد القصدير $\text{SnO}_2$

يوجد أكسيد القصدير أو "أكسيد ستانيك" بشكل طبيعي في شكل معدن الكاسيتيريت. والكاسيتيريت هو أكسيد يختلف لونه من الأصفر إلى الأسود، وقد عُرف وتم تعدينه منذ العصور القديمة. واسمها (من اليونانية كاسيتيروس "القصدير") أطلقه عليه عالم المعادن الفرنسي بودانت في عام 1832. ومع ذلك، فإن حجر القصدير معروف منذ أكثر من 5000 عام. ويتميز ببريقه اللامع ويمكن أن يكون شفافاً. ويتميز بانشقاق غير كامل، وهو صلب وثقيل. أكسيد القصدير حراري نسبياً ويذوب عند درجة حرارة 1620 درجة مئوية [12].

### 3.7-I خصائص أكسيد القصدير

#### 1.3.7-I الخصائص البنوية

الكاسيتيريت هو اسم المعدن الثاني لأكسيد القصدير الطبيعي. يتشكل بنية رباعي الميل (Tetragonal) مع ترتيب مجموعة فضائية  $P42/nmm$ ، وشبكة مربعة ( $c=0.319\text{nm}$  و  $a=b=0.474\text{ nm}$ ) تحتوي على ستة ذرات. يحيط كل ذرة قصدير بستة ذرات أكسجين تشكل مكعباً تقريباً منتظمًا، وأربع ذرات أكسجين، حيث يحيط كل ذرة أكسجين بثلاث ذرات قصدير تشكل مثلثاً متساوياً الساقين. يوجد ذرات الأكسجين، حيث يحيط كل ذرة أكسجين بثلاث ذرات قصدير تشكل مثلثاً متساوياً الساقين. يوجد ذرة القصدير في  $(1/2-u, 1/2+u, 1/2)$  ،  $(1/2+u, 1/2-u, 1/2)$  ،  $(1-u, 1-u, 0)$  و  $(u, u, 0)$  ، و توجد ذرة القصدير في  $(0, 0, 0)$  و  $(1/2, 1/2, 1/2)$  .  $u=0.31$  [22] .  
يبلغ أنساف الأقطار الأيونية لأيونات  $\text{Sn}^{+4}$  و  $\text{O}^{-2}$  0.071 و 0.14 نانومتر على الترتيب [23].



الشكل I-4: هيكل الروتيل الخلية الأساسية لأكسيد القصدير  $\text{SnO}_2$  [22,12].

الجدول I-6: ملخص الخواص الفيزيائية و البلورية لأكسيد القصدير  $\text{SnO}_2$  [24، 25].

خصائص أكسيد القصدير	
$\text{SnO}_2$	الصيغة الجزيئية
$a = b = 0,475 \text{ nm}$ $c = 0,318 \text{ nm}$	ثوابت الشبكة
رباعي الزوايا	التركيب البلوري
P42/nmm	مجموعة الفضاء
150,70 g/mol	الكتلة المولية
6,915 g / $\text{cm}^3$	الكثافة
2330° C	درجة الغليان
1630 ° C	درجة الانصهار
2,093	معامل الانكسار
3,5-3,8 eV	طاقة النطاق الممنوع
صلب بلوري	المظهر
أبيض أو رمادي	اللون
غير قابل للذوبان في الماء (قابل للذوبان في حمض الكبريت المركز)	الذوبان في الماء

### 2.3.7-I $\text{SnO}_2$ الخصائص الضوئية لـ

تعتمد الخواص الضوئية لمادة  $\text{SnO}_2$  على تفاعل الموجات الكهرومغناطيسية مع الإلكترونات في شبه الناقل فالموجة الكهرومغناطيسية التي تتفاعل مع هذه المادة سوف تمتتصها بالكامل إذا كانت الطاقة المصاحبة

$E=hv = hc/\lambda$  قادرة على نقل الإلكترونات من نطاق التكافؤ إلى نطاق التوصيل، أي أنها تساوي على الأقل عرض فجوة النطاق.

لذا، إذا كان يراد للمادة أن تكون شفافة في جميع أنحاء الطيف المرئي، فيجب أن تكون الفجوة على الأقل بعرض أكبر الطاقات المرتبطة بالترددات في الطيف المرئي (400 نانومتر إلى 800 نانومتر). وبالتالي، سيتم ضمان شفافية جيدة في جميع أنحاء الطيف المرئي من خلال قيمة فجوة نطاق لا تقل عن 3.1 eV. ولذلك، كطبقة رقيقة، فإن  $\text{SnO}_2$  مع فجوة 3.8 eV هي مادة شفافة جيدة في النطاق البصري المرئي [26].

### 3.3.7-I الخصائص الكهربائية

أكسيد القصدير هو ناقل من النوع n، ويتميز بمقاومة منخفضة. وترتبط هذه المقاومة بتركيز عالي لحوامل الشحنة نظراً لقرب مستوى فيرمي من فجوة النقل. وتسبب الانحلال بشكل رئيسي بوجود فجوات الأكسجين في حالة توازن  $\text{SnO}_2$ . ويتم زيادة الناقلية عند تعليم  $\text{SnO}_2$  بالفلور وبعض العناصر الأخرى. ويمكن أن تتحفظ مقاومة طبقات  $\text{SnO}_2$  إلى  $10^{-4} \text{ cm} \cdot \Omega$  وفقاً لطريقة الترسيب حيث قيمة طاقة العمل تبلغ 4.85 eV يتراوح تركيز حومل الشحنة عموماً بين  $10^{20}$  و  $10^{21} \text{ cm}^{-3}$  [27].

## مراجع الفصل الأول

- [1] Y. A. Hichem, “Fabrication et caractérisation de couches minces d’oxydes transparents conducteurs SnO<sub>2</sub> et ZnSnO<sub>3</sub>,” thèse doctorat, UNIVERSITE DJILLALI LIABES DE SIDI-BEL-ABBES, 2020.
- [2] M. SARA, “La synthèse des nano poudres de Cu O avec la méthode THEME précipitation Sol-Gel en utilisant le précurseur CuSO<sub>4</sub> et l’étude de leurs propriétés structurales et optiques,” mémoire de Magistère, UNIVERSITE MENTOURI-CONSTANTINE, 2015.
- [3] G. Haacke, “TRANSPARENT CONDUCTING COATINGS,” *Ann. Rev. Mater. Sci.*, 7, pp. 73–94, 1977.
- [4] M. Raya , C. Noureddine, “Etude ab-initio du dopage de CuO par des éléments non métalliques,” mémoire de master, Université Saad Dahlab Blida 1, 2020.
- [5] A. Hafdallah, “Étude du Dopage des Couches Minces de ZnO Élaborées par Spray Ultrasonique,” mémoire de Magistère, UNIVERSITE MENTOURI-CONSTANTINE, 2016. doi: 10.13140/RG.2.2.31372.10883.
- [6] H. SUN, “Synthèse par co-pulvérisation cathodique magnétron en condition réactive et caractérisation de revêtements d’oxydes conducteurs transparents à base de CuCrO<sub>2</sub> de structure délafoissite,” thèse doctorat, Université de Technologie de Belfort-Montbéliard (UTBM), 2016.
- [7] ع. أحلام، “تحضير ودراسة أفلام رقيقة لأكسيد النحاس النقي (CuO) و المطعم بالسترونتيوم (Sr) ، ” مذكرة ماستر،جامعة جيجل، 2022.
- [8] س. ليلي، “تحديد خصائص أكسيد القصدير (SnO<sub>2</sub>) المطعم بالحديد(Fe) ، ” مذكرة ماستر،جامعة الشهيد حمة لخضر - الوادي-، 2016.
- [9] M. MEHDI, “Thème Etude d ’ une électrode tri -couches à base de TCO / Métal / TCO pour une cellule solaire organique,” mémoire de Magistère, Université Mouloud Mammeri de Tizi-Ouzou, 2013.
- [10] J. Garnier, “Elaboration de couches minces d ’ oxydes transparents et conducteurs par spray cvd assisté par radiation infrarouge pour applications photovoltaïques ,” thèse doctorat, l’École Nationale Supérieure d’Arts et Métiers, 2009.
- [11] K. Yousra, “Dependence of Zinc Oxide ( ZnO ) Thin Films Properties Elaborated By SILAR on the Number of Cycles,” mémoire de master,Mohamed Khider University of Biskra, 2023.
- [12] Allag Abdlekrim, “Optimisation des conditions d’élaboration des couches minces d’oxyde d’étain SnO<sub>2</sub> par spray,” thèse doctorat,Université Mohamed Khider - Biskra, 2016.
- [13] ع. ا. بليلة، ن.ا. حمووني، ”الدراسة البنوية والضوئية و الكهربائية لشرائح اكسيد القصدير المطعم بالنحاس،” جامعة الشهيد حمة لخضر بالوادي-، 2017.
- [14] آ. ع. ا. جاسم، ز.م. عبود ، خ. ع. مشجل، ”تأثير درجة حرارة القاعدة على الثوابت البصرية لأغشية CuO المحضرة بتقنية التحلل الكيميائي الحراري،” .2017، pp. 1–12، *J. Coll. Educ.*

- [15] B. Rabie, “La synthèse des nano particules de CuO avec la méthode de précipitation sol-gel, en utilisant le précurseur CuCl<sub>2</sub> et l'étude de leurs propriétés structurales et optiques,” mémoire de Magistère, UNIVERSITE MENTOURI CONSTANTINE-1-, 2015.
- [16] I. YOUNSI, “Elaboration et caractérisation de nouvelles couches sensibles pour la réalisation de capteurs de CO<sub>2</sub>,” thèse doctorat, Université Toulouse 3 Paul Sabatier (UT3 Paul Sabatier), 2015.
- [17] مدخل عبد العالى، “ترسيب الأغشية الرقيقة لأكسيد النحاس (Cu<sub>x</sub>Oy) المحضرة بطريقة الترذيد البلازمي المغناطيسي المستمر،” ميموار ماستر، جامعة الشهيد حمزة لخضر بالوادى، 2019.
- [18] T. BARIZA, “Elaboration et Caractérisation de nanocomposites hybrides : Oxydes métalliques/polymères,” thèse doctorat, UNIVERSITE FRERES MENTOURI CONSTANTINE 1, 2017.
- [19] N. RIMA, “Synthèse électrochimique, caractérisation et application d’oxyde de cuivre CuO de type « p »,” mémoire de Master, Université Mohammed El Bachir El Ibrahimi-Bordj Bou Arreridj, 2020.
- [20] A. Ouardia, “Elaboration d ’ oxyde cuivreux ( Cu<sub>2</sub>O ) sur 1 ’ acier par voie électrochimique et Application électrocatalytique sur les ions nitrites,” mémoire de Master ,Université A. MIRA - Bejaïa, 2022.
- [21] J. Smith, “*Chemistry of Tin*”, SECOND EDI. Chapman & Hall, 2017, DOI 10.1007/978-94-011-4938-9.
- [22] H. ZOUBIR, “Performance des TCO (SnO<sub>2</sub>, In<sub>2</sub>O<sub>3</sub>, ZnO) en applications technologiques,” thèse doctorat, Université Hassiba Benbouali de Chlef, 2021.
- [23] H. SOUMIA, “Elaboration des nanostructures de semi-conducteur SnO<sub>2</sub> dopé au Strontium et étude de leurs propriétés structurales,optiques et photocatalytiques,” thèse doctorat, UNIVERSITE MENTOURI CONSTANTINE, 2018.
- [24] A. ADJIMI, “ELABORATION DES OXYDES TRANSPARENTS CONDUCTEURS PAR VOIE SOL-GEL,” thèse doctorat, UNIVERSITE FRERES MENTOURI CONSTANTINE1, 2022.
- [25] M. MAHMOUDI, “Détermination spectroscopique des grandeurs Optoélectroniques du SnO<sub>2</sub> codopé élaboré par spray pyrolysis à nozzle mouvant,” thèse doctorat, Université Kasdi Merbah Ouargla, 2021.
- [26] H. MECHICHE, “Etude du structure à multicouches d’oxydes transparents conducteurs pour application photovoltaïque,” mémoire de Master UniversitéMouloudMAMMERI de Tizi-Ouzou, 2017.
- [27] T.-I. Razika ZAIR, “ETUDE ET REALISATION D’UNE CELLULE PHOTOVOLTAIQUE A HETEROSTRUCTURE AVEC CONTACT SERIGRAPHIE,” thèse doctorat, Université M’hamed Bougara-Boumerdes, 2007.

## الفصل الثاني

# تقنيات الترسيب وطرق تصنيف الطبقات الرقيقة

---

## الجزء الأول: تقنيات الترسيب

### 1.1-II تمهيد

إن مجال دراسة الطبقات الرقيقة مجال قديم لكنه يكتسي أهمية بالغة حتى الآن حيث شهد هذا المجال العديد من التطورات نتيجة وفرة الدراسات المتعلقة به، وتتجلى أهميته في توجيه العديد من الجهود البحثية إلى هذا التخصص في السنوات الأخيرة، حيث أدت هذه البحوث إلى غزو الطبقات عديدة المجالات التكنولوجية لتلبية الحاجيات الصناعية، حيث اثبتت الطبقات الرقيقة جدارتها.

سنشعر في هذا الجزء إلى شرح مفهوم الطبقات الرقيقة ومبدأ ترسيبها، وأنواعها بالإضافة إلى التقنيات الفيزيائية والكيميائية لتشكيلها متطرقين إلى الطرقة المستخدمة للترسيب.

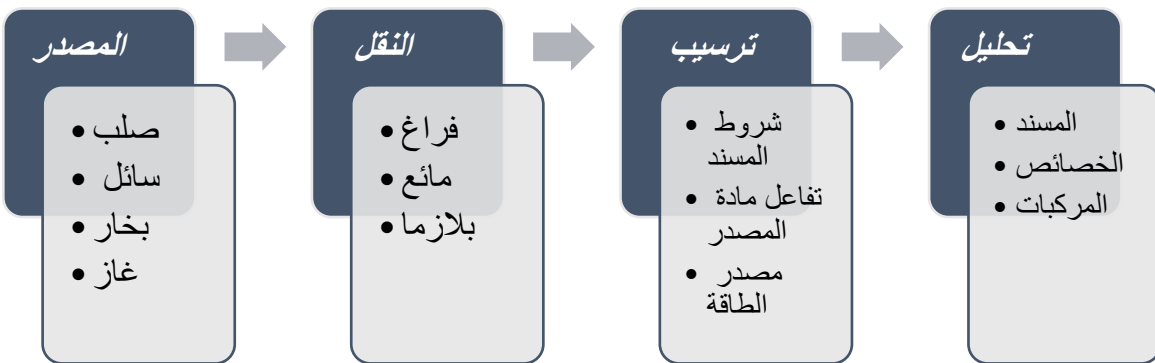
### 2.1-II مفهوم الطبقة الرقيقة

تعرف الطبقة الرقيقة (Thin films) لمادة معينة بأنها ترتيب لعناصر هذه المادة في بعدين (مستوي) يكون البعد الثالث (السمك) صغير جدا [1].

إن موضوع الطبقات الرقيقة يتعلق بدراسة طبقة أو عدة طبقات من ذرات المادة التي لا يتجاوز سمكها ميكرو مترا واحدا  $1 \mu\text{m}$  أو عدة نانومترات، ناتجة عن تكتيف الذرات أو الجزيئات والتي تمتلك خواص فريدة وهامة، حيث تتميز هذه الطبقات بخواص فيزيائية وكيميائية تختلف عن خواص المادة المكونة لها، والفرق الجوهرى بين المادة في الحالة الصلبة وحالة الطبقات الرقيقة يتمثل في أنها في الحالة الصلبة للمادة عموماً نهلل دور الحدود (السطح) في الخصائص، ولكن في حالة الطبقات الرقيقة يكون العكس تأثير السطوح على الخصائص هو الغالب، حيث كلما زاد انخفاض السمك زاد تأثير السطوح في الخصائص الفيزيائية. تتم عملية الترسيب على سطح المسند ليتم تشكيل الطبقة الرقيقة ويمكن أن يكون المسند: زجاج أو سيراميك أو معدن إلخ... ويعتمد نوع المسند على طبيعة الاستخدام والدراسة [2].

يتم ترسيب الطبقات الرقيقة بعدة طرق ترتكز على أربع خطوات أساسية:

### 1.2.1-II خطوات ترسيب الطبقات الرقيقة وتحليلها



الشكل II-1: خطوات ترسيب الطبقات الرقيقة.

#### • المصدر: Source

يتم اختيار مصدر بحيث يكون مادة صلبة أو سائلة أو غازية ليكون بمثابة هدف أثناء عملية الترسيب.

#### • النقل: Transport:

يتم نقل ذرات المصدر عبر وسط إلى المسند ويمكن أن يكون هذا الوسط سائل، غاز أو فراغ وذلك اعتماداً على المواد وتقنية الترسيب المستخدمة والخصائص المطلوبة.

#### • الترسيب: Deposition:

يتم ترسيب ذرات المصدر على المسند ويتم تشكيل طبقة رقيقة بمرور هذه المرحلة من خلال مراحل التنوية والالتحام.

#### • التحليل: Analysis:

تخضع الطبقات الرقيقة لعمليات المعالجة الحرارية اعتماداً على ما إذا كان ذلك ضروريًا لتحقيق خصائص الطبقات المطلوبة، ويتم توصيف خصائص الطبقة إذا لزم الأمر، من أجل إجراء التعديلات المطلوبة يمكن دمج التوصيف مع الترسيب لمراقبة عملية الترسيب [1].

### 3.1-II مبدأ ترسيب الطبقات الرقيقة

لغرض ترسيب طبقة رقيقة على سطح مسند صلب يجب أن تلامس جسيمات المادة المكونة للطبقة عبر وسط ناقل بحيث يكون هذا الوسط في اتصال مباشر مع المسند بمجرد وصول الجسيمات لسطح المسند جزء منها يتمسك بالسطح من خلال قوى Van der waals أو تفاعل كيميائياً معها ويمكن أن تكون هذه

الجسيمات عبارة عن ذرات، جزيئات أو أيونات وقد تكون وسيلة نقل المواد إلى المسند اما عن طريق صلب، سائل، غاز أو في الفراغ [3].

- **وسط صلب:** هنا يكون المسند والمادة المراد ترسيبها في تماس، لكن جسيمات المادة هي التي تشكل

لنا الطبقة الرقيقة لأنها فقط ما ينتشر على المسند، غالبا تكون طريقة التماس بين الجسيمات صعبة للغاية من أجل الحصول على طبقة رقيقة.

- **وسط سائل:** من مميزات هذه الطريقة سهولة استخدامها وهذا نظرا لتنوع طرق الترسيب ذكر مثلا: طريقة المحلول الهلامي.

- **وسط غازي أو فراغ:** هذا الوسط هو الأكثر استخداما في طرق الترسيب ويكون الاختلاف بين الوسط الغازي ووسط الفراغ في قيمة المسار الحر للجزيئات [4].

## 4.1-II الآيات نمو الطبقات الرقيقة

تعد البنية المجهرية للطبقات الرقيقة بعدة عوامل يجب مراعاتها قبل تحضيرها، ذلك لأن لها حساسية عالية للخصائص الفيزيائية والكيميائية للمادة المدرosa خلال نموها، وكذلك الشروط الفيزيائية للترسيب، ومن هذه العوامل ذكر ضغط الهواء ودرجة حرارة المسند، في كل مرحلة من مراحل تطور الطبقة الرقيقة، تخضع مجمل طرق تحضير الطبقات الرقيقة إلى ثلاثة مراحل وهي:

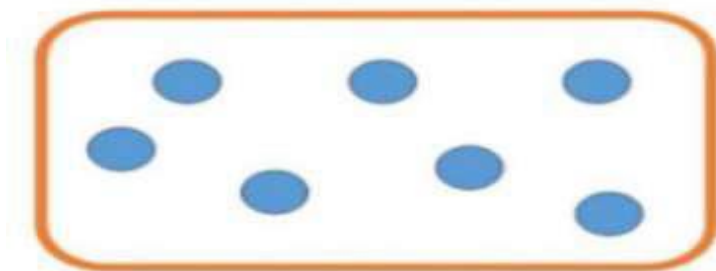
- + إنتاج المواد المسربة (الأيونات، الجزيئات، الذرات...) المناسبة.

- + نقل المواد المسربة إلى المسند.

- + ترسيب ونمو الطبقة على المسند إما بطريقة مباشرة أو عن طريق التفاعل الكيميائي لتشكل ترببات صلبة على هذا المسند ، بحيث تتشكل الطبقة الرقيقة حسب المعايير الترموديناميكية للتضويع وحالة سطح الزجاج غالبا ما يحدث في هذه المرحلة الأخيرة المراحل الثلاث الآتية [5]:

- **مرحلة التنويم:** nucleation

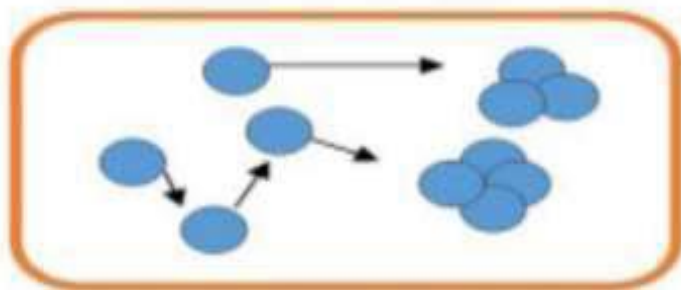
في هذه المرحلة تظهر على الواجهة العلوية للمسند تجمعات أو جزر عناصر صغيرة من المادة المسربة، أي تصطدم الذرات مع بعضها البعض عندما تصل حجم معين تصبح جزر مستقرة ديناميكيا حراريا [6] .



الشكل II-2: رسم تخطيطي يوضح مرحلة توضع الايونات للطبقات الرقيقة [5].

- مرحلة الالتحام :coalescence

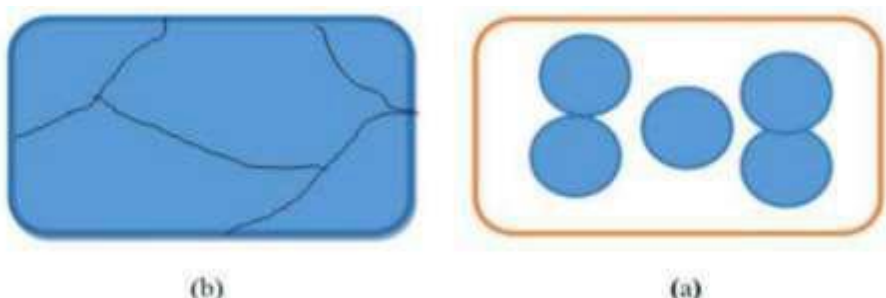
تتميز هذه المرحلة بالتحام الجزر مع بعضها البعض تاركة فجوات أو فراغات صغيرة بينهما ومن العوامل التي تسريع الالتحام وتكتل الجزر مع بعضها البعض زيادة درجة حرارة المسند [6].



الشكل II-3: رسم تخطيطي يوضح مرحلة الالتحام [5].

- مرحلة النمو : growth

تعد هذه المرحلة هي الخطوة الأخيرة في عملية تشكيل الطبقات الرقيقة. يتم تشكيل طبقة مستمرة عن طريق تجمع جزر بحيث تزداد حجم الجزر ويزداد اقترابها من بعضها مشكلة طبقة رقيقة على سطح المسند ويفصل بينهما ما يسمى بحدود الحبيبات [6].



الشكل II-4: رسم تخطيطي يوضح مرحلتا النمو(a) والالتحام (b) من مرحلة [5].

وقد لوحظ تجريبيا ظهور ثلاثة انماط لنمو الطبقات الرقيقة:

- **(Frank-Vander Merwe):**

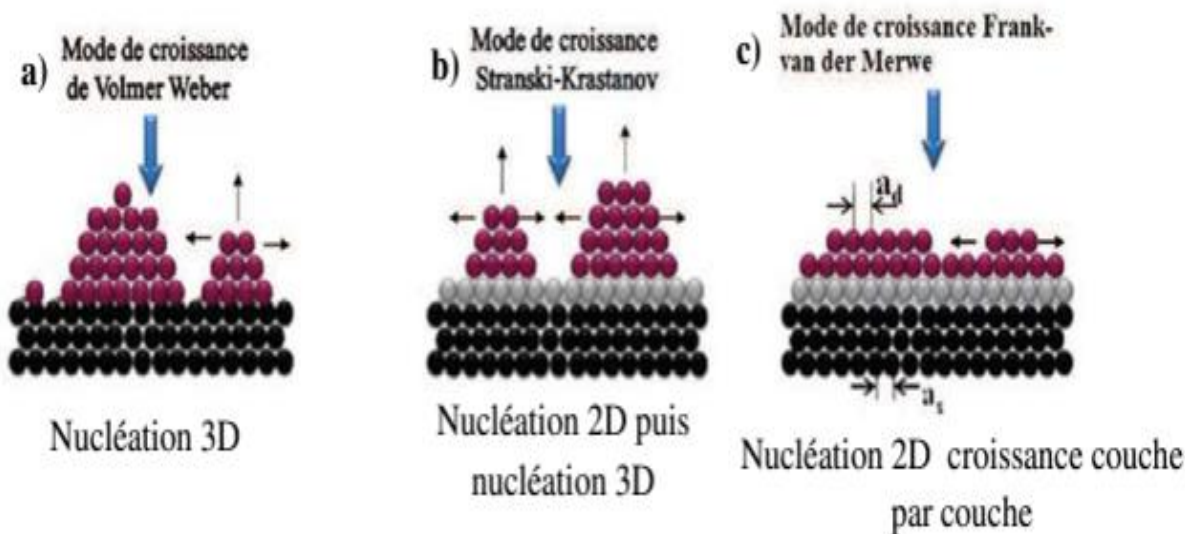
يتم فيه ترسيب للذرات طبقة بعد طبقة على المسند، يحدث هذا النمو عند (2D) نمو ثنائي الأبعاد تكون طاقة الربط بين الذرات المتشابهة أقل أو تساوي طاقة الربط بين الطبقة الرقيقة والمسند.

- **(Weber-Volmer):**

نمو ثلاثي الأبعاد (3D) في هذا النمط تنمو الطبقات الرقيقة على شكل مجموعات.

- **(Stranski-Krastanov):**

هذا النمط من النمو عبارة عن مزيج بين النمطين السابقين، تتشكل طبقة أو عدة طبقات من النمط ثنائية الأبعاد ولكن بعد انخفاض طاقة التفاعل بين الذرات المتشابهة على سطح المسند يميل إلى أن يصبح ثلاثي الأبعاد لتشكيل الجزر [7] .



الشكل-II-5: أنماط النمو الثلاثة للطبقة الرقيقة [8].

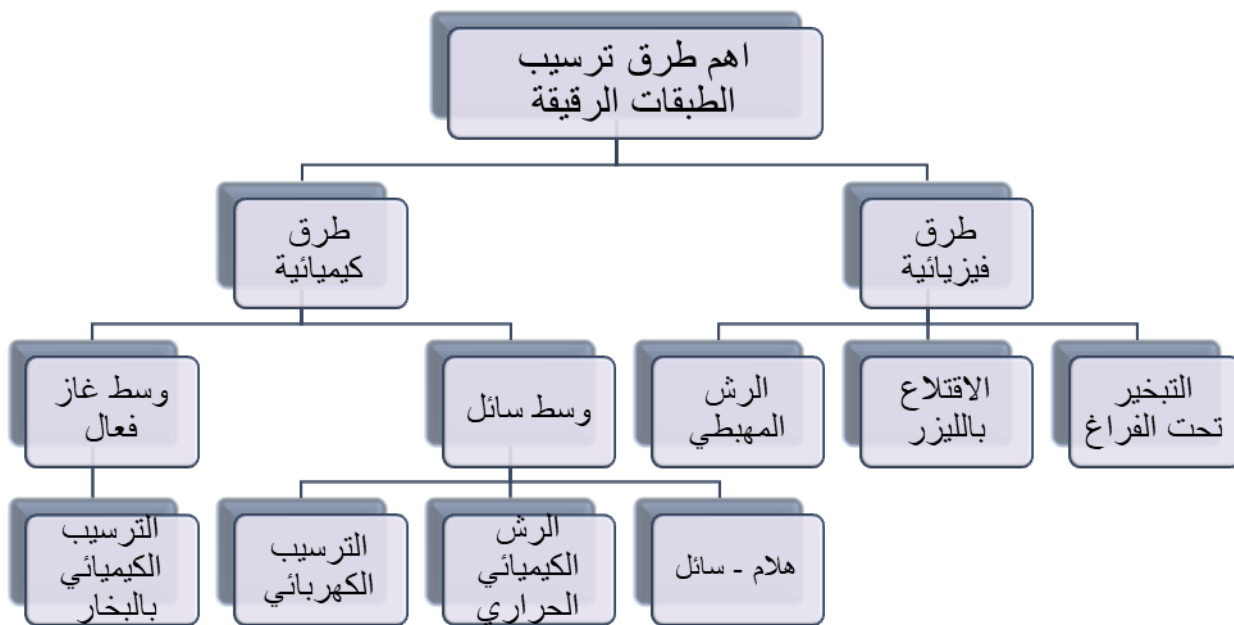
## 5.1-II تقنيات تحضير الطبقات الرقيقة

إن لطريقة تحضير الطبقات الرقيقة أهمية كبيرة لما تمتلكه من تأثير كبير على الصفات الفيزيائية للطبقة، ونتيجة للتطور العلمي فقد تطورت طرق تحضير الطبقات وأصبحت على درجة عالية من الدقة في تحديد سمك الطبقة وتجانسها، وكل طريقة مميزة لها لتأديي الغرض الذي وجدت من أجله وإن تحدد الطريقة

المناسبة لتحضير الطبقة من خلال عدة خصائص، مثل طبيعة التطبيق ونوعه، وكلفة التحضير، وسهولته، وسرعته، بالإضافة إلى نوع المواد المستخدمة في التحضير.

تصنف هذه الطرق إلى صنفين أساسين حسب طرق الترسيب: فيزيائية وكيميائية، الشكل يوضح مخططاً لبعض تقنيات تحضير الطبقات الرقيقة [9].

**الشكل II-6:** يمثل مخططاً لبعض تقنيات تحضير الطبقات الرقيقة.



في هذا الفصل، سنقوم بدراسة طريقة رئيسية للترسيب الكيميائي، وهي الرش بالانحلال الحراري Chemical Spray Pyrolysis Deposition. وذلك باعتماد معايير متعددة مثل طبيعة التطبيق ونوعه وكلفة التحضير وسهولته وسرعته بالإضافة إلى نوع المواد المستخدمة في التحضير.

### 1.5.1-II الترسيب الكيميائي الحراري Chemical Spray Pyrolysis Deposition

سيتم إنتاج الطبقة الرقيقة المستخدمة في هذه الدراسة عن طريق التحلل الحراري بالرش. ويبدو أن هذه التقنية، وهي تقنية وسيطة بين الرش الهوائي والترسيب بالبخار الكيميائي، بسيطة للغاية وفعالة من حيث التكلفة نسبياً، خاصة من حيث تكاليف المعدات [10].

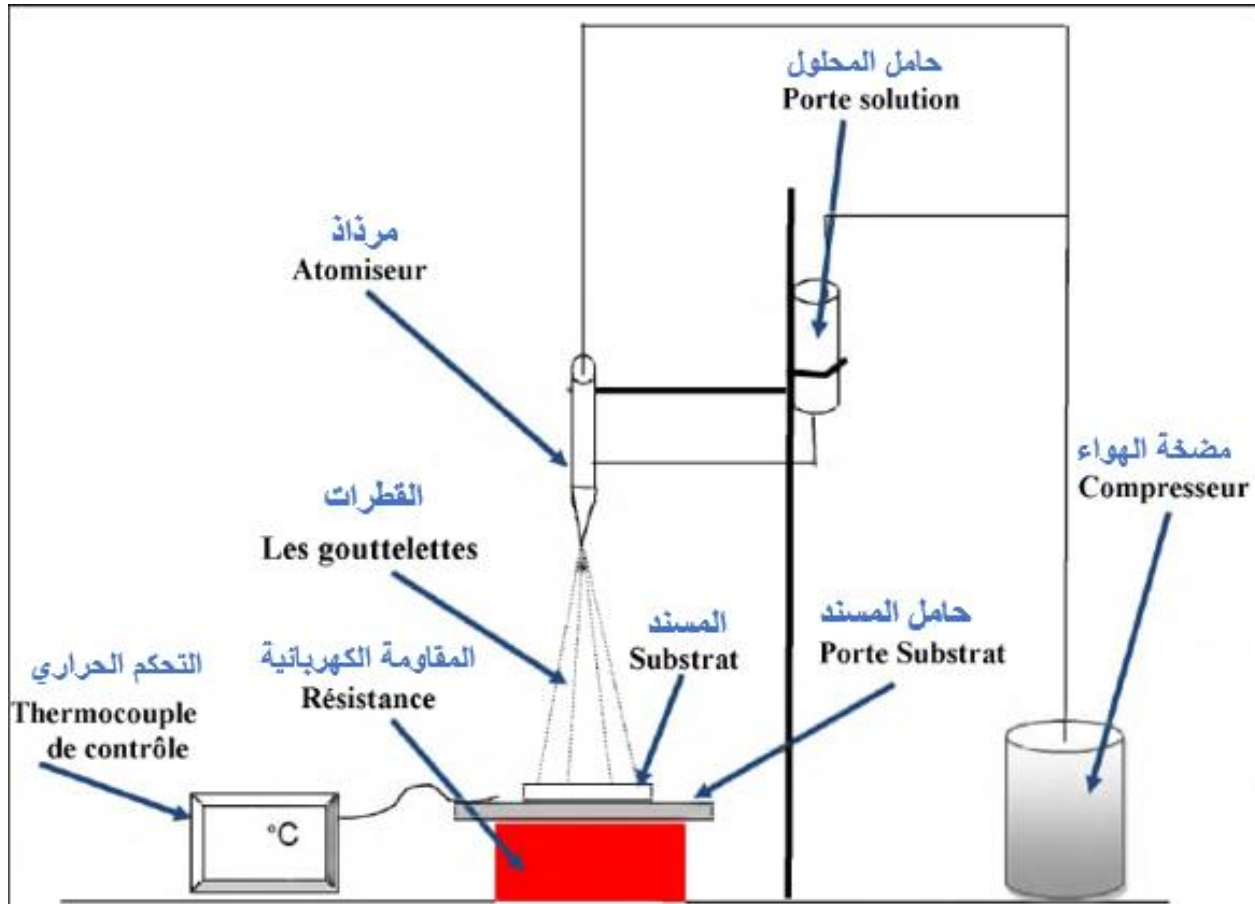
### تقنيات الترسيب وطرق التوصيف للطبقات الرقيقة

في هذه الطريقة يتم ترسيب محلول المادة المراد تحضير الطبقة منها على قواعد ساخنة وبدرجة حرارة معينة تعتمد على نوع المادة المستعملة، ومن خلال التفاعل الكيميائي الحراري بين ذرات المادة والقاعدة (المسند) الساخنة تكون الطبقة الرقيقة. إن الطبقات المحضرة بهذه الطريقة ذات موصفات جيدة تمكنا من استعمالها في تطبيقات الخلايا الشمسية والکواشف، فضلاً عن استعمالها في دراسة العديد من الصفات الفيزيائية، وكان أول من أستعمل هذه الطريقة الباحثان (Hottel and Hnger) وللذان حضرا طبقة من النحاس الأسود على مسند الألمنيوم عام (1959).

وتميز هذه الطريقة بالميزات الآتية:

- بساطة وقلة تكاليف الأجهزة المستعملة.
- يمكن استعمالها في الظروف الجوية الاعتيادية.
- يمكن تحضير طبقات رقيقة من مواد ذات درجات انصهار عالية.
- يمكن تحضير طبقات رقيقة من مواد ذات تجانس جيد وبمساحات كبيرة.
- تعتبر طريقة ملائمة لتحضير طبقات اکاسيد وكبريتات المواد [11].

### 1.1.5.1-II Chemical Spray Pyrolysis System



الشكل II-7: رسم تخطيطي يمثل منظومة الرش الكيميائي الحراري [12].

### 2.1.5.1-II أجزاء منظومة الرش الكيميائي الحراري

لأجل تسيير منسجم تتتألف منظومة الرش الكيميائي الحراري من عدة أجهزة متكاملة مع بعضها البعض للمنظومة بهدف تحضير طبقات رقيقة ذو جودة عالية وهي:

- جهاز الرش.
- حامل جهاز الرش.
- حامل المسند.
- السخان الكهربائي.

- المزدوج الحراري.

- مضخة الهواء [13].

وظائف عناصر التركب التجاري:

- جهاز الرش:** وبه يتم رش محلول على المسند.
- حامل المسند:** هو عبارة عن صفيحة مسخنة مقاومة كهربائية.
- خزان للمحلول:** يوجد فيه محلول المراد ترسيبه على المسند الزجاجية .
- الضاغط الهوائي:** تستخدم مضخة الهواء لدفع الهواء المضغوط داخل الأنبوة بحيث يخرج تيار هوائي بضغط معين يجعل محلول يخرج بشكل رذاذ ( قطرات ذات سمك صغير جدا).
- المزدوج الحراري:** يستخدم لقياس درجة حرارة المسند.

#### ✓ نظام التسخين

يتكون هذا النظام من لوح حديدي موضوع فوق مقاومة مدرجة في حوض من المعدن تكون درجة حرارتها متجانسة نسبيا وتقاس بواسطة المزدوج الحراري حيث يتم توزيع الحرارة على سطح المسند ويمكن التحكم في درجة الحرارة تكون ثابتة بين درجة حرارة الغرفة درجة حرارة المسند.

#### ✓ نظام الرش

يسمح هذا النظام بتحويل السائل إلى قطرات دقيقة جدا وله شكل مخروطي هذا الشكل يمسح اللوحة بشكل منتظم ويتألف من جزئين فوهة تسمح بتقريص محلول باستخدام حقنة وتدعيم الفوهة بتوصيل غاز. الفوهة في نظام الرش تقوم بتحويل وإسقاط محلول المكون من (سائل - غاز) على المسند حيث حول محلول السائل إلى رذاذ يمكن السيطرة على حجم القطيرات من خلال فتحة الفوهة.

✓ **المحلول:** وهو عبارة على المحاليل أو المواد المراد ترسيبها على المسند [14].

### 3.1.5.1-II مبدأ تقنية الرش الكيميائي الحراري

تقنية الانحلال الحراري بالرش تعتمد على استخدام محلول معدني يتم رشه بشكل رذاذ دقيق على سطح ساخن. يتم تسخين المسند بدرجة حرارة محددة، ثم يتم رش محلول المعدني على السطح الساخن باستخدام جهاز مرذاذ. تتفاعل قطرات محلول مع المسند الساخن لتكوين طبقة رقيقة بعد التحلل والتفاعل الكيميائي. يستخدم الرش في هذه العملية لتحقيق تفتيت دقيق للمحلول [15] ( قطرات دقيقة جدا بضع عشرات

الميكرومتر للقطرة الواحدة[16]) وتجيئه نحو المسند بدقة. يتم تنظيم درجة حرارة المسند ومعدل الرش بشكل دقيق للسيطرة على سمك الطبقة المكونة وخصائصها النهائية[15] .

#### **4.1.5-II العوامل المؤثرة في تحديد الطبقات المحضرية بطريقة الرش الكيميائي الحراري**

- درجة حرارة المسند:**

إن ارتفاع أو انخفاض درجة الحرارة المسند يؤثر بشكل كبير على طبيعة المادة الناتجة بعد التفاعل وبالتالي فإن هذا العامل يؤثر بشكل واضح على تجانس الطبقات المرسبة.

- المسافة بين فتحة الرش وحامل المسند:**

وهي المسافة بين جهاز الرش وحامل المسند، حيث أن زيادة المسافة يؤدي إلى تطاير رذاذ محلول، أما في حالة تقليل المسافة يؤدي إلى تجمع رذاذ محلول.

- معدل الرش:**

يمكن التحكم في معدل الرش من خلال الفتحة الموجودة في جهاز الرش إذ أن زيادة معدل الرش بشكل كبير يعمل على تشوّه الطبقة كما أن تقليل معدل الرش يمكننا من الحصول على طبقة متجانسة ولكن بصعوبة.

- زمن الترسيب:**

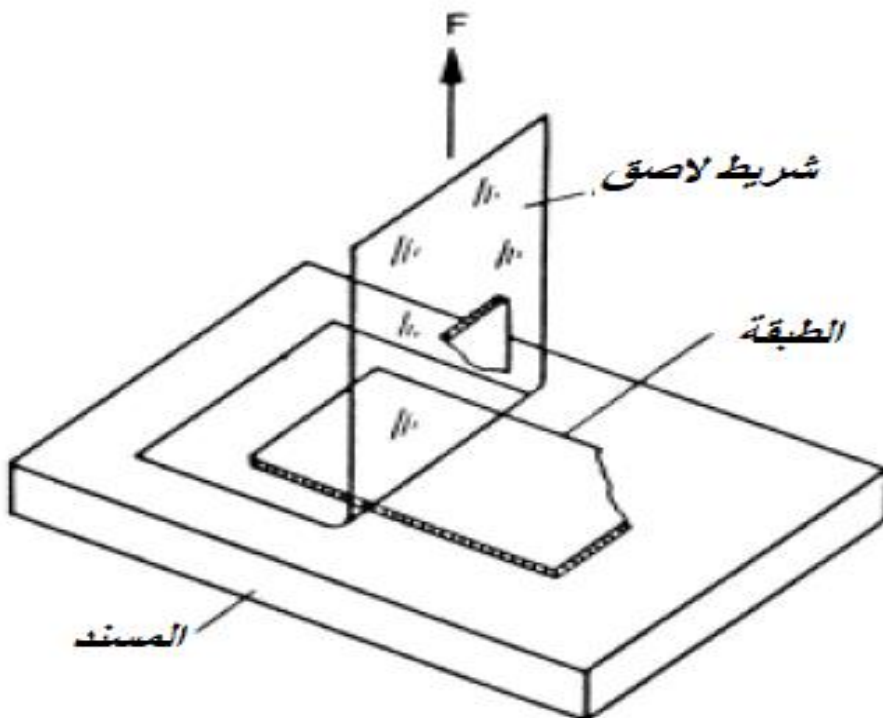
إن عملية رش محلول على المساند الزجاجية لا تتم دفعة واحدة وذلك تجنبًا لبرودتها بل نتركها لمدة دقيقة واحدة حتى يستعيد المسند درجة حرارته الأصلية، وذلك لتجنب الكسر ومن ثم نضمن حصول إنماء بلوري للمادة المرسبة.

- ضغط الهواء:**

إن الضغط المناسب يجعل محلول يخرج بشكل رذاذ حتى لا يتسبب في برودة المساند الزجاجية وبالتالي عدم الحصول على الطبقة المطلوبة [2].

**الجزء الثاني: طرق التوصيف****1.2-II اختبار الالتصاق**

قبل إجراء أي توصيف للطبقة المحضرة، يتم تقييم قوة الالتصاق بين الطبقة والمسند عن طريق تطبيق اختبار الشريط اللاصق على الطبقة المترسب. وبوجه عام، إذا التصقت الطبقة بالمسند ولم ينزع من المسند، فإن قوة الالتصاق تعتبر "جيدة" [17].



الشكل II-8: رسم تخطيطي لطريقة اختبار الشريط [18].

**2.2-II قياس سمك الطبقات الرقيقة [19]**

هناك العديد من الطرق لقياس سمك الطبقات الرقيقة من بينها الطريقة الوزنية عن طريق وزن المسند بميزان كهربائي حساس، حيث أن وزن المسند قبل ترسيب محلول عليها ( $m_1$ ) وبعد (m<sub>2</sub>) ويكون الفرق في الوزن هو ( $\Delta m$ ) وهو عبارة عن وزن المادة المرسبة على المسند. ويمكن حساب سمك الطبقة (d) حسب العلاقة التالية:

$$d = \frac{\Delta m}{\rho \cdot S} \quad (1-II)$$

$\rho$  : كثافة المادة المرسبة بوحدة  $\text{g/cm}^3$ .

$S$  : مساحة المسند  $\text{cm}^2$ .

### 3.2-II انراج الاشعة السينية (DRX)

تستخدم تقنية الأشعة السينية لمعرفة طبيعة التركيب البلوري والأطوار البلورية الرئيسية والاتجاه السائد للطبقات المحضرة عند ظروف معينة ودراسة الترتيب الذري لها [7].

تم اكتشاف الاشعة السينية من قبل العالم رونتجن سنة 1895م، إن الأشعة السينية هي موجات كهرومغناطيسية ذات أطوال موجية تقع بين الأشعة فوق البنفسجية وأشعة قاما، إذ أن أطوالها الموجية تتراوح بين  $(0.1 - 10) \text{ \AA}$ ، استخدمت هذه الأشعة في معرفة طبيعة التركيب البلوري والأطوار البلورية الرئيسية ، تطور العمل وازدادت الاتجاهات السائدة لطبقات المحضرة عند ظروف معينة ودراسة التركيب الذري لها طرق استخدام الأشعة السينية بشكل واسع وكبير في مجالات عده [20]. رغم الجهد المبذوله من طرف العالم رونتجن وغيره من العلماء في أوائل القرن التاسع عشر إلا أن الطبيعة الكهرومغناطيسية للأشعة السينية لم تعرف إلا بعد 1912 إذ اقترح فون لاو استخدام بلورة مفردة كمحزرة حيود (انراج ) للأشعة السينية وكان ذلك بعد أن تبين له بأن أبعاد البلورة المفردة لا تختلف كثيرا عن الطول الموجي المتوقع للأشعة السينية (في حدود الانجستروم ) وقام فريديريش ونبينج تحت إشراف لاو نفسه بتبسيط حزمة من الأشعة اكس على بلورة مفردة ثم اسقطت الأشعة بعد مرورها خلال البلورة على لوح تصوير وتم الحصول ولأول مرة على نموذج حيود مميز يتكون من مجموعة من النقاط المضيئة المترتبة بصورة منتظمة ويعرف بنموذج لاوي وقد تمكّن براج من تطوير وتبسيط هذه الطريقة فيما بعد [21].

#### ✓ قانون براج

وجد براج انه يمكن بيان موضع الحزم المحادة للأشعة السينية بواسطة البلورة بنموذج بسيط حيث يفترض أن الأشعة السينية تتعكس بانتظام من المستويات المختلفة للذرارات في البلورة ووجد أن الأشعة الحادة توجد فقط عند مواضع تتقابل عندها الأشعة المنعكسة عند المستويات المتوازية تداخلا بنائيا كما في (الشكل 9-II) [21].

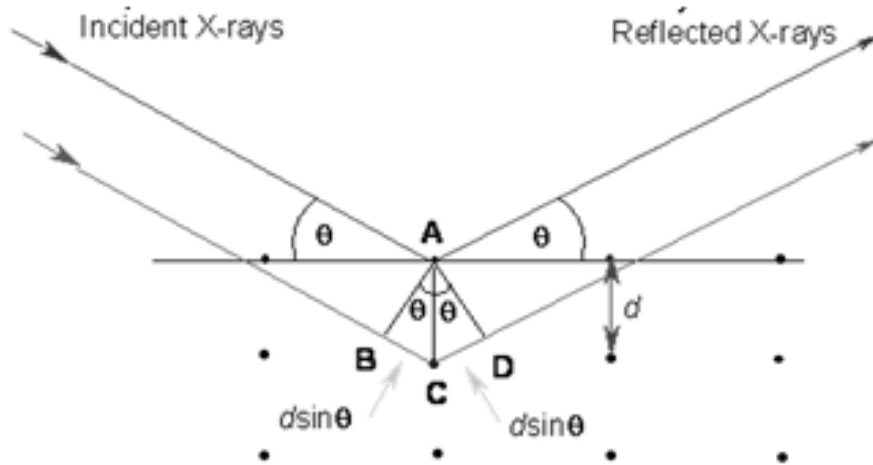
يعرف قانون براج بالعلاقة التالية:

$$n \lambda = 2d_{hkl} \sin\theta \quad (\text{II- 2})$$

$n$ : عدد صحيح يمثل رتبة الانعكاس.

$\lambda$  : الطول الموجي للأشعة الساقطة.

$\theta$  : زاوية سقوط الأشعة السينية أو زاوية برااغ.



الشكل II- 9: انعكاس برااغ في المستويات الذرية [21].

تعتمد معرفة العوامل البنوية الخاصة بأي مادة على طيف حبود الأشعة السينية ويعد أمراً مهماً في تفسير الكثير من الخصائص الفيزيائية للمادة، وفي حالة التركيب متعدد التبلور من نمط احادي ويكون حساب ثوابت الشبكة CuO الذي يمثل النمط السائد للتركيب البلوري (monoclinic) الميل باستعمال طيف الأشعة السينية باستعمال العلاقة التالية [4]:

$$\frac{1}{d^2_{hkl}} = \frac{h^2}{a^2 \sin^2 \beta} + \frac{k^2}{b^2} + \frac{l^2}{c^2 \sin^2 \beta} - \frac{2hl \cos \beta}{ac \sin^2 \beta} \quad (\text{II- 3})$$

### ✓ الخصائص البنوية

التوصيف باستعمال انعراج الأشعة السينية يسمح لنا بالحصول على العديد من المعلومات الخاصة بشكل ونوع البنية للمادة وهي كالتالي:

- أبعاد البلورة:

يتعلق بعد البلورة D للشريحة الرقيقة بالخواص البنوية والميكانيكية للمادة، ويعبر عنه باستخدام علاقة ديباي شيرر التالية [19].

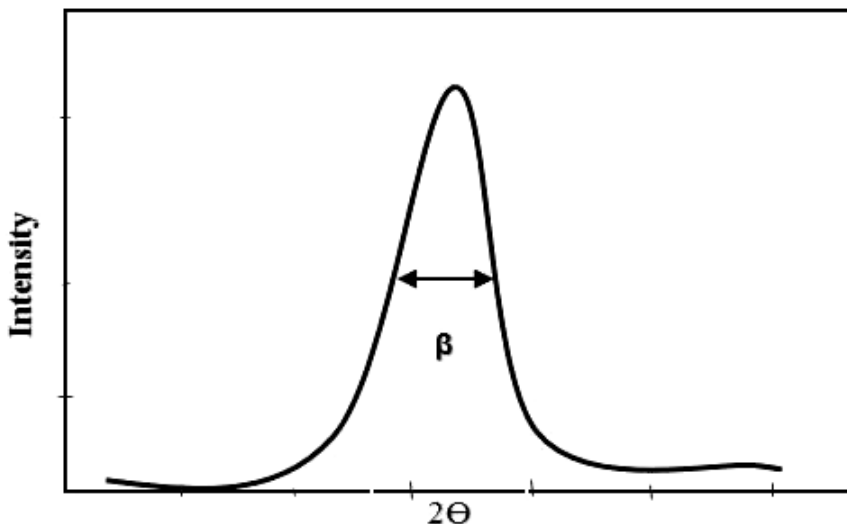
$$D = \frac{k\lambda}{\beta \cos \theta} \quad (\text{II- 4})$$

حيث:

$D$ : حجم البلورة (nm).

$\lambda$  : طول الموجي للشعاع.

$\beta$  : لعرض عند منتصف الارتفاع (FWHM) كما يوضح الشكل المقابل.



الشكل II-10: رسم بياني يمثل العرض عند منتصف الارتفاع [1] (FWHM).

$K$ : ثابت يتعلق بشكل البلورة يأخذ قيمة 0.9.

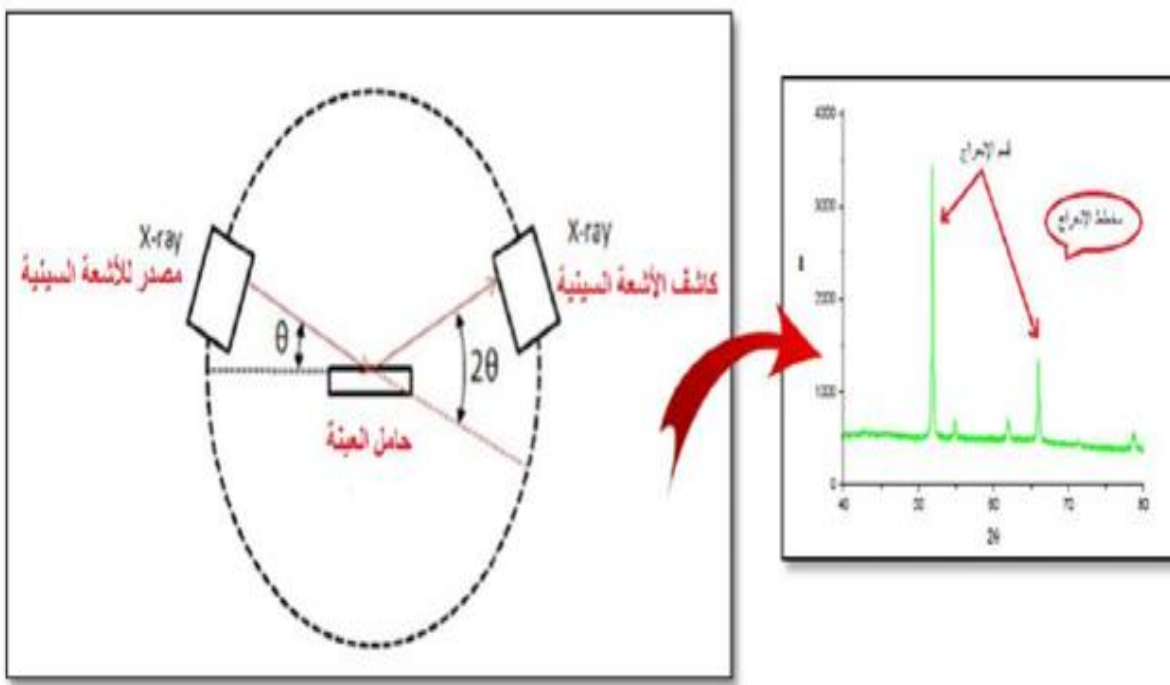
$\theta$  : زاوية الانعراج [1].

- كثافة الانخلاءات  $\delta$  باستخدام العلاقة التالية [22]:

$$\delta = \frac{1}{D^2} \quad (\text{II- 5})$$

- التشوه باستخدام العلاقة التالية [22]:

$$\epsilon = \frac{\beta \cos \theta}{4} \quad (\text{III- 6})$$

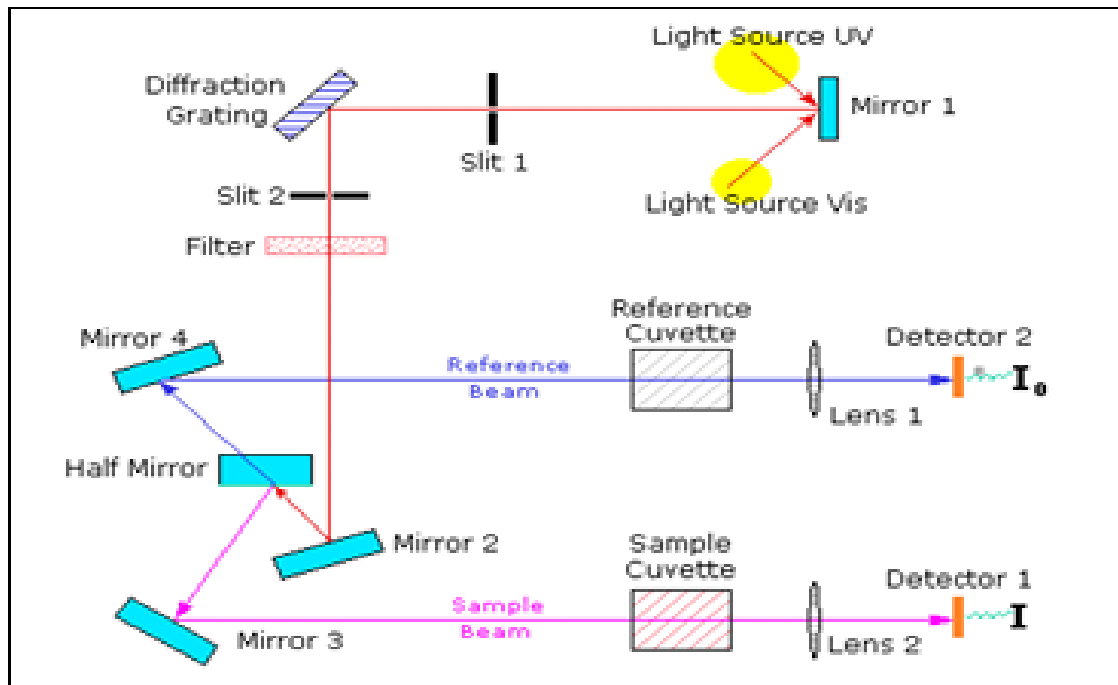


الشكل II-11: رسم تخطيطي يظهر انعراج الأشعة السينية (DRX) [23]

#### 4.2-II التحليل الطيفي بالأشعة فوق البنفسجية والمرئية UV-Vis

يتم تمييز مجالات التحليل الطيفي عموماً وفقاً لنطاق الطول الموجي الذي تُجرى فيه القياسات. وهي: الأشعة فوق البنفسجية المرئية، والأشعة تحت الحمراء، وال WAVES الموجات الدقيقة. في حالتنا، استخدمنا مقياس طيف تسجيلي مزدوج الشعاع، يظهر مبدأ تشغيله في الشكل، والذي تمكنا من خلاله من رسم منحنيات تمثل التباين في الإرسال كدالة للطول الموجي في نطاق الأشعة فوق البنفسجية المرئية والأشعة تحت الحمراء القريبة (200-800 نانومتر). باستخدام هذه المنحنيات. من الممكن تقدير سمك الطبقة وتحديد خصائصه الضوئية: عتبة الامتصاص الضوئي، ومعامل الامتصاص، وعرض نطاق التكافؤ ومعامل الانكسار.

يوضح الشكل مبدأ عمل المطياف المستخدم ضمن هاته المطيافية أين يتم توجيه طول موجة الإشعاع الصادر من منبع الضوء UV-Vis، ثم ينقسم إلى حزمتين عبر مرآة العاكسة فتوجه احدهما للعينة، أما الثانية تمر عبر المرجع الحامل للعينة ليستقبل بعدها لاقط الحزمتين النافذتين، كدالة لطول موجة الشعاع الابتدائي عبر برنامج حاسوبي [22].



الشكل II-12: رسم تخطيطي لقياس الطيف الضوئي UV-Visible [22].

### ✓ الخصائص الضوئية

- أطیاف النفاذية T

يُعرَّف معامل الإرسال، أو معامل النفاذية  $T$ ، بأنه نسبة شدة الضوء المرسل إلى شدة الضوء الساقط [22] وفقاً للمعادلة التالية:

$$T = (1 - R)e^{-\alpha d} \quad (\text{II- 7})$$

حيث  $\alpha$  هو معامل الامتصاص المرتبط بالطول الموجي.

$R$  هو الانعكاس و  $d$  هو سماكة الطبقة [22].

- أطیاف الامتصاصية A[7]

يعبر عن النسبة بين شدة الشعاع الضوئي الممتص من طرف المادة وشدة الشعاع الضوئي الوارد.

$$A = \frac{I_A}{I_0} \quad (\text{II- 8})$$

و

$$A\% = A \cdot 100 \quad (\text{II- 9})$$

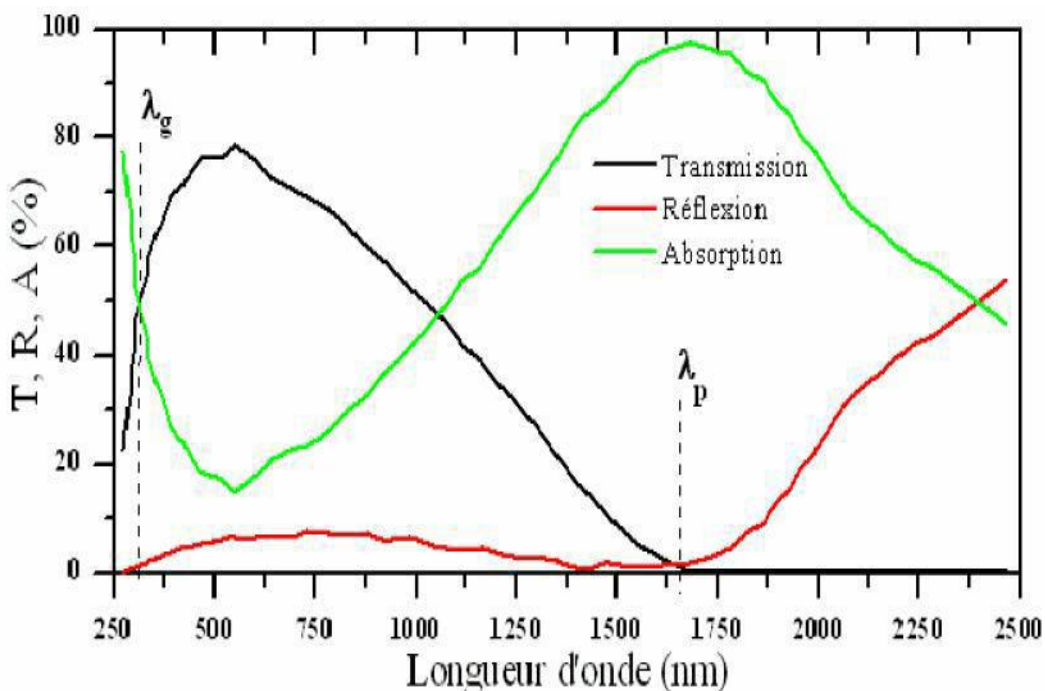
• **أطياف الانعكاسية R :**

إن انعكاسية المادة هي شدة الضوء المنعكس على سطحها الذي يعمل بالأشعة تحت الحمراء بالنسبة لشدة الضوء الساقط عليها [12].

$$R = \frac{I_R}{I_0} \quad (\text{II- 10})$$

و

$$R(\%) = R \cdot 100 \quad (\text{II- 11})$$



الشكل II-13: طيف النفاذية و الانعكاس والامتصاص لأكسيد ناقل شفاف [7].

تتمركز النافذة الضوئية بين طولين موجيين مميزين حيث لا ينتقل الضوء، مع حدوث ظاهرة مختلفة في كل منطقة. عند الأطوال الموجية القصيرة في نطاق الأشعة فوق البنفسجية القريبة ( $\lambda < \lambda_g$ )، يهيمن على الامتصاص الانتقال من نطاق إلى نطاق. فالفوتونات الساقطة التي لها طاقة تساوي طاقة الفجوة أو أكبر منها

ستمتصها الإلكترونات في نطاق التكافؤ، مما يسمح لها بالانتقال إلى نطاق التوصيل. وعند الأطوال الموجية العالية في نطاق الأشعة تحت الحمراء القريبة ( $\lambda > \lambda_p$ ). ينعكس الضوء الساقط على المادة. يمكن وصف هذه الظاهرة بنظرية الإلكترون الحر الكلاسيكية لدرود.

في نموذج الإلكترون الحر، يمكن النظر إلى الإلكترونات على أنها بلازما تتحرك فيها الإلكترونات بواسطة المكون الكهربائي للمجال الكهرومغناطيسي الساقط. تتارجح البلازما عند تردد رنين طبيعي  $\omega_p$  بناظر الطول الموجي [24].

#### • معامل الامتصاص $\alpha$ : Absorption Coefficient

يمكننا تقدير معامل الامتصاص ( $\alpha$ ) بالاعتماد على الطيف الضوئي الممتص وسمك الطبقة. هذا يتم عبر تحديد قيمة معامل الامتصاص لكل قيمة من قيم النفاذية ( $T\% = T$ ). باستخدام علاقة-Bouguer أو ما يطلق عليه ببساطة قانون Lambert-Beer

$$T = e^{-\alpha d} \quad (\text{II- 12})$$

$$\alpha (\text{cm}^{-1}) = \frac{1}{d} \ln\left(\frac{1-R}{T}\right) \quad (\text{II- 13})$$

باستخدام علاقة تقريبية تنشأ بإهمال الانعكاسات على جميع الواجهات ؛ مثل الهواء/المسند، والهواء/الطبقة [25, 26].

#### • معامل الخmod(k) : Extinction Coefficient

يعتبر معامل الخmod الجزء الخيالي لمعامل الانكسار المركب ، وهو الانحلال الأسبي يمكن حساب معامل الخmod من المعادلة [25]:

$$K = \frac{\alpha \lambda}{4\pi} \quad (\text{II- 14})$$

#### • ثابت العزل الكهربائي $\epsilon$ : Dielectric Constant

دراسة خصائص العازل للمواد ضرورية لتقنيات الأجهزة الإلكترونية المختلفة، حيث ترتبط هذه الخصائص بقدرة هذه المواد على عرقلة انتقال الإلكترونات عند تأثيرها بحقل كهربائي خارجي. يتم تعريف ثابت العازل المركب بواسطة المعادلة:

$$\epsilon = \epsilon_r - i\epsilon_i \quad (\text{II- 15})$$

يمكن إيجاد قيمة الأجزاء الحقيقية  $\epsilon_r$  والتخيلية  $\epsilon_i$  لثوبت العزل الكهربائي من قيمتي  $k$  و  $n$  باستخدام المعادلتين:

$$\epsilon_r = n^2 - k^2 \quad (\text{II- 16})$$

$$\epsilon_i = 2nk \quad (\text{II- 17})$$

- عرض النطاق الممنوع (الفجوة الضوئية)  $Eg$ :

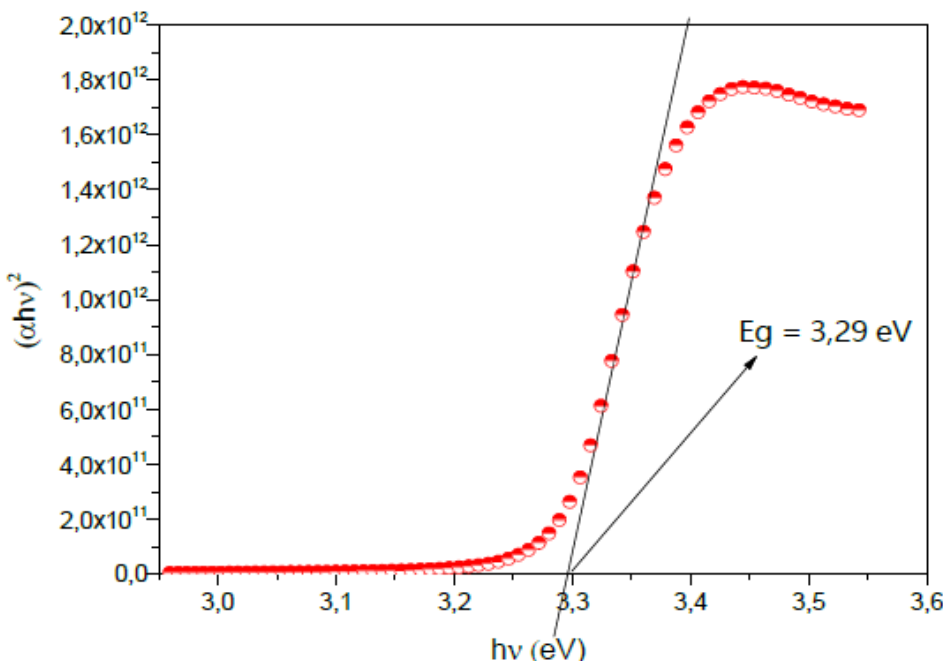
في مجال الامتصاص العالي، تتوافق قيمة الفجوة  $Eg$  مع التحولات المباشرة داخل المواد المتبلورة [12].

يتم حساب عرض النطاق الممنوع الضوئي للطبقة الرقيقة بالمعادلة التالية:

$$(\alpha h\nu)^2 = A(h\nu - Eg) \quad (\text{II- 18})$$

حيث (A) هو ثابت مستقل عن طاقة الفوتون ( $h\nu$ )، و( $h$ ) ثابت بلانك و( $Eg$ ) فجوة نطاق الطاقة نصف الناقل. يمكن إيجاد قيمة فجوة الحزمة الضوئية عن طريق الاستقراء الاستقرائي لمنطقة الخطية إلى

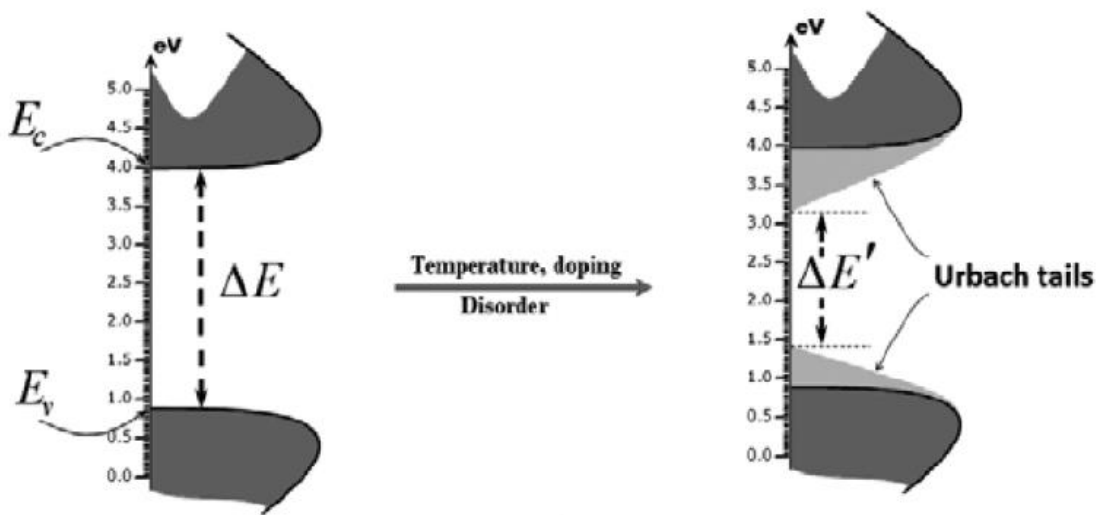
.14-II [27] (انظر الشكل II-14)  $((\alpha h\nu)^2 = 0)$



الشكل II-14: يمثل الدالة  $f(h\nu) = (\alpha h\nu)^2$  منحي [28]

• طاقة أورباخ :Urbach

عندما توجد في مادة ما اختلافات في المسافات بين الذرات أو أطوال الروابط أو الزوايا، يحدث ما يسمى العشوائية البنوية. في هذه الحالة، يمكن أن تخفي حافة النطاقات الموصوفة في حالة الشبكات البلورية والمحددة بواسطة  $E_v$  و  $E_c$ . نلاحظ ما يسمى بالحالات الموضعية التي تتشكل في ذيول النطاقات عند حدود النطاق المنوع في نطاقات التكافؤ والتوصيل، بالنسبة للطاقة الأكبر من  $E_c$  وأقل من  $E_v$ ، توجد حالات متعددة [28].



الشكل II-15: نظام ذيل أورباخ [28].

تعتبر طاقة أورباخ أحد الثوابت الرئيسية التي تميز الخصائص الضوئية لطبقة الرقيقة، ووفقاً لقانونها، يُعبر عن العلاقة التي تربط بين طاقة أورباخ ومعامل الامتصاص بالصيغة التالية [29]:

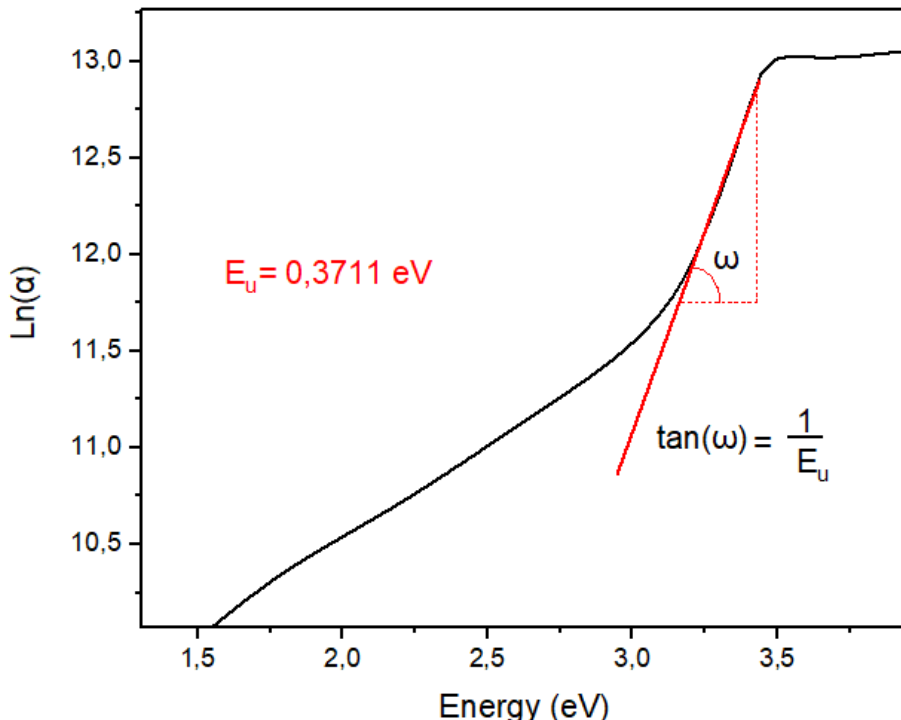
$$\alpha = \alpha_0 \text{Exp} \left( \frac{hv}{E_u} \right) \quad (\text{II- 19})$$

يمكن أيضاً التعبير عن طاقة أورباخ بناءً على معامل الامتصاص من خلال العلاقة التالية [29] :

$$\ln \alpha = \ln \alpha_0 + \left( \frac{hv}{E_u} \right) \quad (\text{II- 20})$$

يمكن حساب الطاقة من خلالأخذ مقلوب الميل داخل نطاق الطاقة الأقل من حلقة الامتصاص [29] :

$$E_u = \left( \frac{Ln\alpha}{hv} \right)^{-1} \quad (\text{II- 21})$$



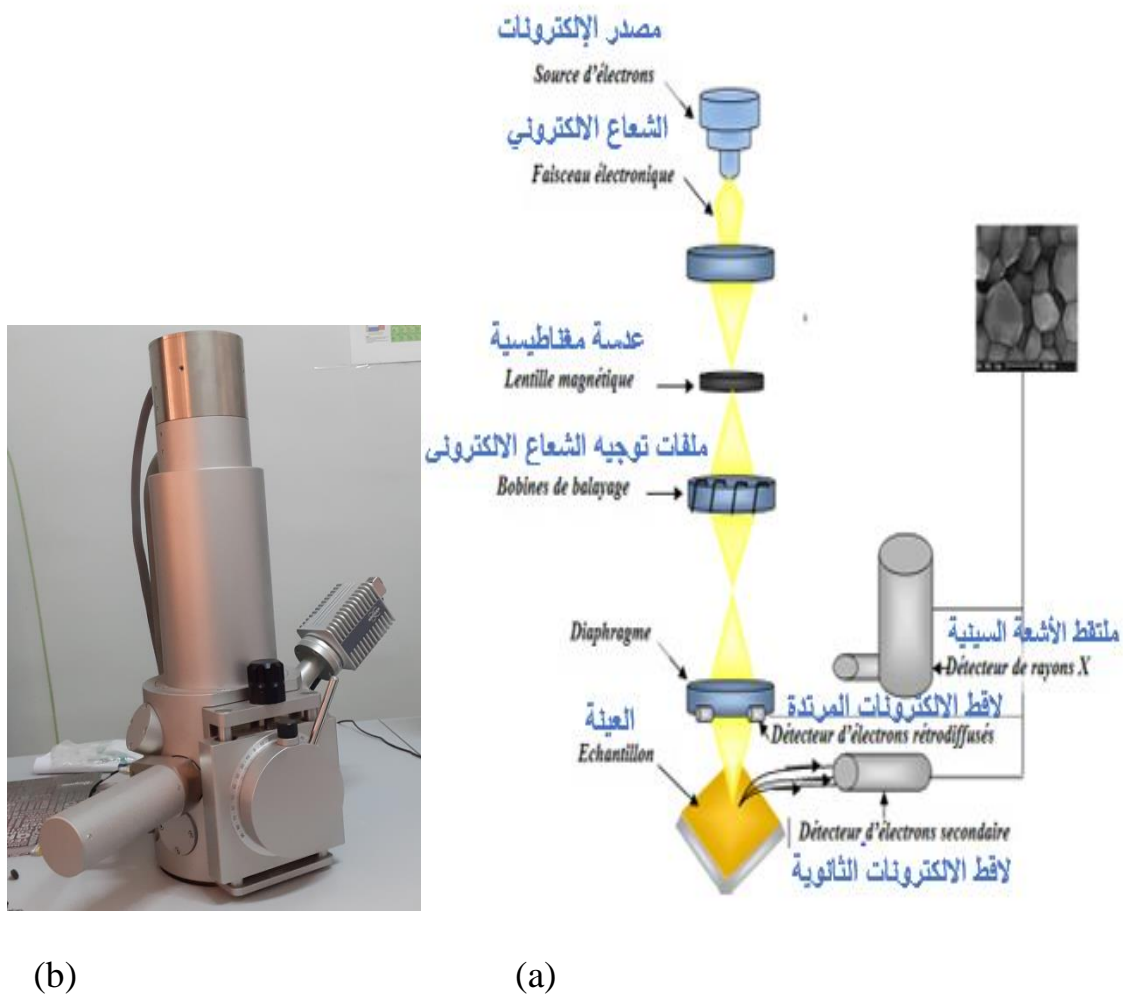
الشكل II- 16: تحديد طاقة أورباخ [29].

#### 4.2-II الماسح الإلكتروني الضوئي (SEM)

تعتمد تقنية المجهر الإلكتروني الماسح على تفاعل شعاع إلكتروني ساقط أحادي السقوط تبلغ قوته بضعة كيلوفولت مع المادة المراد تحليلها.

يتم إنتاج شعاع الإلكترون في الجزء العلوي من الجهاز باستخدام مسدس إلكترون. يوضع هذا المسدس في عمود محفوظ تحت التفريغ ويتم الحصول على الإلكترونات عن طريق تسخين قتيل.

ويؤدي التفاعل بين الإلكترونات والعينة إلى انبعاث إلكترونات ثانوية (يوفر اكتشافها، إلى جانب جهاز المسح الضوئي، معلومات عن التشكل السطحي للعينة التي يجري تحليلها)، وإلكترونات التدفق الخلفي، وإلكترونات Auger أو جيه وفوتونات الضوء وفوتونات الأشعة السينية وهي ما يعرف بالتحليل الطيفي للطاقة المشتتة Energy Dispersive Spectroscopy(EDS)[30]



الشكل II-17 (a) مخطط وصفي للمجهر الإلكتروني الماسح الضوئي[31] ، الشكل II-18 : (b) صورة لجهاز EDS[23] و تقنية (SEM).

## مراجع الفصل الثاني

- [1] غ. بسمة، "تأثير عدد الطبقات على خصائص الشرائح الرقيقة لاكسيد الزركونيوم ( $ZrO_2$ ) المحضرة بتقنية سائل - هلام (طلاء بالدوران)، مذكرة ماستر اكاديمي"، جامعة محمد خضر بسكرة، 2022.
- [2] تامة دلال، "تحضير دراسة الخصائص الفيزيائية لأغشية كبريتيد النيكل (NiS) المرسبة بطريقة التحلل الكيميائي الحراري" ، مذكرة ماستر اكاديمي، جامعة الشهيد حمة لخضر بالوادي، 2019.
- [3] مدخل عبد العالي، "ترسيب الأغشية الرقيقة لاكسيد النحاس (Cu<sub>x</sub>O<sub>y</sub>) المحضرة بطريقة الترنيذ البلازمي المغناطيسي المستمر، مذكرة ماستر اكاديمي ،" جامعة الشهيد حمة لخضر بالوادي، 2019.
- [4] ع. أحلام، "تحضير دراسة أفلام رقيقة لاكسيد النحاس النقي (CuO) و المطعم بالسترونتيوم (Sr)" ، مذكرة ماستر اكاديمي ،جامعة حيجل، 2022.
- [5] فيحان وداد حمود، "الأغشية الرقيقة" ، جامعة بابل، 2023.
- [6] ب. دنيا،منية ، "تأثير مذيبات مختلفة على الخصائص الضوئية لشرائح رقيقة لاكسيد الزنك المحضرة بطريقة الرش مع الإنحلال الحراري" ، مذكرة ماستر اكاديمي ،جامعة العربي التبسي - تبسة، 2020.
- [7] ق. إيمان، "تحضير و توصيف أغشية أكسيد الزنك الرقيقة النقي و المطعمة بالحديد بتقنية الرش بالإنحلال الحراري وأغشية أكسيد الزنك النانوية بالطريقة الكيميائية" ،"مذكرة ماستر اكاديمي، جامعة محمد خضر - بسكرة، 2021.
- [8] K. ZAOUI ,C. Chahra, "Effet de la nature de solvant sur les propriétés d'électrodépôts de l'alliage Co-Ni Préparé," mémoire de master, Université Mohamed El Bachir Elibrahimi – Bordj, 2018.
- [9] ز. إيمان، "دراسة الخصائص البنوية و الضوئية للأفلام الرقيقة ل  $TiO_2$  المحضرة بطريقة ال Sol- Gel " ، مذكرة ماستر اكاديمي ،جامعة قاصدي مرداح ورقلة، 2016.
- [10] G. Souhir, "Elaboration des couches minces semi-conductrices pour des applications optoélectronique," mémoire de master, Université Kasdi Merbah Ouargla Faculté, 2021.
- [11] م. ح. عبد الله،ص. ج .حسن،م.ح.سهيل، "الخواص البصرية لمنظومة (Pb<sub>1-x</sub>Sn<sub>x</sub>) المحضرة بطريقة الترسيب الحراري" .
- [12] Allag Abdekkrim, "Optimisation des conditions d'élaboration des couches minces d'oxyde d'étain SnO<sub>2</sub> par spray," thèse doctorat, Université Mohamed Khider - Biskra, 2016.
- [13] M. BOUDIAF, "Elaboration et caractérisation des couches minces conductrices et transparentes pour les cellules solaire de type TCO / ZnS / CIS," mémoire de Magister ،Université des Sciences et de la Technologie d'Oran « Mohamed BOUDIAF », 2011.
- [14] س. عويشات، "دراسة تأثير المذيبات على الخصائص الفيزيائية للطبقات الرقيقة لاكسيد الزنك(ZnO)" ،"مذكرة ماستر،جامعة قاصدي مرداح -ورقلة، 2020.
- [15] H. MOUALKIA, "Elaboration et Caractérisation de Couches Minces de Sulfure de Cadmium ( CdS ) Remerciements," thèse doctorat, UNIVERSITE MENTOURI - CONSTANTINE, 2010.
- [16] ا. مريم، "دراسة تأثير زمن ترسيب الطبقات الرقيقة لاكسيد النيكل (NiO) على الخصائص الفيزيائية" ،" مذكرة ماستر،جامعة قاصدي مرداح -ورقلة، 2017.

- [17] A.GHERBI, N .MESTAFAOUI, "Study Of The Mechanical Properties of Cu Thin Films Deposited on SnO<sub>2</sub>," mémoire de master ,University Echahid Hamma Lakhdar of EL-OUED, 2021.
- [18] T. Abdelaziz, "Optimisation des conditions d'élaboration (température de substrat et distance bec-substrat) des films minces de ZnO par spray," mémoire de Magistère, UNIVERSITE MOHAMED KHIDER BISKRA, 2013.
- [19] R. Saâd, "Elaboration et caractérisation de couches minces par spray pyrolyse et pulvérisation magnétron," thèse doctorat, Université Mohamed Kheider - Biskra, 2008.
- ص.ب. جهينة ، ل. صفاء، "دراسة الخصائص التركيبية و البصرية لأغشية أكسيد النيكل (NiO) المطعمة بالنحاس (Cu)" ، "مذكرة ماستر ،جامعة الشهيد حمزة لخضر ، 2018.
- ع. أ. الخير، "دراسة التفاعل بين طبقات رقيقة من معدن انتقالي مرتبة على مساند فولاذية بانبعاث الأشعة السينية،" مذكرة ماستر،جامعة قاصدي مرابح ورقلة، 2015.
- [22] B. Youcef, "Elaboration and characterization of thin layers of zinc oxide (ZnO) deposited by ultrasonic spray for photovoltaic and optoelectronic applications," thèse doctorat, University Mohamed Khider of Biskra, 2019.
- [23] M. MAHMOUDI, "Détermination spectroscopique des grandeurs Optoélectroniques du SnO<sub>2</sub> codopé élaboré par spray pyrolysis à nozzle mouvant," thèse doctorat, Université Kasdi Merbah Ouarda, 2021.
- [24] J. Garnier, "ELABORATION DE COUCHES MINCES D'OXYDES TRANSPARENTS ET CONDUCTEURS PAR SPRAY CVD ASSISTÉ PAR RADIATION INFRAROUGE POUR APPLICATIONS PHOTOVOLTAÏQUES," thèse doctorat, l'École Nationale Supérieure d'Arts et Métiers, 2010.
- [25] Y. A. Memdouh, "Elaboration Et Caractérisation des Couches Minces CuInSe<sub>2</sub>par Electrodeposition (Effet De Recuit)," mémoire de Magistère, Université ZIANE ACHOUR-DJELFA, 2015.
- [26] O. Ben Messaoud, A.Oahab,S.Rahmane, "Optoelectronic and Dielectric Properties of Tenorite CuO Thin Films Sprayed at Various Molar Concentrations," vol. 68, no. 1, pp. 93–105, 2024.
- [27] B. Youcef, "L'effet du débit de la solution sur les propriétés des couches minces d'oxyde de zinc (ZnO) déposées par spray ultrasonique," mémoire de master ,Université Med Khider Biskra, 2013.
- [28] K. Yousra, "Dependence of Zinc Oxide ( ZnO ) Thin Films Properties Elaborated By SILAR on the Number of Cycles," mémoire de master, Mohamed Khider University of Biskra, 2023.
- ف. ا. منال، "تحضير ودراسة تأثير تعليم أكسيد القصدير (SnO<sub>2</sub>) على بعض الخصائص الفيزيائية،" مذكرة ماستر،جامعة محمد خيضر بسكرة، 2023.
- [30] N. BOUHSSIRA, "ELABORATION DES FILMS MINCES D'OXYDE DE ZINC PAR EVAPORATION ET PAR PULVERISATION MAGNETRON ET ETUDE DE LEURS PROPRIETES," thèse doctorat ,UNIVERSITE CONSTANTINE 1, 2013.

- [31] Z. Kheira, “Élaboration et caractérisation des couches minces de ZnO et de ZnO-CuO par la technique sol-gel Présenté,” mémoire de master, Université Saad Dahlab - Blida 1, 2021.

الفصل الثالث

## النتائج و المناقشة

---

**1-III تمهيد**

يتضمن هذا الفصل الاخير خطوات العمل التجاربي لتحضير طبقات أكسيد النحاس المترسبة على طبقة أكسيد القصدير المحضرة بقنية الرش بالانحلال الحراري وأهم العوامل المؤثرة في تحضيرها ،ابتداء من طريقة قياس سمك الطبقات المحضرة إضافة إلى عرض نتائج المعاينة وتحليل الخصائص التركيبية والضوئية لطبقات الأكسيد ، ومن التقنيات المستخدمة في توصيف نتائج هذا العمل هي انعراج الاشعة السينية (DRX) و التحليل الطيفي بالأشعة فوق البنفسجية والمرئية UV-Vis وكذلك المجهر الإلكتروني الماسح (SEM) التي من خلالها يتم التوصل إلى الخصائص البنوية والضوئية والالكترونية للطبقات الرقيقة المحضرة.

**2-III الخطوات التجاربية المتبعة****1.2-III تحضير المساند**

يُحث على الانتهاء إلى ضرورة تنظيف المساند بعناية والعمل ضمن بيئة معقمة عند تجهيز طبقات رقيقة عليها. بالإضافة إلى ذلك، يتعين اختيار نوعية المسند بعناية، حيث يمكن أن يؤثر هذا الاختيار على نجاح عملية ترسيب المحلول بشكل فعال للحصول على طبقات رقيقة ومتجانسة. حيث اعتمدنا في بحثنا هذا على مساند زجاجية مطلية بطبقة رقيقة من أكسيد القصدير  $\text{SnO}_2$  ذات الابعاد  $1.5\text{cm} \times 2.5\text{cm} \times 1\text{mm}$  حيث تم تنظيف المسند للتخلص من الشوائب لضمان التصاق وخواص جيدة للطبقة المحضرة.

يتم وضع المسند لمدة 10 دقائق في وعاء يحتوي على الأسيتون ثم تشطف بالماء المقطر ثم تجف.



الشكل III-1: الخطوات المستخدمة لتنظيف المسند.

## 2.2-III تحضير المحلول ومراحل التجربة

### ○ المركب الكيميائي المستخدم

المادة الأولية الجزيئية المستخدمة في هذه الدراسة هي كلوريد النحاس المميه (Copper chloride II) وهو مركب كيميائي صلب ذو الصيغة التالية ( $\text{CuCl}_2 \cdot 2\text{H}_2\text{O}$ ) والذى يستخدم لتحضير المحلول من أجل الحصول على ايونات النحاس.  
الماء المقطر.

### ○ طريقة التحضير

تحسب الكتلة المستخدمة في تحضير المحلول باستخدام العلاقة الآتية :

$$m = M \cdot C \cdot V \quad (\text{III-1})$$

حيث

M: الكتلة المولية

C: تركيز المحلول

V: حجم المحلول المراد تحضيره

يتم تحضير المحلول وذلك بإذابة كتلة قدرها  $m=0.8524\text{ g}$  من كلوريد النحاس ( $\text{CuCl}_2+2\text{H}_2\text{O}$ ) الكتلة المولية لها تقدر بـ  $M_{\text{CuCl}_2} = 170.48\text{ g/mol}$  في حجم  $v=100\text{ ml}$  من الماء المقطر. بعد وضع الكتلة مباشرةً نلاحظ ظهور اللون الأزرق الداكن على شوارد النحاس ومن ثم يوضع المحلول فوق الخلط الكهرومغناطيسي لمزج المحلول لمدة 30 دقيقة مع تسخين في درجة حرارة  $60^\circ\text{C}$  بعدها يستخدم للترسيب الشكل المقابل يوضح عملية التحضير.



الشكل III-2: عملية تحضير المحلول.

### 3.2-III ترسيب الطبقات الرقيقة

تم ترسيب العينات في مخبر الشرائح الرقيقة بجامعة محمد خضر باستخدام جهاز الترسيب الموصوف في الفقرة 1.5.1-II، الموضح في الشكل وذلك بضبط الشروط التجريبية التالية:

- التركيز  $0.05\text{ mol/l}$ .
- ضغط الغاز  $0.02\text{ bar}$ .
- زمن الترسيب  $(10, 15, 20)$  دقائق.
- تدفق المحلول  $3\text{ ml/min}$ .
- المسافة العمودية  $30\text{ cm}$ .
- درجة حرارة المسند  $350^\circ\text{C}$ .

تم تحضير العينات بإتباع الخطوات التالية:

نضع المساند على المدخن الكهربائي عند درجة حرارة الغرفة لضمان عدم تشغق المسند ثم تسخن إلى غاية  $350^{\circ}\text{C}$  بينما نضع محلول المحضر في الخزان. نقوم بتشغيل الضاغط الهوائي ليتم رش المسند نلاحظ بمجرد تلامس قطرات مع المسند الساخن يتم تشكيل أكسيد النحاس  $\text{CuO}$  وفقاً للمعادلة التالية [1]:



في كل تجربة بعد الانتهاء من عملية الرش حسب الزمن المعين، نطفأ المدخن وتترك المساند حتى تصل درجة حرارة الغرفة. تم الحصول على طبقات رقيقة متجانسة ومتقاربة في درجة اللون الأسود حسب زمن الترسيب.

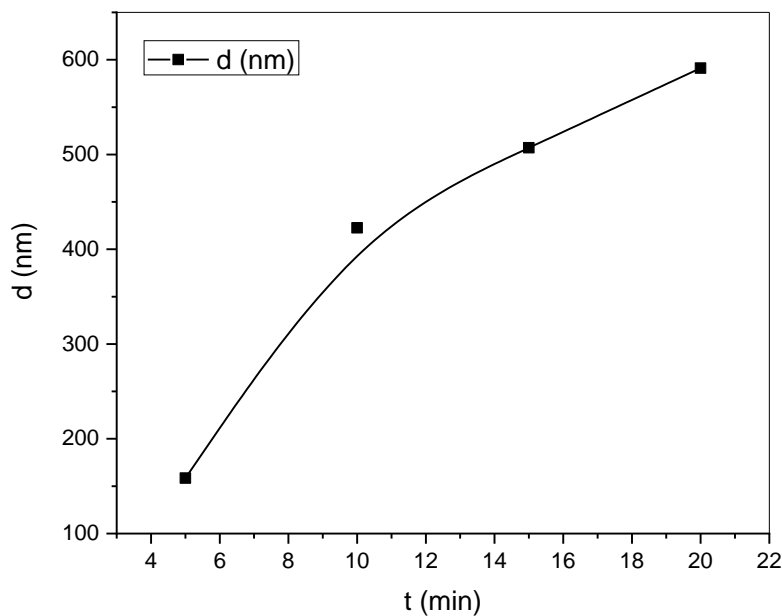
### III-3 قياس سمك الطبقات الرقيقة المحضرة

#### ○ طريقة الوزن:

تحديد الخواص الفيزيائية للطبقة يعتمد بشكل كبير على سمك الطبقة الرقيقة، وهناك طرق متنوعة لقياس سمك الشرائح الرقيقة، وفي هذا البحث تم استخدام الطريقة الوزنية لقياس سمك الطبقات الزجاجية باستخدام ميزان إلكتروني حساس حيث يتم وزن المسند (قاعدة زجاجية + طبقة رقيقة من أكسيد القصدير  $\text{SnO}_2$ ) ويكون وزن المسند قبل الترسيب  $m_1$  وزنهما بعد الترسيب  $m_2$ . يتم حساب فرق الوزن  $\Delta m$  وهو ما يعتبر وزن الطبقة المترسبة على المسند وبالتالي يتم حساب سمك الطبقة  $d$  المحضرة بالعلاقة (I-II) قيم السمك للطبقات الرقيقة المحضرة مدرجة في الجدول التالي:

**الجدول III-1:** تطور السمك بدالة الزمن لطبقات الرقيقة على طبقة من  $\text{CuO}$  المرسيبة من  $\text{SnO}_2$  لازمنة رش مختلفة.

زمن الترسيب(min)	السمك (nm)	20	15	10	5
	591.165	507.132	422.61	158.479	



الشكل III-3: منحنى بياني يمثل تغير سمك طبقات أكسيد النحاس بدلالة الزمن.

من خلال الجدول والمنحنى البياني نلاحظ أن قيم سمك الطبقات المحضره لأكسيد النحاس يزداد مع زيادة الزمن، من 158.5 نانومتر بالنسبة للعينة المحضره لمدة 5 دقائق إلى 591.2 نانومتر بالنسبة للعينة المحضره لمدة 20 دقيقة، وهذا راجع إلى زيادة حجم محلول المادة المتربطة فوق المسند. بلغت سرعة النمو في الظروف الموصوفة أعلاه حوالي  $35 \text{ nm/min}$ .

#### 4-III الخواص البنوية

لدراسة الخصائص البنوية للطبقات الرقيقة استخدمنا جهاز انعراج الأشعة السينية في مخبر الشرائح الرقيقة (DRX) من النوع Rigaku Mini Flex، الأشعة X المستخدمة في هذا الجهاز تم توليدها انتلاقاً من مصدر الاشعاع  $\text{CuK}\alpha$  ذات الطول الموجي  $(\lambda = 1.5406 \text{ \AA})$ .

#### 1.4-III التحليل بواسطة انعراج الأشعة السينية DRX

تم تحديد الخصائص البنوية لطبقات أكسيد النحاس الرقيقة  $\text{CuO}$  المرسبة على طبقة من أكسيد القصدير  $\text{SnO}_2$  لأزمنة رش مختلفة (5، 10، 15، 20) دقيقة. كما هو موضح في الشكل III-4. نلاحظ

وجود قم الانعراج عند  $\theta = 38.687^\circ, 35.50^\circ, 38.687^\circ$  والتي تقابل المستويات البلورية التالية  $(111), (-111), (111)$  على التوالي.

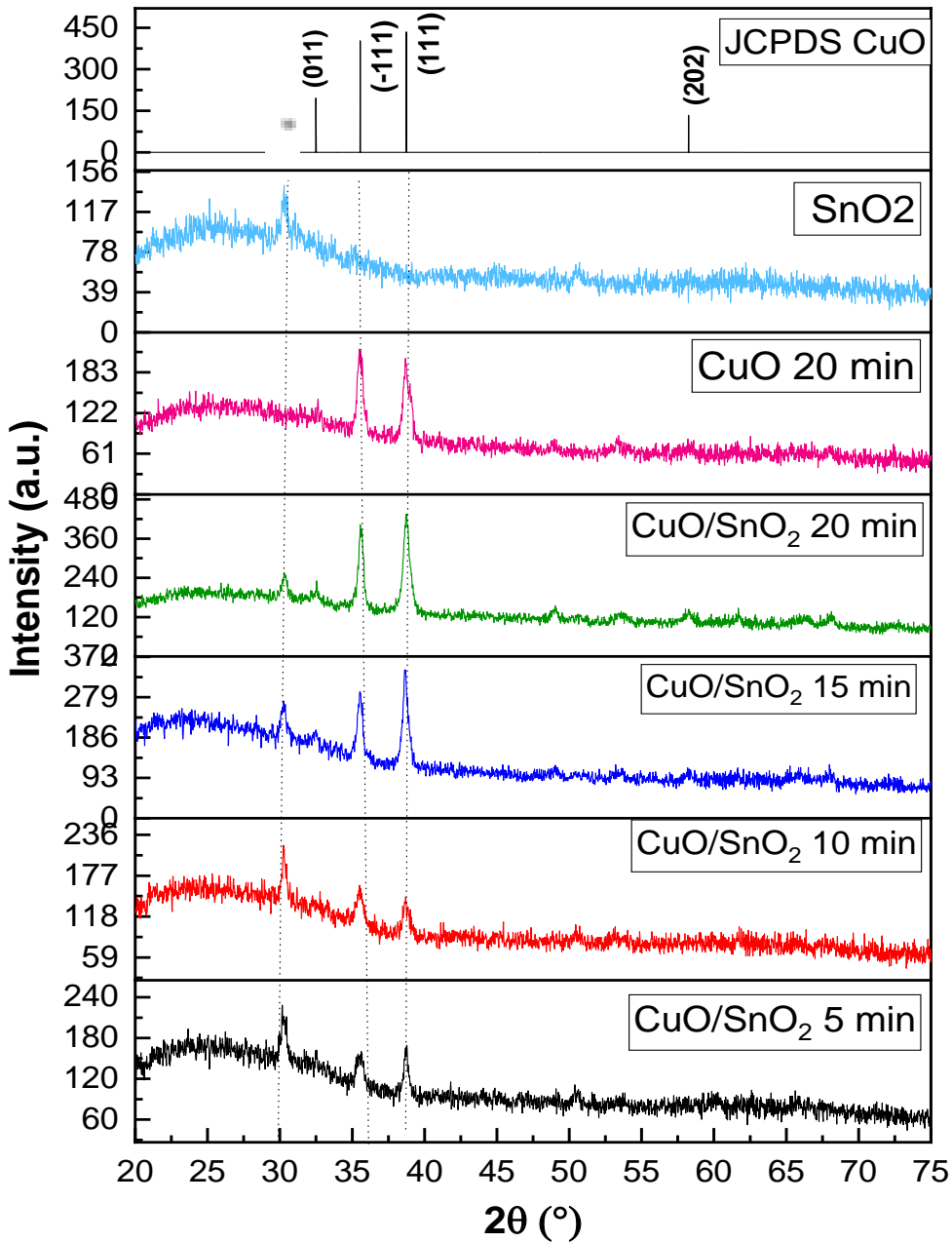
القمة التي لها  $2\theta = 30.26^\circ$  تخص طبقة أكسيد القصدير والتي تأكدها أنها متطابقة مع قمة عينة  $\text{SnO}_2$ .

تفق هذه النتائج بشكل جيد مع JCPDS لأكسيد النحاس رقم 00-048-1548 الذي يبين تكوين طور التنورايت tenorite الذي يتبلور وفق بنية أحادية الميل. يشير هذا إلى أن البنية البلورية لجميع العينات للطبقات التي تم ترسيبها هي بنية متعددة البلورات. نلاحظ أن الاتجاه التفضيلي للعينات عند أزمنة رش (5، 15، 20) دقيقة هو الاتجاه (111) أما بالنسبة للعينة التي عند زمن رش 10 دقائق فقد اتبعت الاتجاه التفضيلي (111-). تتفق هذه النتيجة مع Moumen الذي لاحظ اتجاهين تفضيلييين (111) و(111-) لأكسيد النحاس المطعم بتراكيز مختلفة المرسوب على مساند زجاجية [2]. تتوافق القمة الأكثر كثافة مع المستوى (111). نلاحظ أيضاً أن كلما زاد زمن رش كلوريد النحاس نرى أن كثافة القمتين الرئيسيتين تزداد وظهور قمم أخرى للطبقة المرسبة خلال 20 دقيقة مما يدل على تحسين نمو وتبلور بلورات هذه الطبقات.

بالمقارنة بين أطياف طبقة أكسيد النحاس المرسبة على طبقة أكسيد القصدير وطبقة النحاس المرسبة على الزجاج في زمن رش 20 دقيقة لاحظنا أن الاتجاه التفضيلي للقمة للعينة المرسبة فوق أكسيد القصدير كان (111) أما بالنسبة للعينة المرسبة على الزجاج فكان الاتجاه التفضيلي (111-). وبالتالي نستنتج أن طبقة  $\text{SnO}_2$  غيرت الاتجاه التفضيلي للقمة.

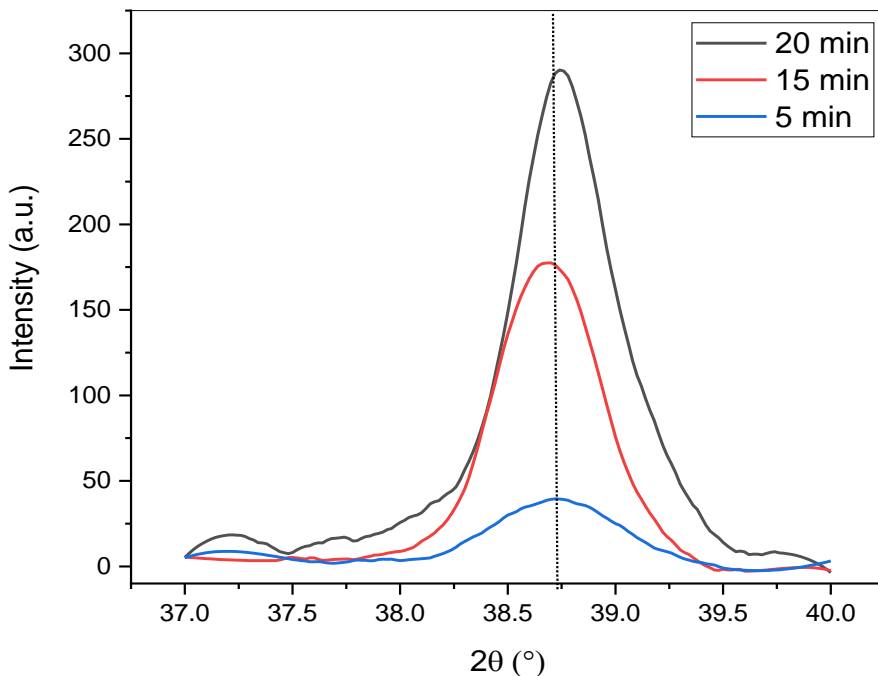
نلاحظ أن ارتفاع شدة القم يزداد بزيادة زمن الرش وهذا مؤشر على كمية المادة المتبلورة حسب الاتجاه البلوري المفضل مع الزيادة في حجم البليرات حسب ما نستشفه من الجدول 2-III وبالتالي يمكن القول بأن زيادة السمك يحسن تبلور طبقات أكسيد النحاس المرسبة فوق طبقات أكسيد القصدير.

بالناتي نقصان  $d_{hkl}$  مما يدل على وجود تشوه انتصاعطي الذي يؤشر على التحام الحبيبات.



الشكل III-4: أطيف انعراج الأشعة السينية للطبقات الرقيقة من CuO المرسبة على طبقة من SnO<sub>2</sub> لأزمنة رش مختلفة.

وقدم العينات المرسبة عند 5 و 15 دقيقة من الرش تنزاح نحو اليسار بالنسبة لقمة  $\text{CuO}$  النقي أي زيادة في  $d_{\text{hkl}}$  مما يدل إلى وجود التشوه الشدي أي وجود الفراغات بين الحبيبات والذي يسمح للقوى بين الذرية أن تشد الحبيبات إلى بعضها، لكنها لا تلتزم كونها لازالت في طور النمو.



**الشكل III-5:** القم (111) لانتعاج أشعة X على طبقات أكسيد النحاس المرسبة فوق مساند  $\text{SnO}_2$  في أزمنة رش مختلفة.

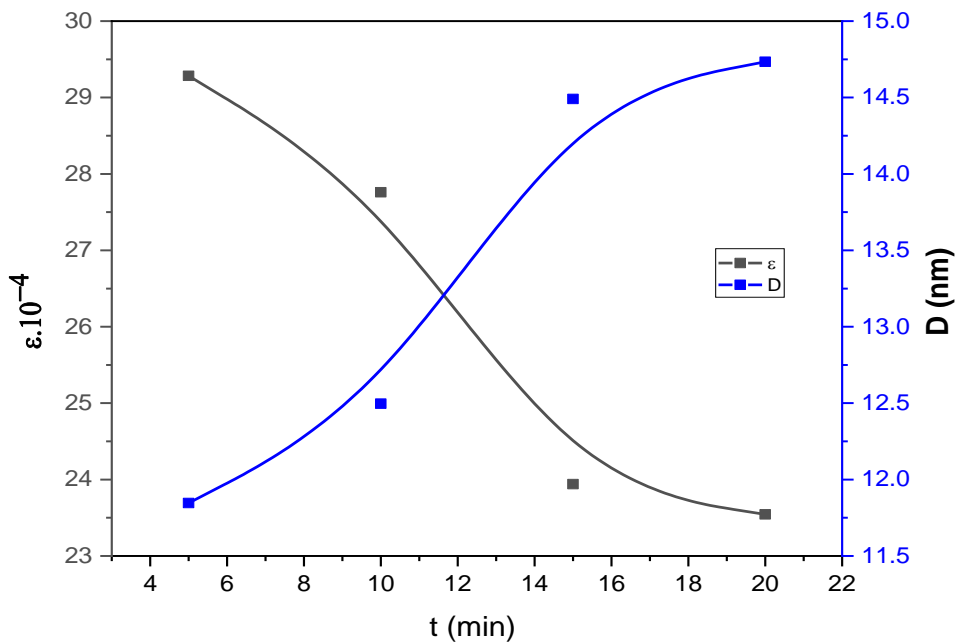
#### حساب المعلومات البنوية

- **الحجم الحبيبي (nm)**: تم حساب الحجم الحبيبي باستخدام علاقة ديباي شيرر المذكورة في الفصل الثاني (II-6).
- **المسافة بين المستويات البلورية ( $d_{\text{hkl}}$ )**: تم حساب المسافة البنوية بين المستويات البلورية باستخدام قانون براغ ووجدنا أن ( $d_{\text{hkl}}$ ) تتفق (JCPDS) لأكسيد النحاس.
- **التشوه**: تم حساب التشوه باستخدام العلاقة (6-II) المذكورة في الفصل الثاني.

## الجدول III-2: المعطيات الشبكية للعينات

زمن الرش (دقيقة)	الاتجاهات البلورية <b>hkl</b>	$2\theta$ (°)	FHWM $\beta$ (°)	D (nm)	$\epsilon$ ( $10^{-4}$ )	$d_{hkl}$ (Å)	$\delta 10^{-3}$ (nm) <sup>-2</sup>
5	(111)	38.687	0.711	11.85	29.28	2.33	7.13
10	(-111)	35.5	0.673	12.22	28.38	2.53	6.67
15	(111)	38.687	0.582	14.49	23.94	2.33	4.76
20	(111)	38.76	0.572	14.73	23.54	2.32	4.60

يمثل الشكل III-6 منحنى تباين التشوّه وحجم البلورات كدالة لزمن الرش ونلاحظ وجود علاقة عكسيّة بين حجم البلورات وعيوب الشبكة البلوريّة حيث تنخفض كثافة العيوب في الشبكة على طول حدود الحبيبات بازدياد حجم البلورات (الحبيبات)، مما يؤدي إلى تقليل الإجهاد الجزيئي وكثافة الخلع في الشبكة البلوريّة للطبقة أكسيد النحاس [3]. يزداد حجم البلورات من  $11.85 \text{ nm}$  إلى  $14.73 \text{ nm}$  بزيادة زمن الرش بسبب توفر وقت كافٍ لنموها. في حين انخفضت قيمة الإجهاد من  $29.28 \times 10^{-4}$  إلى  $23.54 \times 10^{-4}$  اعتماداً على زمن الرش. من الجدول وجد أن القيم الدنيا للإجهاد  $\epsilon$  و  $\delta$  هي  $23.54 \times 10^{-4}$  و  $4.60 \times 10^{-3} \text{ nm}^{-2}$  على التوالي للعينة المرسبة عند زمن رش 20 دقيقة. تشير هذه الملاحظات إلى التبلور الجيد لطبقة CuO.



الشكل III-6: تغيرات حجم البلورة والإجهاد كدالة لزمن الرش.

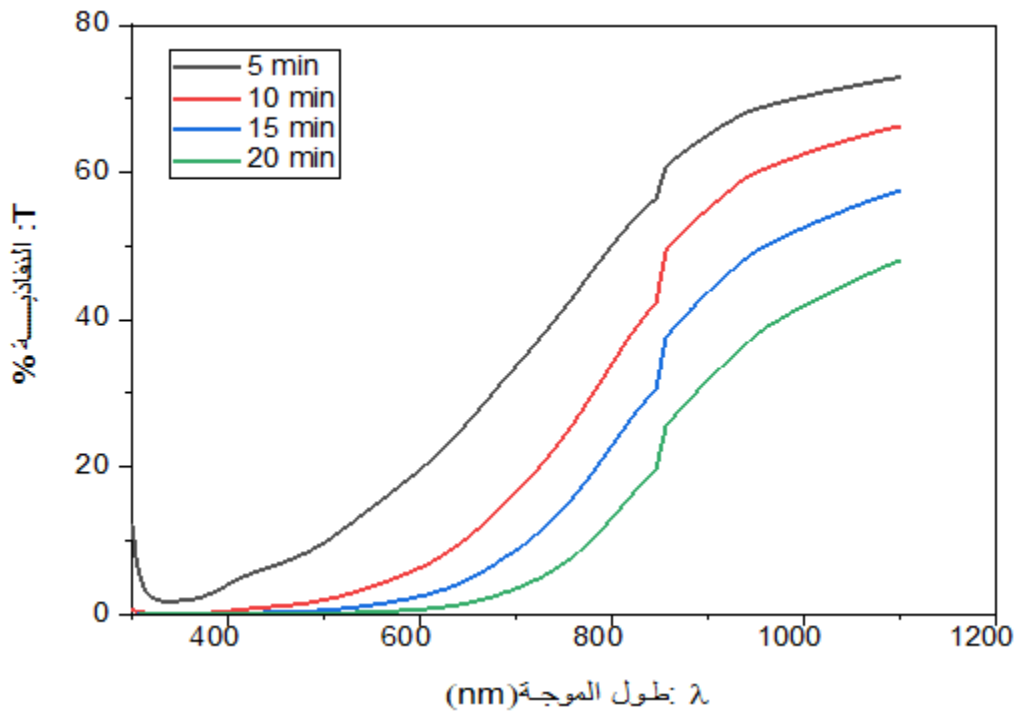
### 5-III الخواص الضوئية

تم قياس النفاذية T والانعكاسية R للعينات المحضره باستعمال جهاز قياس الطيف الضوئي للأشعة فوق البنفسجية والمرئية JASCO V-770 UV-Vis في مخبر الشرائح الرقيقة في جامعة بسكرة.

#### 1.5-III أطیاف النفاذية

يمثل الشكل III-7 أطیاف النفاذية التي تم الحصول عليها لطبقات CuO المتربة على طبقة أكسيد القصدير في أزمنة رش مختلفة (5، 10، 15، 20) دقائق في نطاق الطول الموجي (300 نانومتر - 1100 نانومتر). نلاحظ أن النفاذية تزداد مع زيادة الطول الموجي وتتحفظ مع زيادة سمك الطبقة نظراً لأن الطبقات الأكثـر سماكـاً أقل شفافية [4]. نفاذية جميع العينات تتراوح بين (47% - 73%) وقيمها المتوسطة تتجاوز 61% كما ورد في [5]. هذا الانخفاض في النفاذية الضوئية يعود لزيادة التشتت الضوئي عند حدود الحبيبات [6]. أيضاً يمكننا ربط هذا السلوك بقيم الامتصاص وتأثير السمك وفقاً لقانون Beer

Lambert الموضح في العلاقة (II-12). من خلال المعادلة تتناقص النفاذية أسيًا مع زيادة السُّمك  $d$  ومعامل الامتصاص  $\alpha$ .



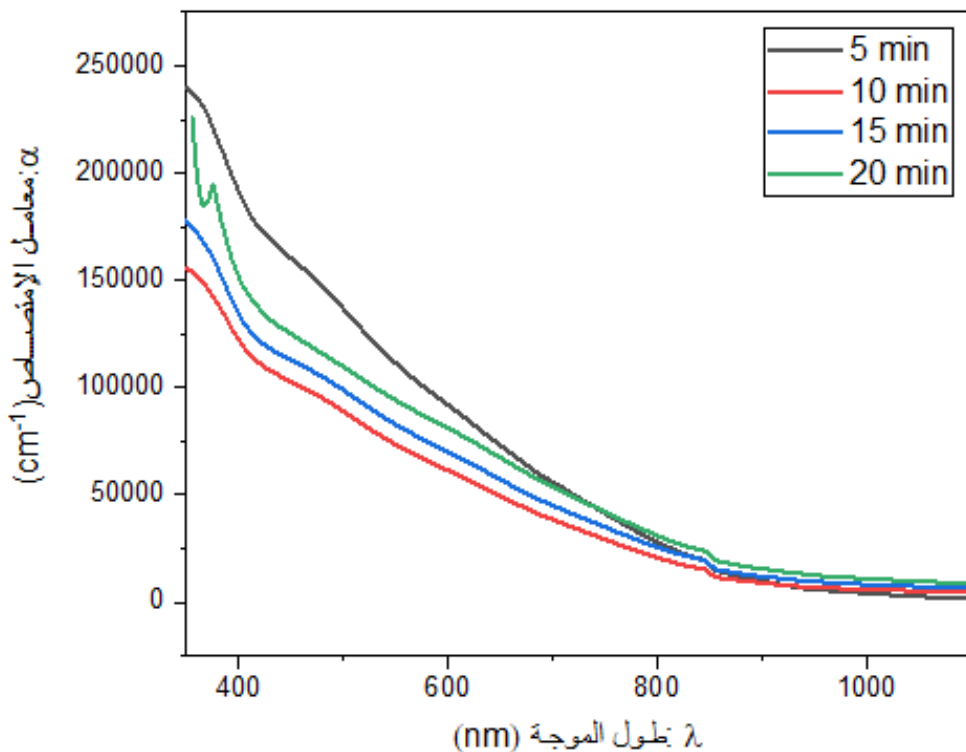
الشكل III-7: أطیاف النفاذية لطبقات أكسيد النحاس  $\text{CuO}$  المرسبة على طبقة من أكسيد القصدير  $\text{SnO}_2$  في أوقات رش مختلفة.

### 2.5-III معامل الامتصاصية $\alpha$

يوضح الشكل تغيرات معامل الامتصاص للطبقات  $\text{CuO}$  المدروسة. جميع الطبقات لديها معامل امتصاص أكبر من  $10^4 \text{ cm}^{-1} \times 5$  في النطاق المرئي، أما بالنسبة للمنطقة تحت الحمراء القريبة NIR نلاحظ أن معامل الامتصاص يتناقص إلى الصفر وهذا ما لوحظ أيضاً عند [1] Ben Messaoud. مما يشير إلى شفافية العينات [7]، وهذه النتيجة تتوافق مع أطیاف النفاذية الشكل III-5.

كما نلاحظ أن كلما زاد زمن الترسيب زاد معامل الامتصاص بالنسبة للطبقات التي زمن ترسيبها (10-15-20) دقيقة أما بالنسبة للعينة التي زمن ترسيبها 5 دقائق لوحظ أن لها أعلى امتصاص في المجال من (350 - 700) nm ثم تغير السلوك إلى أقل معامل امتصاص وهذا السلوك ربما راجع إلى عدم تجانس

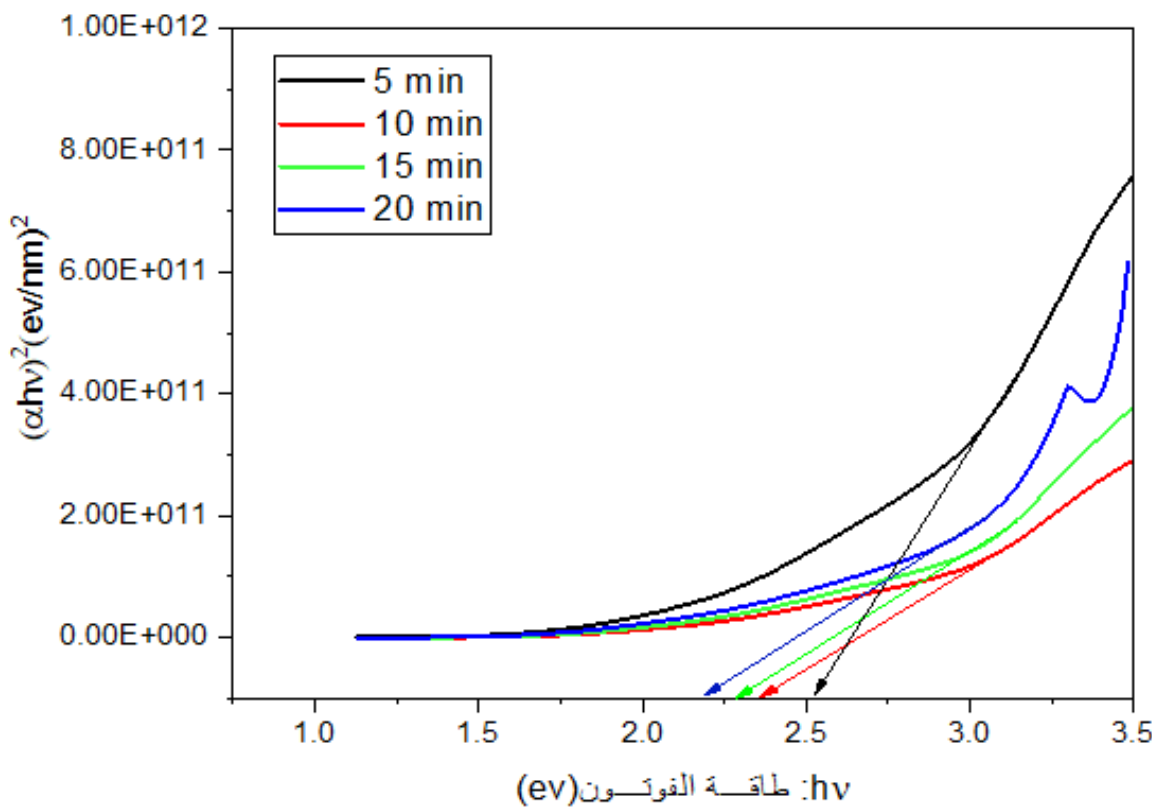
الطبقة (عدم اكتمال النمو الافقى للطبقة مما يؤدى الى ظواهر تزيد من الامتصاص كزيادة السطح النوعي الذي يزيد من عدد الروابط غير المشبعة).



الشكل III-8: معامل الامتصاص الضوئي لطبقات أكسيد النحاس  $\text{CuO}$  المرسبة على طبقة من أكسيد  $\text{SnO}_2$  في أوقات رش مختلفة.

### 3.5-III طاقة النطاق الممنوع $E_g$

يعرف الفاصل الطيفي بأنه الطاقة اللازمة لنقل الإلكترون من عصابة التكافؤ إلى عصابة النقل. يتم تحديد الفاصل الطيفي للطبقات الرقيقة من خلال رسم التمثيل البياني  $L = (\alpha h\nu)^2$  (دالة لطاقة الفتوна) وبطريقة الاستقراء  $L = (\alpha h\nu)^2 = 0$ . حيث يمثل الشكل III-6 التمثيل البياني  $L$  (دالة لطاقة الفتوна)  $h\nu$  (دالة لطاقة الفتون).

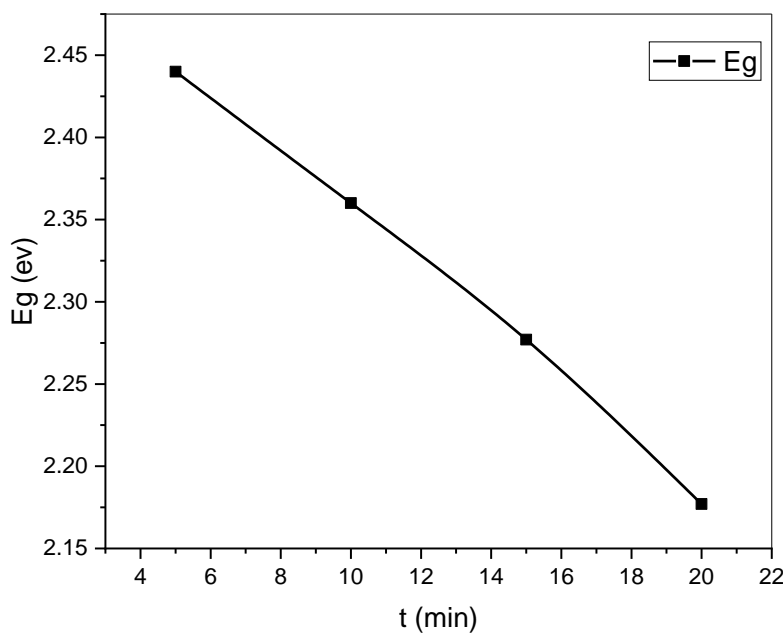


الشكل III-9: دالة لطاقة الفوتون لطبقات أكسيد النحاس  $\text{CuO}$  المرسبة على طبقة من أكسيد القصدير  $\text{SnO}_2$  في أوقات رش مختلفة.

يبين الشكل III-9 تباين طاقة الفجوة دالة لزمن الرش. نلاحظ أن هناك علاقة عكسيّة لطاقة الفجوة مع زمن الرش، كلما زاد زمن الرش نلاحظ انخفاضاً في طاقة الفجوة حيث تراوحت بين 2.44 و 2.17 eV. الكترون فولط، يمثل زمن الرش 20 دقيقة أقل طاقة فجوة. يمكن تفسير هذا بالتلبور الجيد للطبقة بسبب زيادة سمكها الذي يسمح بالتحام جيد للحببات واستمرارية الطبقة، وهذا ما يفسر أن حجم البلورات كبير لهذه العينة، وهذا ما يتفق أيضاً مع ما وجده Zerouali [7].

الجدول III-3: قيم الفاصل الطيفي المتحصل عليها لطبقات (CuO) المرسبة على  $\text{SnO}_2$ 

زمن الرش (دقائق)	الفاصل الطيفي (eV)
5	2.44
10	2.36
15	2.27
20	2.17

الشكل III-10: منحنى تغيرات فجوة الطاقة  $E_g$  كدالة لزمن الرش.

### 4.5-III طاقة ذيول أورباخ ( $E_u$ )

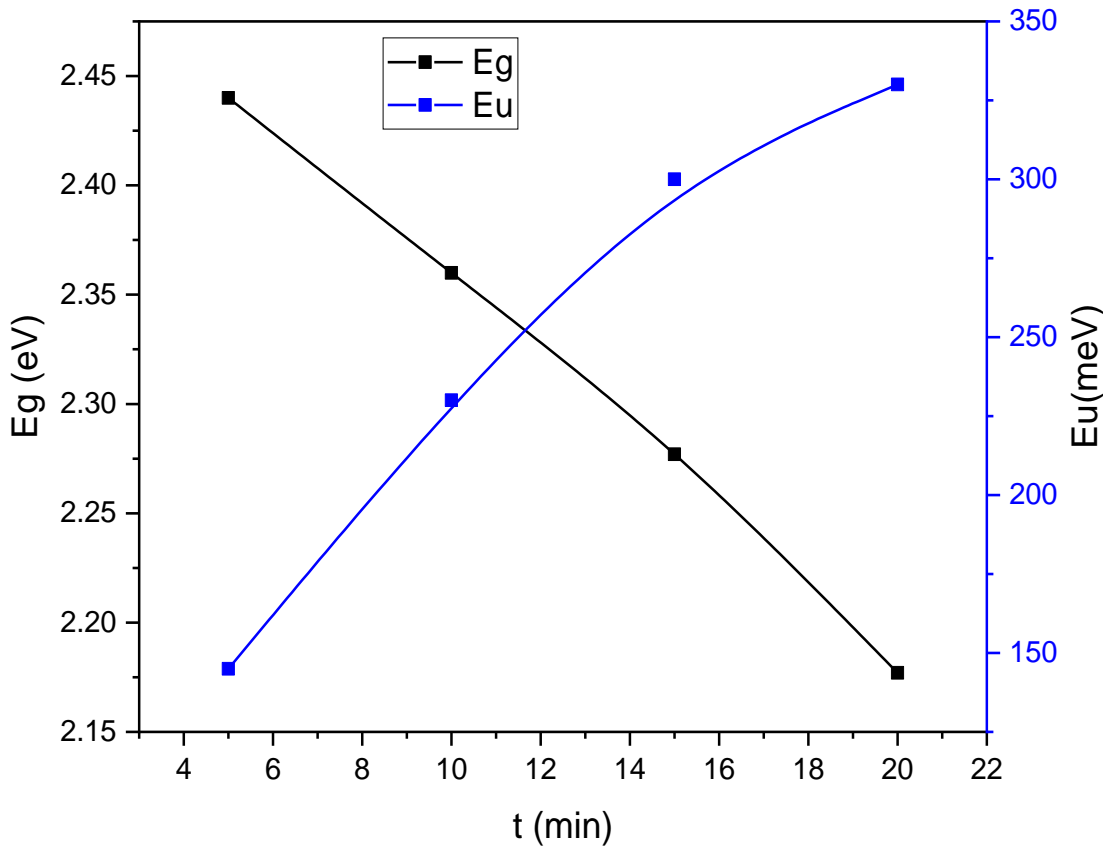
في المواد البلورية، عندما تحدث اختلافات في المسافة بين الذرات أو أطوال الروابط أو زواياها في المادة، تظهر مستويات الكترونية مترادفة في حواف عصابتي التكافؤ والتوصيل تسمى بذиول العصابات (band tails). عرض هذه العصابة يعرف بطاقة أورباخ Urbach و هي مميزة للعشوانية في المادة نصف الناقلة [14].

يمكن تحديد قيمة طاقة أورباخ من رسم منحى تغيرات الدالة الخطية ( $\alpha$ )  $\ln \frac{1}{\Delta E}$  بدلالة طاقة الفoton ( $h\nu$ ) حيث مقلوب الميل يمثل طاقة أورباخ ( $E_u$ ). الجدول التالي يوضح قيم طاقة أورباخ لطبقات  $\text{CuO}$  المرسبة على طبقات  $\text{SnO}_2$  لأزمنة رش مختلفة.

**الجدول III-4:** قيم طاقة أورباخ لطبقات  $\text{CuO}$  المرسبة على طبقات  $\text{SnO}_2$ .

زمن الرش (دقائق)	طاقة أورباخ ( $E_u$ )
5	0.145
10	0.23
15	0.30
20	0.33

يمثل الشكل III-11 تغيرات طاقة الفجوة وطاقة أورباخ كدالة لزمن الرش لطبقات أكسيد النحاس  $\text{CuO}$  المرسبة على طبقة من أكسيد القصدير  $\text{SnO}_2$ . نلاحظ أن هناك علاقة عكسيّة بين طاقة أورباخ وطاقة الفجوة حيث النقصان في طاقة الفجوة يقابلها الزيادة في طاقة أورباخ. والزيادة في طاقة أورباخ تعني الزيادة في للعشوانية في البنية الذرية للطبقة الرقيقة [8]. هذه الزيادة تتناسب مع تركيز العيوب في مادة الطبقة الرقيقة.

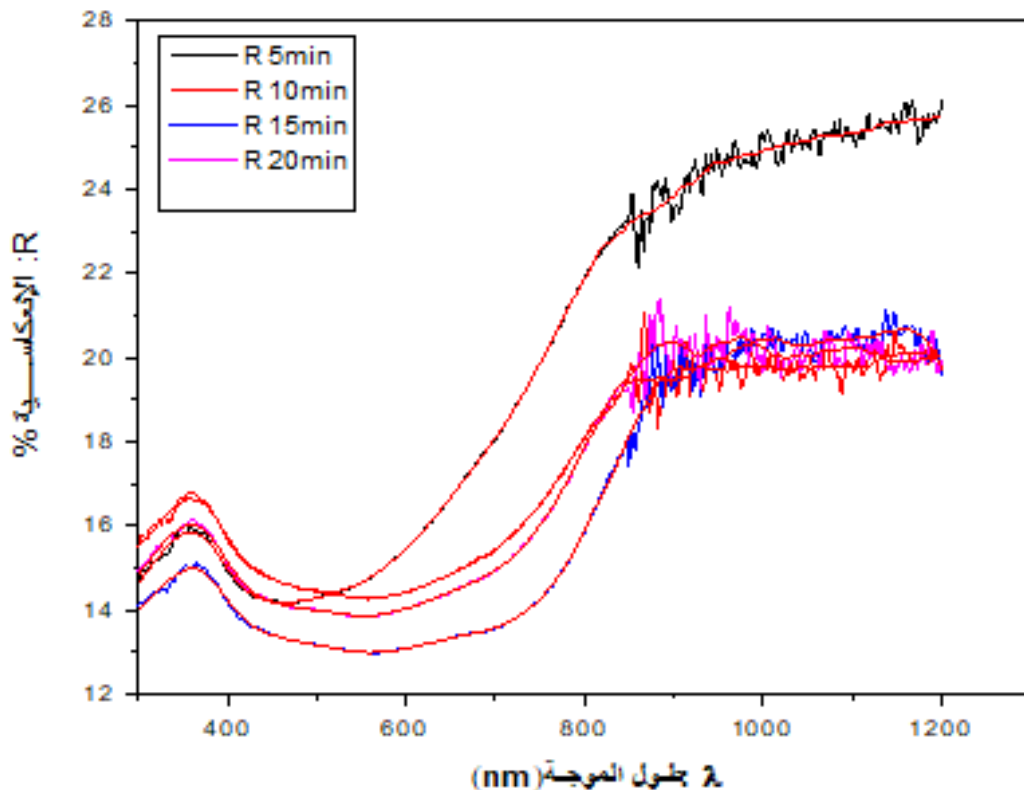


الشكل III-11: تباين طاقة الفجوة وطاقة أورباخ لطبقات أكسيد النحاس  $\text{CuO}$  المرسبة على طبقة من أكسيد القصدير  $\text{SnO}_2$  في أوقات رش مختلفة.

#### 4.5-III أطيف الانعكاسية

تمثل المنحنيات أطيف الانعكاسية الضوئية للطبقات الرقيقة من أكسيد القصدير الموضحة في الشكل III-12. والتي تعطي معلومات عن شدة الأمواج الكهرومغناطيسية المنعكسة على سطح الطبقات المحضرة في أزمنة رش مختلفة. يمكن أن نلاحظ من الرسوم البيانية أن انعكاسية الطبقات الرقيقة لها نفس المسار، فهي تتناقص في المجال (500-350) نانومتر، ثم تزداد مع زيادة الأطوال الموجية في النطاق المرئي (500-800) نانومتر ثم تثبت تقريبا في نطاق الأشعة تحت الحمراء القريبة حتى 1100 نانومتر. يبلغ متوسط الانعكاس أقل من 30% للأطوال الموجية في نطاق (1100-300) نانومتر وهذا ما يتفق مع ما وجده Mugwang'a الذي لاحظ قيماً أقل من 45% للأطيف الرقيق من أكسيد النحاس المرسبة

فوق مساند زجاجية [9]. نلاحظ كذلك أنه كلما زاد زمن الترسيب لطبقات أكسيد النحاس انخفض انعكاس الطبقات وهذا راجع إلى امتصاص الطبقة مع احتمال زيادة خشونة السطح كما تأكدها نتائج صور المجهر الإلكتروني في الفقرة III-6. عند مقارنة أطيف النفاذية بأطيف الانعكاسية نرى أن لأكسيد النحاس معامل امتصاص عال مما يجعلها مادة جيدة لتطبيقات الخلايا الشمسية (طبقات ماصة لالتقاط الفوتونات و تحويلها إلى تيار كهربائي) [10].



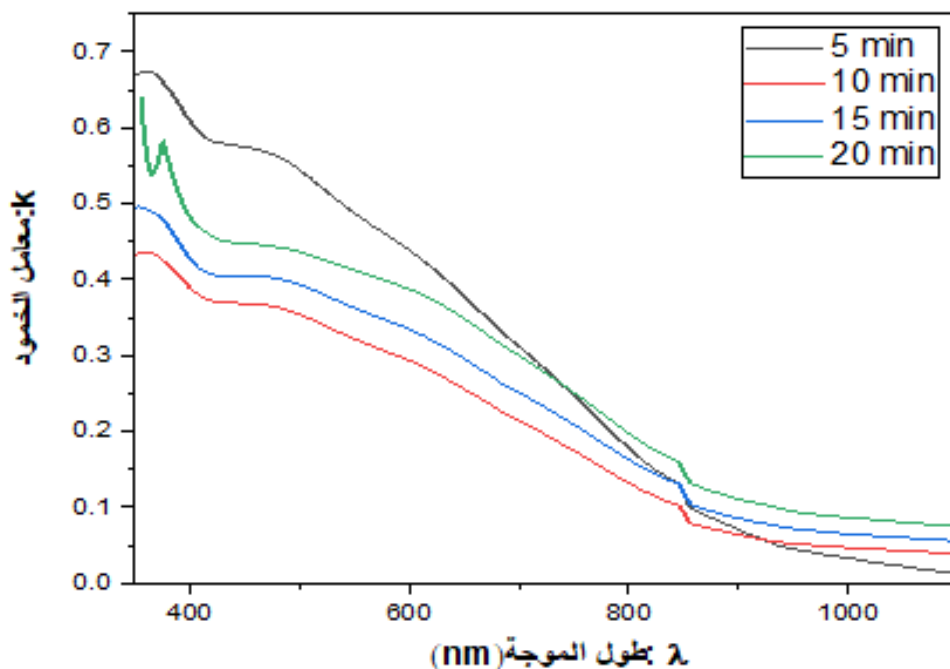
الشكل III-12: أطيف الانعكاسية لطبقات أكسيد النحاس  $\text{CuO}$  المرسبة على طبقة من أكسيد القدير  $\text{SnO}_2$  في أوقات رش مختلفة.

### 5.5-III معامل الخمود ( $k$ )

يمثل الشكل III-13 تغير معامل الخمود لطبقات أكسيد النحاس  $\text{CuO}$  المرسبة على طبقة من أكسيد القدير  $\text{SnO}_2$  بدلالة الطول الموجي لأزمنة رش مختلفة (5، 10، 15، 20) دقيقة، تظهر المنحنيات تنقص معامل الخمود مع زيادة الطول الموجي، نلاحظ أن في المنطقة المرئية للطول الموجي ( $\lambda < 80\text{nm}$ ) قيمة  $k$  تتراوح بين 0.13 و 0.7 ، بينما كانت في منطقة الأشعة تحت الحمراء ( $\lambda > 800\text{ nm}$ ) تنقص إلى

الصفر مما يدل على أن جميع العينات شفافة في هذه المنطقة من الطول الموجي وهذه النتيجة تتوافق مع نتائج أطيف النفاذية [7] ، نلاحظ أيضاً أن معامل الخمود يسلك نفس سلوك معامل الامتصاص لارتباطهما وفق المعادلة (II-14). قيمة معامل الخمود المنخفضة من المتحمل أنها بسبب نقصان الامتصاص نتيجة الفراغات بين الحبيبات الموزعة على سطح الطبقة و مظهره غير المنتظم [11].

تظهر الطبقة المرسبة لزمن رش 20 دقيقة قيمة معامل خمود كبيرة على كامل المجال الموجي المدروس بالمقارنة مع الطبقات الأخرى. تدعم هذه النتيجة جودة الامتصاص العالية لطبقة أكسيد النحاس المرسبة فوق طبقة من أكسيد القصدير كما ذهب إليه Nefzi [12] .

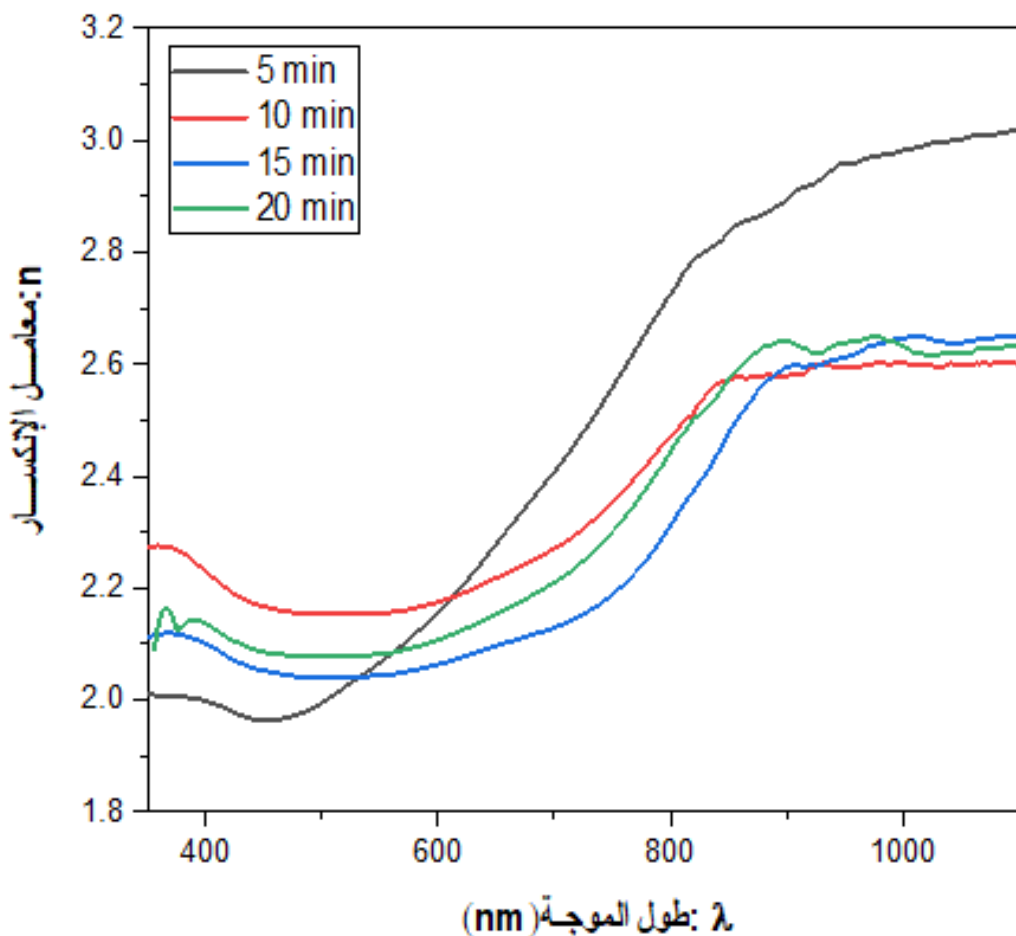


الشكل III-13: يوضح تباين معامل الخمود لطبقات أكسيد النحاس  $\text{CuO}$  المرسبة على طبقة من أكسيد القصدير  $\text{SnO}_2$  في أوقات رش مختلفة.

### 6.5-III معامل الانكسار (n)

الشكل III-14 تغير معامل الانكسار لطبقات أكسيد النحاس  $\text{CuO}$  المرسبة على طبقة من أكسيد القصدير  $\text{SnO}_2$  بدلالة الطول الموجي لأزمنة رش مختلفة (5، 10، 15، 20) دقيقة. نلاحظ انخفاض طفيف لمعامل الانكسار للأطوال الموجية ( $\lambda > 450 \text{ nm}$ ) ثم يبدأ بالزيادة في إلى غاية ( $\lambda < 900 \text{ nm}$ ) ثم ثبت تقريرياً في الأطوال الموجية ( $\lambda < 900 \text{ nm}$ ). قد يرجع هذا السلوك إلى تباين توزيع حجم الحبيبات كما

استنتجنا ذلك من دراسة العينات بانعراج أشعة X. تراوحت قيم معامل الانكسار بين 2.01 و3، كلما كان معامل الانكسار أقل كلما قلت الكثافة الضوئية للمادة [11].

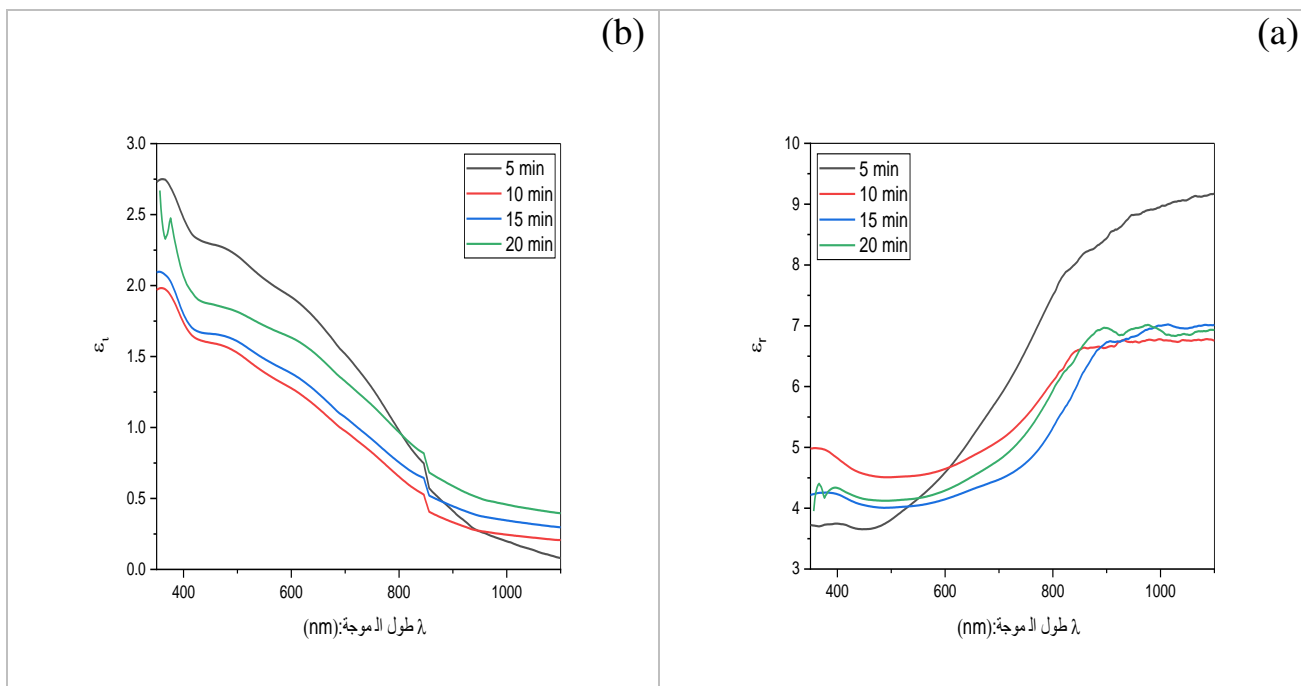


الشكل III-14: يوضح تباين معامل الانكسار لطبقات أكسيد النحاس  $\text{CuO}$  المرسبة على طبقة من أكسيد القصدير  $\text{SnO}_2$  في أوقات رش مختلفة.

### 7.5-III ثابت العزل الكهربائي الضوئي

يبين الشكل III-15 الجزء الحقيقي (a) والجزء التخييلي (b) لثابت العزل الكهربائي لطبقات أكسيد النحاس  $\text{CuO}$  المرسبة على طبقة من أكسيد القصدير  $\text{SnO}_2$  في أوقات رش مختلفة. الحد الأول هو الجزء الحقيقي من ثابت العزل الكهربائي ويصف الطاقة المخزنة، بينما الحد الثاني هو الجزء التخييلي من ثابت العزل الكهربائي، الذي يصف الفقد في المادة [13].

نلاحظ أن قيم  $\epsilon_r$  تتراوح من 3.65 إلى 0.08 كدالة للطول الموجي على التوالي مما يدل على أن فقدان الطاقة للإشعاع الكهرومغناطيسي داخل الطبقة يكون ضعيفاً [12]. يمكن تفسير هذا السلوك بزيادة حجم البليارات ، مما يؤدي إلى انخفاض عدد حدود حبيبات ، وبالتالي زيادة قابلية الاستقطاب (زيادة  $\epsilon_r$ ) و تقليل الفقد الصوتي [12]. يظهر أيضا كل من الجزء الحقيقي والجزء التخييلي من ثابت العزل سلوكاً متشابهاً لـ  $n$  و  $k$  لارتباطهما بالعلاقاتين (16) و (17).



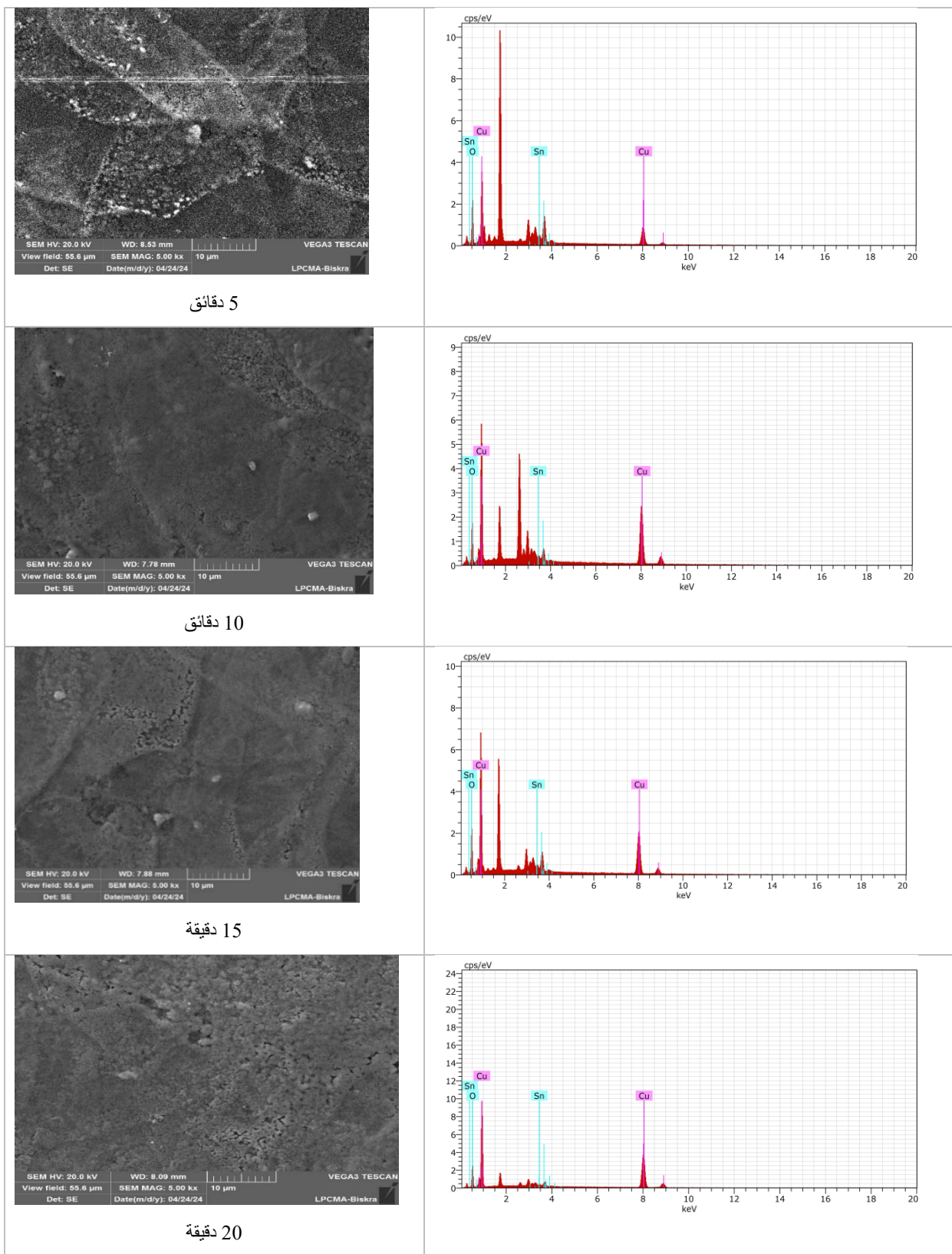
الشكل III-15:الجزء الحقيقي (a) والجزء التخييلي (b) لثابت العزل الكهربائي لطبقات أكسيد النحاس المرسبة على طبقة من أكسيد القصدير  $\text{SnO}_2/\text{CuO}$  في أوقات رش مختلفة.

### III-6 الخصائص البنوية

تم تحليل المورفولوجيا السطحية لطبقات أكسيد النحاس  $\text{CuO}$  المرسبة على طبقات أكسيد القصدير  $\text{SnO}_2$  في الموضعية فوق مساند زجاجية بهذا العمل بالمجهر الإلكتروني (SEM) نوع 3 TESCAN VGA في مخبر الشرائح الرقيقة في جامعة بسكرة.

تمثل الصور الملتقطة بالمجهر الإلكتروني سطوح طبقات أكسيد النحاس  $\text{CuO}$  المرسبة على طبقة من أكسيد القصدير  $\text{SnO}_2$  عند أزمنة رش مختلفة (5، 10، 15، و20) دقيقة. عند الطبقة المحضرة في مدة 5 دقائق من الرش، يمكن ملاحظة بداية تكوين حبيبات  $\text{CuO}$  صغيرة ومترفرفة بشكل غير منتظم نسبياً على سطح  $\text{SnO}_2$ ، مما يشير إلى مرحلة مبكرة من الترسيب حيث تكون البنية السطحية غير متجانسة ذات طبيعة مسامية وغياب التحام الحبيبات. أما بالنسبة للعينة المرسبة في مدة دقائق 10 من الرش، تبدأ الحبيبات بالاتصال وتزداد في الحجم، مما يعزز تغطية سطح  $\text{SnO}_2$  الأساسي ويظهر تحسناً في تجانس الطبقة المرسبة. في هذه المرحلة، تبدأ الحبيبات بالتقارب والاندماج بشكل أكبر، مع بقاء بعض الأجزاء من طبقة  $\text{SnO}_2$  الأساسية ظاهرة، حيث نلاحظ العينة المرسبة في زمن 15 دقيقة من الرش، تصبح الحبيبات فيها أكبر وأكثر تماساً وتتحسن تغطية سطح المسند، مما يؤدي إلى تكوين طبقة  $\text{CuO}$  أكثر كثافة وتجانساً مع انخفاض واضح في الفجوات بين الحبيبات. العينة الأخيرة المرسبة في مدة 20 دقيقة من الرش، تصبح طبقة  $\text{CuO}$  مكتملة ومتجانسة بشكل كبير، حيث نلاحظ أن الحبيبات ذات حجم كبير مع سبقاتها وظهور حدود بين الحبيبات مما يشير إلى أن خشونة سطحها أكبر من تلك الملاحظة عند أزمنة الترسيب 10 و 15 دقيقة، وذات تغطية كاملة لطبقة المسند  $\text{SnO}_2$ . تشير نتائج الدراسة إلى أن زيادة زمن الرش تؤدي إلى تحسين تجانس واتكمال النمو الاقفي لطبقة  $\text{CuO}$  المرسبة على  $\text{SnO}_2$ ، مما يعزز من جودة الترسيب ويزيد وبالتالي من كفاءتها في التطبيقات العملية.

التحليل بمطيافية EDS أظهرت أن قم  $\text{O}, \text{Cu}, \text{Sn}$  أي أن جميع العناصر المدروسة متواجدة وكلما زادت زمن الرش نلاحظ أن قم  $\text{Cu}$  تزداد مما يعزز من استنتاج زيادة كمية الأكسيد المترسبة.



الشكل III-16: صور المجهر الإلكتروني الماسح لعينات  $\text{CuO}$  المرسبة فوق  $\text{SnO}_2$  لازمنة رش (5، 10، 15، 20) دقيقة

**الجدول III-5:** تغير التركيز الذري ل Cu، Sn و O بتغير زمن الترسيب.

العينات	Sn	O	Cu
5	6.43	68.82	24.74
10	2.60	40.98	56.43
15	4.06	50.92	45.03
20	1.73	39.72	58.55

## قائمة المراجع

- [1] O. Ben Messaoud *et al.*, “Optoelectronic and Dielectric Properties of Tenorite CuO Thin Films Sprayed at Various Molar Concentrations,” *Period. Polytech. Chem. Eng.*, vol. 68, no. 1, pp. 93–105, 2024.
- [2] A. Moumen, B. Hartiti, and P. Thevenin, “Synthesis and characterization of CuO thin films grown by chemical spray pyrolysis,” *Opt. Quantum Electron.*, pp. 49–70, 2017, doi: 10.1007/s11082-017-0910-1.
- [3] M. P. Sarma and G. Wary, “Effect of Molarity on Structural and Optical Properties of Chemically Deposited Nanocrystalline PbS Thin Film,” *Int. Lett. Chem. Phys. Astron.*, vol. 74, pp. 22–35, 2017, doi: 10.56431/p-845mhd.
- [4] H. Abdalbari and K. H. Al-mayalee, “Study the Effect of Thickness on the Optical Properties of Copper Oxide Thin Films by FDTD Method,” *Turkish J. Comput. Math. Educ.*, vol. 12, no. 12, pp. 3865–3870, 2021.
- ع. أحلام، “تحضير ودراسة أفلام رقيقة لأسيد النحاس النقي (CuO) و المطعم بالسترونتيوم(Sr)، ”ميموار [5] ماستر،جامعة جيجل، 2022
- [6] S. G. Schafer and U. Femfert, “Tin-A Toxic Heavy Metal ? A Review of the Literature,” *Regul. Toxicol. Pharmacol.*, vol. 4, pp. 57–69, 1984.
- [7] A. Jrad, W. Naffouti, T. Ben Nasr, and T. Najoua, “Comprehensive optical studies on Ga-doped ZnS thin films synthesized by chemical bath deposition,” *J. Lumin.*, pp. 135–140, 2016, doi: 10.1016/j.jlumin.2016.01.016.
- [8] L. Nadia, “Dépôt et Caractérisation des couches minces de ZnO par spray ultrasonique,” thèse doctorat, Université Mohamed Khider-Biskra, 2021.
- [9] N. W. . F.K Mugwang'a, Karimi P.K, “Optical characterization of Copper Oxide thin films prepared by reactive dc magnetron sputtering for solar cell applications,” *Int. J. Thin Film Sci. Technol.*, vol. 2, no. 1, pp. 15–24, 2013.
- [10] O. A. A A Ogwu, E Bouquerel, “The influence of rf power and oxygen flow rate during deposition on the optical transmittance of copper oxide thin films prepared by reactive magnetron,” *Phys. Publ.*, vol. 38, pp. 266–271, 2005, doi: 10.1088/0022-3727/38/2/011.
- [11] P. Datta, M. Sharmin, J. Podder, and S. Choudhury, “Influence of substrate temperature on the morphological, structural, optical and electrical properties of nanostructured CuO thin films synthesized by spray pyrolysis technique,” *J. Optoelectron. Adv. Mater.*, vol. 23, no. 1–2, pp. 35–42, 2021.
- [12] C. Nefzi, M. Souli, Y. Cuminal, and N. Kamoun-turki, “Effect of sulfur concentration on structural, optical and electrical properties of Cu<sub>2</sub>FeSnS<sub>4</sub> thin films for solar cells and photocatalysis applications,” *Superlattices Microstruct.*, pp. 17–29, 2018, doi: 10.1016/j.spmi.2018.09.033.
- [13] A. M. M. Farea, S. Kumar, K. Mujasam, A. Yousef, and C. Gyu, “Structure and electrical properties of Co<sub>0.5</sub>Cd<sub>x</sub>Fe<sub>2.5-x</sub>O<sub>4</sub> ferrites,” *J. Alloys Compd.*, vol. 464, pp. 361–369, 2008, doi: 10.1016/j.jallcom.2007.09.126.

- [14] A.OUAHAB, “Effet de la température de substrat sur les propriétés du silicium Amorphe hydrogéné déposé par la pulvérisation cathodique”, Thèse de magister, Université de Constantine, 1997.

## خلاصة عامة

---

شهدت تطبيقات الطبقات الرقيقة للأكسيد الناقلة الشفافة تطوراً كبيراً في الصناعة، لا سيما في مجال الإلكترونيات والإلكتروضوئيات، نتيجة للبحوث والدراسات المستمرة على هذه المواد. يعود هذا التقدم إلى خصائصها الفريدة والمتقدمة، بالإضافة إلى تنوع طرق الترسيب، ومنها طريقة الانحلال بالرش الكيميائي التي اعتمدناها في بحثنا.

هذا البحث تناولنا ترسيب طبقات رقيقة من أكسيد النحاس  $\text{CuO}$  على مساند من أكسيد القصدير باستخدام تقنية الرش بالانحلال الحراري، حيث اشتغلت الدراسة أولاً على دراسة نظرية حول الأكسيد الشفافة وخصائص أكسيد النحاس ، وكذا أكسيد القصدير وكيفية تحضير الطبقات الرقيقة كما تطرقتنا إلى طرق المعاينة التي تصف مميزات هذه الطبقات والتي كانت من ضمنها مطيافية الأشعة فوق البنفسجية المرئية (UV-Vis) وحيود الأشعة السينية (DRX) و الماسح الإلكتروني الضوئي (MEB)، بالإضافة إلى التركيب التجريبي المعتمد في عملنا ومن ثما إعطاء نتائج التجربة ومناقشتها.

لقد أكدت الدراسة على بساطة تقنية الرش بالانحلال الحراري وقلة تكاليفها وأنها تقنية ناجحة في تحضير طبقة رقيقة لأكسيد المعادن تتصرف بمواصفات تركيبية جيدة لمختلف التطبيقات، حيث تم ترسيب الطبقات بدرجة حرارة  $350^{\circ}\text{C}$ ، و درسنا تأثير زمن الرش (5 دقائق، 10 دقائق، 15 دقيقة، 20 دقيقة) على الخصائص البنائية والضوئية، حيث تبين تمسك الطبقات على مساند  $\text{SnO}_2$  باختبار الشريط اللاصق.

أظهرت نتائج قياسات الأشعة السينية أن طبقات المحضر لأكسيد النحاس ذات تركيب أحادي الميل *Monoclinic* واتبع الاتجاهين التفضيليين (111) و(111-)، وقد وجد أن الزيادة في سمك العينات يؤدي إلى الزيادة في طول القمة التفضيلية مصحوبة بزيادة في حجم الحبيبات من  $11.85\text{ nm}$  إلى  $14.73\text{ nm}$  ونقصان في الإجهاد داخل الحبيبات و كثافة الانخلاءات فيها حيث تراوحت قيمها من  $23.54 \times 10^4$  إلى  $4.60 \times 10^4$  و من  $7.13$  إلى  $4.60 (\text{nm})^{-2}$  على التوالي، مما يؤشر على زيادة تحسن التنظيم البلوري داخل الطبقات.

أظهرت نتائج المجهر الإلكتروني بالمسح الضوئي أن كلما زاد زمن الرش ازداد حجم الحبيبات وزيادة التحام بين الحبيبات و الزيادة في كثافة طبقة  $\text{CuO}$  المرسبة مع النقصان في حدود الحبيبات ،كلما زاد زمن الرش يؤدي إلى تحسين تجانس و اكمال النمو الأفقي لطبقة  $\text{CuO}$  المرسبة على  $\text{SnO}_2$ . لاحظنا استثنائياً زيادة خشونة سطح العينة المرسبة في 20 دقيقة.

أظهرت نتائج EDS أن جميع العناصر المدروسة موجودة وكلما زاد زمن الرش زاد تركيز Cu مؤكدة تزايد سمك طبقة أكسيد النحاس.

سمحت دراسة الخصائص الضوئية للطبقات الرقيقة من خلال دراسة منحنيات النفاذية  $T$  في مجال الأطوال الموجية (300-1100 nm) وقد وجد أنها تتناقص بزيادة زمن الترسيب على طول المجال وأقل قيمة للنفاذية كانت للعينة المرسبة في 20 دقيقة من الرش حيث تصل إلى 47 %. تتناسب طاقة الفجوة الضوئية  $E_g$  عكسياً مع زمن الرشمتناقصة من 2.44 eV إلى 2.17 eV وهذا ما يعزز تحسن التبلور للطبقات بزيادة سmekها، وجدنا أن طاقة أورباخ (Urbach Energy) تتزايد بزيادة زمن الرش من 0.145 إلكترون فولط للعينة المرسبة في 5 دقائق إلى 0.33 إلكترون فولط للعينة المرسبة في 20 دقيقة. بالإضافة إلى زيادة العشوائية في البنية الذرية للطبقة الرقيقة رغم تحسن البنية البلورية.

لاحظنا تناقص الانعكاسية  $R$  المجال (500-350) نانومتر، ثم زيتها مع ازدياد الأطوال الموجية في النطاق المرئي (500-800) نانومتر. بلغ متوسط الانعكاسية أقل من 30 % للأطوال الموجية في نطاق (1100-300) نانومتر مما يؤشر على الطبيعة الماصلة للطبقات. ومن جهة أخرى تؤدي الزيادة في زمن الرش إلى انخفاض انعكاسية الطبقات وتطرقنا كذلك إلى حساب معامل الامتصاص انطلاقاً من النفاذية والانعكاسية حيث لاحظنا جميع الطبقات لديها معامل امتصاص أكبر من  $5 \times 10^4 \text{ cm}^{-1}$  في النطاق المرئي، أما بالنسبة للمنطقة تحت الحمراء القريبة NIR لاحظنا أن معامل الامتصاص يتناقص إلى الصفر.

ومن دراسة ثابت العزل الكهربائي نجد أن قيم  $\epsilon_r$  و  $\epsilon_i$  تتراوح من 3.65 إلى 9.17 و 2.74 إلى 0.08 كدالة للطول الموجي ويسلكان سلوك  $n$  و  $k$  على التوالي. يتناقص معامل الخمود  $k$  مع زيادة الطول الموجي وتتراوح بين 0.13 و 0.7 في المنطقة المرئية للطول الموجي ( $800 \text{ nm} < \lambda$ ). أما بالنسبة للمنطقة تحت الحمراء من الطول الموجي قيم  $k$  تتناقص إلى الصفر حيث بينت الطبقة المرسبة خلال 20 دقيقة من الرش أن لديها معامل خمود كبير على طول المجال المدروس مقارنة بالطبقات الأخرى. كذلك تم التطرق إلى حساب معامل الانكسار حيث لاحظنا انخفاض طفيف لمعامل الانكسار للأطوال الموجية ( $\lambda < 450 \text{ nm}$ ) ثم يبدأ بالزيادة في غاية ( $\lambda > 900 \text{ nm}$ ) ثم تثبت تقريباً في الأطوال الموجية ( $\lambda > 900 \text{ nm}$ ) وأن قيم معامل الانكسار تتراوح بين 2.01 و 3.

## خلاصة عامة

---

من خلال هذه الدراسة والنتائج التي تم التوصل إليها وجد أن أفضل طبقة تمتاز بخصائص ضوئية وبنوية جيدة للتطبيقات الضوء-الإلكترونية هي العينة المرسبة عند زمن رش 20 دقيقة. ولكن يمكن اعتبار العينات المرسبة خلال الأزمنة الأخرى جيدة حسب مجال استعمال هذه الطبقات.

يمكن أن تستمر هذه الدراسة في اتجاهات مختلفة في مجال البحث والتطبيقات العملية. نقترح مثلاً زيادة أزمنة الرش واخضاع العينات المحضرة للمعالجة الحرارية، والتغيير في درجة الحرارة المسند قصد وكذلك تعليم الطبقات لتحسين خصائصها من أجل الحصول على شرائح رقيقة بمواصفات جيدة للتطبيقات الضوء-الإلكترونية.

## ملخص

في هذه الدراسة تم تحضير طبقات رقيقة من أكسيد النحاس  $\text{CuO}$  بطريقة الرش بالانحلال الحراري على طبقات من أكسيد القصدير  $\text{SnO}_2$  محمولة على مساند زجاجية عند  $350^\circ\text{C}$  لأزمنة ترسيب مختلفة (5 دقائق، 10 دقائق، 15 دقيقة، 20 دقيقة) حيث استعملنا كلوريد النحاس ( $\text{CuCl}_2 + 2\text{H}_2\text{O}$ ) كمصدر للنحاس بتركيز  $0.05\text{ mol/l}$ . أظهرت نتائج اشعاع الأشعة السينية أن الطبقات متعددة البلورات ذات بنية أحادية الميل وفق الاتجاهين المفضلين (111) و (-111)، كما أن زيادة زمن الترسيب أدى إلى زيادة حجم الحبيبات من 11.85 إلى 14.73 nm. دراسة سطوح الشرائح بالمجهر الإلكتروني الماسح بينت تحسن تجانس واتكمال النمو الأفقي لشرائح  $\text{CuO}$  مع زيادة خشونتها عند زمن الترسيب 20 دقيقة. قياسات الأشعة المرئية وفوق البنفسجية أظهرت تناقص النفاذية في المجال 47% - 73% لمدى الأطوال الموجية (nm) 300-1100 (300-1100 nm) بزيادة زمن الترسيب، مصحوبة بانخفاض انعكاسية الطبقات. فجوة الطاقة الممنوعة  $E_g$  تغيرت متناقصة في المجال (2.17-2.44 eV)، أما طاقة أورباخ ازدادت بزيادة زمن الرش بين 0.145 و 0.33 eV. الطبقات المحضرة لها معامل امتصاص أكبر من  $5 \times 10^4 \text{ cm}^{-1}$  في النطاق المرئي ويتلاشى في نطاق الأشعة تحت الحمراء القريبة. معامل الانكسار تراوح بين 2.01 و 3 وثابت العزل الكهربائي  $\epsilon_r$  تزيد من 3.65 إلى 9.17.

**الكلمات المفتاحية:** شرائح رقيقة، أكسيد النحاس  $\text{CuO}$ ، أكسيد القصدير  $\text{SnO}_2$ ، تقنية الرش بالانحلال الحراري، الخواص البنوية، الخواص الضوئية، الخواص الإلكترونية.

## Abstract

In this study, thin films of copper oxide ( $\text{CuO}$ ) were deposited on tin oxide ( $\text{SnO}_2$ ) layers supported on glass substrates using the spray pyrolysis technique at  $350^\circ\text{C}$  for different deposition times (5 minutes, 10 minutes, 15 minutes, 20 minutes). Copper chloride ( $\text{CuCl}_2 + 2\text{H}_2\text{O}$ ) was used as copper source with a concentration of  $0.05\text{ mol/l}$ . X-ray diffraction patterns showed that the films were polycrystalline with a monoclinic structure in the preferred directions (111) and (-111). Increasing the deposition time led to an increase in grain size from 11.85 to 14.73 nm. Surface analysis using scanning electron microscope indicated improved uniformity and horizontal growth completion of the  $\text{CuO}$  films with an increase of roughness at the deposition time of 20 minutes. UV-Visible measurements showed a decrease in transmittance from 73% to 47% for the wavelength range (300-1100 nm) with increased deposition time, accompanied by a decrease in reflectance of the films. The energy gap ( $E_g$ ) decreased in the range (2.17-2.44 eV), while the Urbach energy increased with increased spray time between 0.145 and 0.33 eV. The prepared films had an absorption coefficient greater than  $5 \times 10^4 \text{ cm}^{-1}$  in the visible range which diminishes in the near-infrared range. The refractive index ranged between 2.01 and 3, while the dielectric constant ( $\epsilon_r$ ) increased from 3.65 to 9.17.

**Keywords:** Thin films, Copper oxide ( $\text{CuO}$ ), Tin oxide ( $\text{SnO}_2$ ), Spray pyrolysis technique, Structural properties, Optical properties, electronic properties.

### **Name and formula**

Reference code: 1548-048-00

Mineral name: Tenorite, syn  
Compound name: Copper Oxide  
PDF index name: Copper Oxide

Empirical formula: CuO  
Chemical formula: CuO

### **Crystallographic parameters**

Crystal system: Monoclinic  
Space group: C2/c  
Space group number: 15

a:(?) 4,6883  
b (?): 3,4229  
c (?): 5,1319  
Alpha (°): 90,0000  
Beta (°): 99,5060  
Gamma (°): 90,0000

Calculated density (g/cm^3): 6,51  
Volume of cell (10^6 pm^3): 81,22  
Z: 4,00

RIR: -

### **Subfiles and quality**

Subfiles: Alloy, metal or intermetallic  
Common Phase  
Corrosion  
Forensic  
Inorganic  
Mineral  
Superconducting Material  
Quality: Star (S)

### **Comments**

Creation Date: 1970/01/01  
Modification Date: 1970/01/01  
Sample Preparation: Cu<sub>2</sub>OH<sub>3</sub>(NO<sub>3</sub>)<sub>2</sub> was thermally decomposed to form CuO. This was annealed at 1000 C in air for 5 hours  
Additional Patterns: To replace 00-005-0661 .

## **References**

Primary reference:

Langford, J., Louer, D ..*J. Appl. Crystallogr*(1991) .149 .24 ..

## **Peak list**

No.	h	k	l	d [Å]	2Theta [deg]	I	[%]
13,0	32,509			2,75201	0	1	1
37,0	35,418			2,53236	2	0	0
100,0	35,544			2,52367	1-	1	3
99,0	38,709			2,32429	1	1	1
21,0	38,903			2,31315	0	0	2
3,0	46,260			1,96095	2-	1	1
30,0	48,717			1,86764	2-	0	2
1,0	51,344			1,77808	2	1	1
7,0	53,487			1,71179	0	2	0
1,0	56,743			1,62105	1	2	0
10,0	58,265			1,58227	2	0	2
20,0	61,526			1,50600	3-	1	1
10,0	65,813			1,41789	2	2	0
15,0	66,222			1,41013	1-	1	3
1,0	66,449			1,40586	0	1	3
6,0	67,905			1,37922	3	1	1
14,0	68,125			1,37530	0	2	2
1,0	68,907			1,36158	1-	2	2
1,0	71,683			1,31552	2-	1	3
5,0	72,373			1,30467	1	1	3
1,0	72,944			1,29586	1	2	2
6,0	74,978			1,26567	4	0	0
5,0	75,245			1,26184	2-	2	2
1,0	79,733			1,20171	3	2	0
2,0	80,157			1,19642	4-	0	2
1,0	80,241			1,19538	4-	1	1
4,0	82,362			1,16989	3-	1	3
2,0	83,065			1,16176	2	2	2
2,0	83,568			1,15604	2	1	3
1,0	86,533			1,12388	2-	0	4
1,0	86,775			1,12137	3-	2	2
1,0	87,968			1,10921	4	1	1
1,0	88,054			1,10835	0	3	1
3,0	89,790			1,09137	1-	3	1
1,0	91,729			1,07330	1	3	1
1,0	95,565			1,04010	4	0	2
1,0	98,392			1,01764	3	2	2
2,0	99,684			1,00789	3	1	3
1,0	101,935			0,99164	2	0	4
2,0	103,357			0,98184	5-	1	1
2,0	103,565			0,98044	4-	2	2
2,0	107,049			0,95795	0	2	4
1,0	109,519			0,94314	3-	3	1
3,0	110,170			0,93939	2-	2	4
1,0	111,191			0,93362	4-	0	4
2,0	113,489			0,92115	5	1	1

1, 0	114, 060	0, 91816	1	2	4	47
1, 0	115, 744	0, 90959	3	3	1	48
1, 0	116, 838	0, 90421	1-	1	5	49
1, 0	120, 221	0, 88848	4	2	2	50
3, 0	120, 509	0, 88720	1	3	3	51

### **Stick Pattern**

